



UNIVERSITAS INDONESIA

**KEGEMPAAN WILAYAH  
JAKARTA BARAT DAN JAKARTA SELATAN**

**SKRIPSI**

**TEGUH PRIYONO  
0405010647**

**FAKULTAS TEKNIK  
PROGRAM STUDI TEKNIK SIPIL  
DEPOK  
JANUARI 2010**



UNIVERSITAS INDONESIA

**KEGEMPAAN WILAYAH  
JAKARTA BARAT DAN JAKARTA SELATAN**

**SKRIPSI**

**Diajukan sebagai salah satu syarat untuk memperoleh gelar Sarjana Teknik**

**TEGUH PRIYONO  
0405010647**

**FAKULTAS TEKNIK  
PROGRAM STUDI TEKNIK SIPIL  
DEPOK  
JANUARI 2010**

## **HALAMAN PERNYATAAN ORISINALITAS**

**Skripsi/Tesis/Disertasi ini adalah hasil karya saya sendiri,  
dan semua sumber baik yang dikutip maupun dirujuk  
telah saya nyatakan dengan benar.**



## **HALAMAN PENGESAHAN**

**Skripsi ini diajukan oleh :**

Nama : Teguh Priyono  
NPM : 0405010647  
Program Studi : Teknik Sipil  
Judul Skripsi : Kegempaan Wilayah Jakarta Barat dan Jakarta Selatan

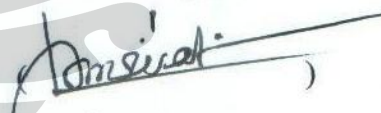
Telah berhasil dipertahankan di hadapan Dewan Pengaji dan diterima sebagai bagian persyaratan yang diperlukan untuk memperoleh gelar Sarjana Teknik pada Program Studi Teknik Sipil Fakultas Teknik Universitas Indonesia

**DEWAN PENGUJI**

Pembimbing : Ir. Widjojo A Prakoso, Ph.D

()

Pengaji : Dr. Ir. Damrizal Damoerin, M.Sc

()

Pengaji : Ir. Sjahril A. Rahim MEng.

()

Ditetapkan di : Depok

Tanggal : Januari 2010

## **UCAPAN TERIMA KASIH**

Puji syukur saya panjatkan kepada Tuhan Yang Maha Esa, karena atas berkat dan rahmat-Nya, saya dapat menyelesaikan skripsi ini. Penulisan skripsi ini dilakukan dalam rangka memenuhi salah satu syarat untuk mencapai gelar Sarjana Teknik Jurusan Sipil pada Fakultas Teknik Universitas Indonesia. Saya menyadari bahwa, tanpa bantuan dan bimbingan dari berbagai pihak, dari masa perkuliahan sampai pada penyusunan skripsi ini, sangatlah sulit bagi saya untuk menyelesaikan skripsi ini. Oleh karena itu, saya mengucapkan terima kasih kepada:

- (1) Ir. Widjojo A Prakoso sebagai pembimbing yang telah bersedia meluangkan waktu, tenaga dan pikiran untuk membimbing saya dalam penyusunan skripsi ini;
- (2) Pak Erly Bahsan yang telah memberikan ilmunya kepada saya pada awal penggerjaan skripsi ini;
- (3) Seluruh dosen Departemen Teknik Sipil Fakultas Teknik Universitas Indonesia yang telah memberikan ilmu dan pengalamannya;
- (4) Ibuku yang selalu memberikan doa, semangat dan perhatian kepadaku saat penyusunan skripsi ini;
- (5) Widya Trianita Suwatri yang tanpa dia sadari telah menjadi motivasi bagi saya untuk berusaha keras menyelesaikan skripsi ini;
- (6) M Iqbal yang menjadi partner saya dalam penggerjaan skripsi ini;
- (7) Yustian dan Yan A P yang telah membantu saya saat di laboratorium mektan;
- (8) Teman-teman teknik sipil 2005 yang memberikan bantuan ataupun doa secara langsung maupun tidak langsung dalam penyelesaian skripsi ini.

Akhir kata, saya berharap Tuhan Yang Maha Esa berkenan membala segala kebaikan semua pihak yang telah membantu. Semoga skripsi ini membawa manfaat bagi pengembangan ilmu.

Depok, Januari 2010

Penulis

## **HALAMAN PERNYATAAN PERSETUJUAN PUBLIKASI TUGAS AKHIR UNTUK KEPENTINGAN AKADEMIS**

Sebagai sivitas akademik Universitas Indonesia, saya yang bertanda tangan di bawah ini:

Nama : Teguh Priyono

NPM : 0405010647

Program Studi : Teknik Sipil

Departemen : Teknik Sipil

Fakultas : Teknik

Jenis karya : Skripsi

Demi pengembangan ilmu pengetahuan, menyetujui untuk memberikan kepada Universitas Indonesia **Hak Bebas Royalti Noneksklusif (Non-exclusive Royalty-Free Right)** atas karya ilmiah saya yang berjudul :

“Kegempaan Wilayah Jakarta Barat dan Jakarta Selatan” beserta perangkat yang ada (jika diperlukan). Dengan Hak Bebas Royalti Noneksklusif ini Universitas Indonesia berhak menyimpan, mengalihmedia/formatkan, mengelola dalam bentuk pangkalan data (*database*), merawat, dan memublikasikan tugas akhir saya selama tetap mencantumkan nama saya sebagai penulis/pencipta dan sebagai pemilik Hak Cipta.

Demikian pernyataan ini saya buat dengan sebenarnya.

Dibuat di : Depok

Pada tanggal : Januari 2010

Yang menyatakan

(Teguh Priyono)

## **ABSTRAK**

Nama : Teguh Priyono

Program Studi : Teknik Sipil

Judul : Kegempaan Wilayah Jakarta Barat dan Jakarta Selatan

DKI Jakarta memiliki potensi mengalami bencana gempa bumi. Dalam Penelitian ini, data tanah dianalisis untuk mendapatkan percepatan puncak gempa di permukaan daerah Jakarta Barat dan Selatan dengan metode *ground response analysis*, dan hasil akhir dibuat sebuah peta mikrozonasi gempa DKI Jakarta. Analisis ini menggunakan data *borelog* untuk daerah Jakarta Barat dan Selatan serta *input motion* gempa yang dapat mewakili kejadian gempa di Jakarta. Hasilnya daerah Jakarta Selatan mempunyai percepatan gempa muka tanah berkisar antara 0.19-0.29 g, dan Jakarta Barat berkisar antara 0.21-0.35 g. Dengan peta kontur gempa ini dapat dilakukan tindakan preventif dalam meminimalkan kerugian yang diderita akibat gempa bumi.

Kata Kunci :

gempa bumi, *ground response analysis*, percepatan puncak gempa, mikrozonasi

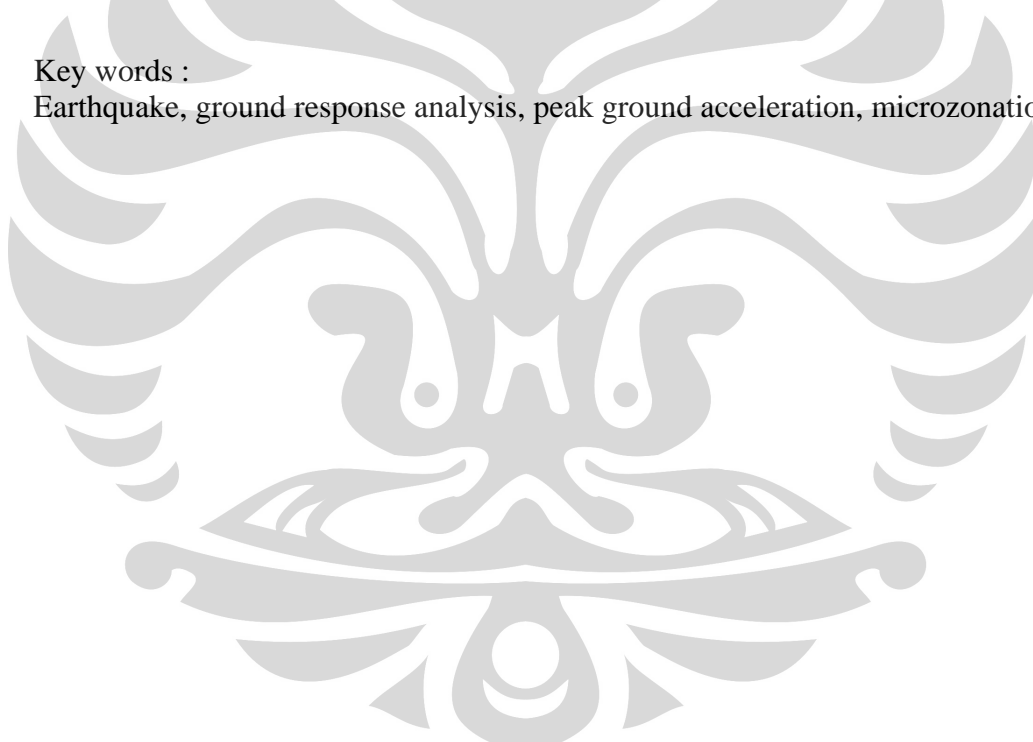
## **ABSTRACT**

Name : Teguh Priyono  
Study Program : Civil Engineering  
Title : Earthquake Hazard of West Jakarta and South Jakarta

The Region of DKI Jakarta has a potential for experiencing the earthquake. In this study, data were analyzed to obtain ground peak acceleration for the South Jakarta and West Jakarta. The method used the ground response analysis method, and the results were used to create a microzonation map of earthquake hazard in DKI Jakarta. This analysis used borelog data from location in West Jakarta and South Jakarta and the input earthquake motion events that could represent the earthquake hazard in Jakarta. The result of South Jakarta area has peak ground acceleration range from 0.19-0.29 g, and West Jakarta ranged from 0.21-0.35 g. The peak ground acceleration map could be used for preventive measures in minimizing the loss caused by earthquake.

**Key words :**

Earthquake, ground response analysis, peak ground acceleration, microzonation.



## DAFTAR ISI

LEMBAR PERNYATAAN ORISINALITAS .....	ii
LEMBAR PENGESAHAN .....	iii
UCAPAN TERIMA KASIH.....	iv
LEMBAR PERSETUJUAN PUBLIKASI KARYA ILMIAH.....	v
ABSTRAK .....	vi
ABSTRACT .....	vii
DAFTAR ISI.....	viii
DAFTAR TABEL.....	x
DAFTAR GAMBAR .....	xi
<b>BAB I PENDAHULUAN .....</b>	<b>1</b>
1.1 Latar Belakang .....	1
1.2 Deskripsi Masalah.....	3
1.3 Tujuan Penelitian .....	3
1.4 Ruang Lingkup Penelitian.....	4
1.5 Sistematika Penulisan .....	4
<b>BAB II TINJAUAN PUSTAKA.....</b>	<b>6</b>
2.1 Pendahuluan .....	6
2.2 Gempa Bumi .....	6
2.3 Ground Response Analysis .....	7
2.4 Pasal-Pasal yang Digunakan Dalam SNI 03-1726-2002 .....	10
2.5 Peta Digital.....	15
2.6 Peta Mikrozonasi.....	17
<b>BAB III METODE PENELITIAN .....</b>	<b>19</b>
3.1 Pendahuluan .....	19
3.2 Alur Penelitian .....	20
3.3 Tahapan Penelitian .....	21
3.3.1 Pengumpulan Informasi dan Data.....	21
3.3.2 Perhitungan Percepatan Muka Tanah .....	21
3.3.2.1 Input Data Tanah.....	21
3.3.2.2 Input Parameter Dinamika Tanah .....	22
3.3.2.3 Input Motion .....	23
3.3.3 Penggunaan ARC-GIS Dalam Menghasilkan Peta Kegempaan Wilayah .....	30
3.3.3.1 Penggunaan Peta Digital .....	30
3.3.3.2 Membuat Peta Mikrozonasi Gempa.....	32
3.3.3.3 Membuat Peta Kontur Gempa.....	33
<b>BAB IV PENENTUAN PARAMETER INPUT DATA.....</b>	<b>34</b>
4.1 Pendahuluan .....	34
4.2 Pengumpulan Data Tanah .....	34
4.2.1 Pembuatan Database Tanah .....	34
4.2.2 Generalisasi Data Tanah .....	36

4.3 Penentuan Parameter Input Tanah .....	38
4.4 Penentuan Input Parameter Dinamik Tanah .....	39
4.4.1 Penentuan Modulus Reduction dan Damping Curve .....	39
4.4.2 Penentuan Shear Moduli (Gmax).....	40
4.5 Penentuan Input Motion .....	43
<b>BAB 5 ANALISIS HASIL PERCEPATAN PUNCAK GEMPA DI PERMUKAAN.....</b>	<b>46</b>
5.2 Proses Pengolahan Data .....	46
5.2.1 Input Data.....	46
5.2.1.1 Jakarta Barat.....	47
5.2.1.2 Jakarta Selatan.....	48
5.2.2 Output Data .....	51
5.2.2.1 Jakarta Barat.....	51
5.2.2.2 Jakarta Selatan.....	53
5.2.3 Kesimpulan .....	55
5.3 Peta Mikrozonasi Gempa di Jakarta.....	57
<b>BAB 6 KESIMPULAN DAN SARAN .....</b>	<b>63</b>
6.1 Kesimpulan .....	63
6.2 Saran.....	64
<b>DAFTAR REFERENSI .....</b>	<b>65</b>
<b>LAMPIRAN.....</b>	<b>66</b>

## DAFTAR TABEL

Tabel 2.1 Jenis-Jenis Tanah .....	11
Tabel 2.2 Percepatan Puncak Batuan Dasar dan Percepatan Puncak Muka Tanah Untuk Masing-Masing Wilayah Gempa Indonesia.....	12
Tabel 2.3 Spektrum Response Gempa Rencana .....	14
Tabel 2.4 Pengumpulan Data Untuk Tiga Level Zonasi.....	18
Tabel 3.1 Informasi Data Bor .....	22
Tabel 3.2 Klasifikasi Modulus Reduction Curve dan Damping Curve .....	23
Tabel 3.3 Hasil Deagregasi Untuk Periode Ulang Gempa 500 Tahun .....	26
Tabel 3.4 Time Histories Yang Direkomendasikan.....	27
Tabel 4.1 Lokasi Penyelidikan Tanah Lapangan .....	35
Tabel 4.2 Klasifikasi Modulus Reduction dan Damping Curve Bila Diketahui Data PI.....	40
Tabel 4.3 Klasifikasi Modulus Reduction dan Damping Curve Bila Tidak Diketahui Data PI.....	40
Tabel 4.4 Jenis-Jenis Tanah .....	42
Tabel 4.5 Percepatan Puncak Batuan Dasar dan Percepatan Puncak Muka Tanah Untuk Masing-Masing Wilayah Gempa Indonesia.....	44
Tabel 5.1 Generalisasi Data Stasiun Angke.....	47
Tabel 5.2 Damping Curve dan Modulus Reduction Stasiun Angke .....	47
Tabel 5.3 Input Tanah Stasiun Angke.....	48
Tabel 5.4 Generalisasi Data Apartemen Kuningan.....	49
Tabel 5.5 Damping Curve dan Modulus Reduction Apartemen Kuningan .....	49
Tabel 5.6 Input Tanah Apartemen Kuningan.....	50
Tabel 5.7 Hasil Percepatan Puncak Gempa di Permukaan Wilayah Jakarta Barat dan Jakarta Selatan.....	55
Tabel 5.8 Frekuensi dari amplitude max frekuensi alami tanah .....	56
Tabel 5.9 Titik Koordinat Lokasi Penyelidikan.....	58

## DAFTAR GAMBAR

Gambar 2.1 Wilayah Gempa Indonesia Dengan Percepatan Puncak Batuan Dasar Dengan Periode Ulang 500 tahun .....	13
Gambar 2.2 Response Spektrum Gempa Rencana.....	15
Gambar 3.1 Bagan Kegiatan Penelitian .....	20
Gambar 3.2 Perbedaan Peta Spectra Percepatan Gempa Antara SNI 03-1726-2002 (kiri) Dengan Usulan Irsyam dkk. (kanan) Untuk Periode Ulang Gempa 475 Tahun Daerah Jawa Barat.....	25
Gambar 3.3 Peta Spectra Percepatan Untuk Daerah Jawa Barat Untuk Periode Ulang Gempa 475 tahun (Irsyam dkk, 2008).....	25
Gambar 3.4 Target Response Spectra Yang Diskalakan $T = 0.2$ Detik.....	26
Gambar 3.5 Target Response Spectra Yang Diskalakan $T = 1.0$ Detik.....	27
Gambar 3.6 Time Histories Zona Sumber Gempa Megathrust ( $T = 0.2$ Detik) .....	28
Gambar 3.7 Time Histories Zona Sumber Gempa Benioff ( $T = 0.2$ Detik) .....	28
Gambar 3.8 Time Histories Zona Sumber Gempa Shallow Crustal ( $T = 0.2$ Detik)	28
Gambar 3.9 Time Histories Zona Sumber Gempa Background ( $T = 0.2$ Detik) .....	29
Gambar 3.10 Time Histories Zona Sumber Gempa Megathrust ( $T = 1.0$ Detik) .....	29
Gambar 3.11 Time Histories Zona Sumber Gempa Benioff ( $T = 1.0$ Detik) .....	29
Gambar 3.12 Time Histories Zona Sumber Gempa Shallow Crustal ( $T = 1.0$ Detik) .....	30
Gambar 3.13 Time Histories Zona Sumber Gempa Background ( $T = 1.0$ Detik) ....	30
Gambar 3.14 Format Vektor .....	31
Gambar 3.15 Format Raster .....	32
Gambar 4.1 Peta Lokasi Titik Bor .....	36
Gambar 4.2 Hasil Generalisasi Data Tanah .....	37
Gambar 4.3 Grafik Korelasi Unit Weight dan N-SPT .....	39
Gambar 4.4 Korelasi Antara $K_0$ dan Over Consolidated Ratio (OCR).....	41
Gambar 4.5 Korelasi Antara Nilai N-SPT Dengan OCR.....	42
Gambar 4.6 Time Histories Zona Sumber Gempa Megathrust ( $T = 0.2$ Detik) Dengan Periode Ulang 500 Tahun .....	43
Gambar 4.7 Time Histories Zona Sumber Gempa Shallow Crustal ( $T = 0.2$ Detik) Dengan Periode Ulang 500 Tahun .....	44
Gambar 4.8 Time Histories Zona Sumber Gempa Megathrust Dengan Percepatan Puncak 0.18 g ( $T = 0.2$ Detik) Dengan Periode Ulang 500 Tahun .....	45
Gambar 4.9 Time Histories Zona Sumber Gempa Shallow Crustal Dengan Percepatan Puncak 0.18 g ( $T = 0.2$ Detik) Dengan Periode Ulang 500 Tahun .....	45
Gambar 5.1 Percepatan Gempa di Setiap Lapisan Tanah Untuk Sumber Gempa Megathrust Lokasi Stasiun Angke .....	52
Gambar 5.2 Percepatan Gempa di Setiap Lapisan Tanah Untuk Sumber Gempa Shallow Crustal Lokasi Stasiun Angke.....	52
Gambar 5.3 Percepatan Gempa di Setiap Lapisan Tanah Untuk Sumber Gempa Megathrust Lokasi Apartemen Kuningan.....	54
Gambar 5.4 Percepatan Gempa di Setiap Lapisan Tanah Untuk Sumber Gempa Shallow Crustal Lokasi Apartemen Kuningan.....	54

Gambar 5.5 Peta Percepatan Puncak Gempa di Permukaan Daerah DKI Jakarta Untuk Sumber Gempa Megathrust Dengan Periode Ulang Gempa 500 Tahun .....	59
Gambar 5.6 Peta Kontur Percepatan Puncak Gempa di Permukaan Daerah DKI Jakarta Untuk Sumber Gempa Megathrust Dengan Periode Ulang Gempa 500 tahun .....	60
Gambar 5.7 Peta Percepatan Puncak Gempa di Permukaan Untuk Sumber Gempa Shallow Crustal Wilayah DKI Jakarta Dengan Periode Ulang Gempa 500 Tahun .....	61
Gambar 5.8 Peta Kontur Percepatan Puncak Gempa di Permukaan Untuk Sumber Gempa Shallow Crustal Wilayah DKI Jakarta Dengan Periode Ulang Gempa 500 tahun .....	62



## **BAB 1**

### **PENDAHULUAN**

#### **1.1. Latar Belakang**

Indonesia merupakan negara kepulauan yang berbentuk republik, terletak di kawasan Asia Tenggara. Indonesia memiliki lebih kurang 17.000 buah pulau dengan luas daratan 1.922.570 km<sup>2</sup> dan luas perairan 3.257.483 km<sup>2</sup>. Letak astronomis Indonesia Terletak di antara 6°LU – 11°LS dan 95°BT – 141°BT. Berdasarkan letak astronomisnya Indonesia dilalui oleh garis equator, yaitu garis khayal pada peta atau globe yang membagi bumi menjadi dua bagian sama besarnya. Secara geologis wilayah Indonesia dilalui oleh dua jalur pegunungan muda dunia yaitu Pegunungan Mediterania di sebelah barat dan Pegunungan Sirkum Pasifik di sebelah timur. Adanya dua jalur pegunungan tersebut menyebabkan Indonesia banyak memiliki gunung api yang aktif dan rawan terjadinya gempa bumi. Kepulauan Indonesia juga berada pada pertemuan empat lempeng tektonik utama dunia, yaitu lempeng eurasia, lempeng Australia, lempeng Pasifik, dan lempeng Philipina, yang bergerak dengan kecepatan yang berbeda-beda. Pergerakan ini bisa mengakibatkan tumbukan yang antara lain efeknya berupa gempa tektonik. Lempeng-lempeng bumi yang ada di Negara Indonesia merupakan bagian dari kerak bumi yang bergerak aktif. Pergerakan tersebut dipicu antara lain oleh air laut dan samudra. Dan dari gerakan lempeng ini akan terbentuk pegunungan aktif yang dalam aktifitasnya dapat menghasilkan getaran pada permukaan bumi. Oleh karena itu Indonesia dilihat dari sisi geologinya tidak mungkin untuk dapat menghindar dari gempa.

Indonesia adalah salah satu negara di dunia dengan resiko gempa yang cukup tinggi. Berkaitan dengan faktor keamanan bangunan terhadap resiko gempa, maka terdapat dua aspek yang perlu diperhatikan, yaitu aspek struktur bangunan dan aspek geoteknik. Pada aspek geoteknik meliputi mekanisme patahan, pengaruh seismik, percepatan dan kondisi tanah setempat. Karena lokasinya yang rawan terhadap gempa, maka pembangunan infrastruktur di Indonesia akan menjadi mahal, sehingga komponen biaya bangunan tahan gempa mempunyai persentase yang perlu diperhitungkan terhadap total biaya

pembangunan. Selain infrastruktur, bangunan perkantoran, hotel, dan apartemen juga tumbuh dengan pesat, terutama di kota-kota besar. Berkaitan dengan aspek keamanan dan jaminan investasi, bangunan-bangunan di atas harus direncanakan sebagai bangunan tahan gempa. Jika tidak direncanakan dengan baik terhadap bahaya gempa, maka kerugian yang mungkin terjadi akan sangat besar, mengingat tingginya resiko gempa di Indonesia.

Gempa bumi dapat menyebabkan kerusakan sarana seperti bangunan, jembatan dan jalan-jalan yang besar dan luas. Gempa juga dapat diikuti bencana alam berbahaya seperti tanah longsor dan tsunami. Indonesia sangat rawan gempa karena secara geografis berada dekat dengan lempeng-lempeng yang aktif dan saling berhubungan satu sama lain, serta karena adanya gunung-gunung berapi yang aktif. Gempa bumi sering diikuti oleh gempa susulan dalam beberapa menit, jam, hari atau bahkan minggu setelah gempa yang pertama, walaupun sering tidak sekuat yang pertama. Ancaman gempa susulan adalah runtuhnya bangunan yang telah goyah dan rusak akibat gempa pertama. Pada akhirnya, bencana gempa bumi dapat menimbulkan kerusakan dan kerugian material bahkan korban jiwa. Bencana gempa bumi ini tidak dapat dihindari dan dihilangkan dari muka bumi. Namun dengan mengetahui cara pencegahannya, resiko yang disebabkan oleh gempa bumi dapat diminimalkan.

DKI Jakarta yang merupakan ibukota dari Negara Republik Indonesia merupakan propinsi yang terdapat di Pulau Jawa yang dilewati oleh sirkum mediterania. DKI Jakarta mempunyai kepadatan penduduk sebesar 13.344 jiwa per-km<sup>2</sup>. Distribusi populasi penduduk Indonesia sangat tidak merata, sehingga Pulau Jawa masih menjadi pulau dengan populasi tertinggi. Hal ini kemungkinan ada kaitannya dengan pembangunan yang tidak merata di Indonesia, dimana pembangunan dan pengembangan sarana dan prasarana masih terpusat di pulau Jawa. Persentase populasi penduduk di pulau Jawa dan Madura mencapai 58.8% total penduduk Indonesia yang diikuti dengan pulau Sumatera sebesar 21%. Kota Metropolitan Jakarta yang berfungsi sebagai ibu kota negara dan pusat pemerintahan yang juga menjadi pusat dari kegiatan bisnis di Indonesia secara fisik merupakan kota yang paling maju tingkat pembangunannya di Indonesia. Saat ini berbagai bangunan berdiri di Jakarta, mulai dari perumahan sangat

sederhana, rumah-rumah mewah hingga bangunan tinggi pencakar langit dan jembatan serta flyover yang menjadi landmark tersebar diberbagai penjuru kota. Karena letak DKI Jakarta yang berada di Pulau Jawa yang dilewati oleh sirkum mediterania, maka DKI Jakarta rawan terhadap bencana gempa. Ditambah lagi DKI Jakarta merupakan ibukota Negara yang daerahnya dipadati oleh bangunan-bangunan tinggi dan digunakan oleh masyarakat banyak sehingga apabila terjadi gempa akan banyak kerugian material maupun immaterial yang terjadi.

Oleh karena itu, sehubungan dengan tingginya angka kerugian akibat gempa, maka perlu dilakukan studi yang komprehensif tentang gempa khususnya di DKI Jakarta. Dari hasil studi ini diharapkan bisa dihasilkan suatu hasil yang terpercaya yang bisa menjadi bahan pertimbangan dalam mendirikan bangunan di daerah DKI jakarta.

### **1.2. Deskripsi Masalah**

Jakarta sebagai pusat pemerintahan mempunyai bangunan-bangunan yang harus dilindungi dari kerusakan-kerusakan parah akibat bencana gempa bumi. Dan akibatnya bangunan-bangunan tersebut harus direncanakan sebagai bangunan tahan gempa sehingga pembangunannya menjadi mahal karena memerlukan biaya untuk bangunan tahan gempa.

Oleh karena itu, diperlukan adanya peta di daerah DKI Jakarta yang menunjukkan letak-letak yang berbahaya bagi bangunan apabila terjadi gempa sebagai awal dari mitigasi bencana. Hal ini berkaitan juga dengan kondisi tanah setempat karena besarnya gempa saat sampai di permukaan dipengaruhi juga oleh kondisi tanahnya. Sehingga dengan adanya peta gempa ini akan dapat membuat pembangunan-pembangunan menjadi efektif dan aman terhadap bahaya gempa karena pembangunan disesuaikan dengan kondisi resiko yang dapat dialami oleh bangunan apabila dibangun di tempat tersebut.

### **1.3. Tujuan Penelitian**

Penelitian ini dimaksudkan untuk :

- Membuat database dari data bore log yang sudah ada untuk beberapa titik di daerah Jakarta Barat dan Selatan.

- Mencari nilai percepatan puncak gempa di permukaan di setiap titik lokasi penyelidikan.
- Membuat peta mikrozonasi gempa untuk daerah DKI Jakarta khususnya daerah Jakarta Barat dan Selatan.

#### **1.4. Ruang Lingkup Penelitian**

DKI Jakarta sebagai kota metropolitan dan ibukota Negara merupakan daerah yang dipadati oleh bangunan tinggi dan bangunan pemerintahan yang banyak digunakan oleh masyarakat umum. Bangunan-bangunan ini harus dapat terlindungi dari kerusakan-kerusakan akibat terjadinya bencana termasuk di dalamnya bencana gempa bumi. Sehingga diperlukan adanya perencanaan dalam pembangunannya untuk dapat bertahan dari bencana gempa bumi.

Penelitian ini dibatasi untuk wilayah Jakarta Barat dan Selatan dengan data bore log yang telah didapatkan sebelumnya untuk beberapa titik pengeboran di daerah tersebut. Data bore log ini menjadi acuan kondisi tanah yang ada di daerah Jakarta Barat dan Selatan. Dan dengan program SHAKE diproses untuk mendapatkan percepatan puncak gempa di permukaan daerah Jakarta Barat dan Selatan.

#### **1.5. Sistematika Penulisan**

##### **Bab I. Pendahuluan**

Pada bab pendahuluan berisi tentang latar belakang dari kegiatan penelitian serta deskripsi masalah dari penelitian. Bab ini juga menceritakan maksud dan tujuan penulis melakukan penelitian serta ruang lingkup dari penelitian yang penulis lakukan.

##### **Bab II. Tinjauan Pustaka**

Pada bab tinjauan pustaka berisi tentang dasar-dasar teori dan peraturan yang mendukung dan menjadi acuan dari kegiatan penelitian ini.

##### **Bab III. Metodelogi Penelitian**

Pada bab Metodelogi Penelitian berisi tentang bagaimana penulis melakukan penelitian ini.

#### Bab IV. Penentuan Parameter Input Data

Pada Bab Penentuan Parameter Input Data berisi tentang bagaimana penulis menentukan input yang digunakan dalam analisis percepatan puncak gempa di permukaan dengan program SHAKE 2000.

#### Bab V. Analisis Hasil Percepatan Puncak Gempa di Permukaan

Pada Bab Analisis Hasil Percepatan Puncak Gempa di Permukaan berisi tentang hasil percepatan puncak gempa di permukaan yang didapat berdasarkan input yang telah ditentukan.

#### Bab VI. Kesimpulan dan Saran

Pada bab Kesimpulan dan Saran berisi tentang kesimpulan yang didapat dari penelitian yang dilakukan penulis serta saran untuk penelitian selanjutnya.

## **BAB II**

### **TINJAUAN PUSTAKA**

#### **2.1. Pendahuluan**

Untuk penelitian ini diperlukan suatu dasar teori yang dapat digunakan dalam mendukung semua yang akan dilakukan dalam penelitian ini, termasuk materi-materi yang diperlukan dalam melaksanakan penelitian ini. Untuk itu pada bab ini akan diperlihatkan teori-teori materi-materi yang berhubungan dan dibutuhkan dalam penelitian ini.

Pada bab ini terdapat materi-materi yang membantu dalam melaksanakan penelitian seperti pengetahuan mengenai penggunaan metode dalam menganalisis percepatan gempa pada lapisan tanah yang berbeda-beda dan pengetahuan mengenai peta digital yang akan digunakan dalam penelitian ini. Dari teori ini akan digunakan dalam mendapatkan percepatan gempa di permukaan dengan memprosesnya dalam program Shake

Pada penelitian ini digunakan SNI 03-1726-2002 pasal 4.6 dan pasal 4.7 sebagai bahan acuan, dimana pada pasal 4.6 digunakan untuk mengetahui sifat-sifat tanah berhubungan dengan perambatan gelombang gempa pada tanah tersebut dilihat dari jenis tanahnya. Dan pada pasal 4.7 sebagai bahan acuan dalam membagi wilayah gempa berdasarkan percepatan puncak batuan dasarnya.

#### **2.2. Gempa Bumi**

Gempa bumi adalah getaran yang terjadi karena pergerakan lapisan batu bumi yang berasal dari dasar atau bawah permukaan bumi dan juga bisa dikarenakan adanya letusan gunung berapi. Dari faktor-faktor penyebab terjadinya, maka gempa bumi dapat digolongkan menjadi dua. Pertama disebut gempa tektonik. Yang kedua adalah gempa vulkanik yang jarang terjadi bila dibandingkan dengan gempa tektonik. Gempa bumi mempunyai intensitas tertentu yang berbeda-beda untuk setiap gempa yang terjadi di suatu daerah.

Intensitas adalah besaran yang dipakai untuk mengukur suatu gempa selain dengan *magnitude*. Intensitas dapat didefinisikan sebagai suatu besarnya kerusakan disuatu tempat akibat gempa bumi yang diukur berdasarkan kerusakan

yang terjadi. Harga intensitas merupakan fungsi dari *magnitude*, jarak ke *episenter*, lama getaran, kedalaman gempa, kondisi tanah dan keadaan bangunan. Skala Intensitas Modifikasi Mercalli (MMI) merupakan skala intensitas yang lebih umum dipakai.

Kebanyakan gempa bumi disebabkan dari pelepasan energi yang dihasilkan oleh tekanan yang dilakukan oleh lempengan yang bergerak. Semakin lama tekanan itu kian membesar dan akhirnya mencapai pada keadaan dimana tekanan tersebut tidak dapat ditahan lagi oleh pinggiran lempengan. Pada saat itu lah gempa bumi akan terjadi. Gempa bumi biasanya terjadi di perbatasan lempengan-lempengan tersebut. Gempa bumi yang paling parah biasanya terjadi di perbatasan lempangan kompresional dan translasional. Gempa bumi fokus dalam kemungkinan besar terjadi karena materi lapisan litosfer yang terjepit kedalam mengalami transisi fase pada kedalaman lebih dari 600 km.

Beberapa gempa bumi lain juga dapat terjadi karena pergerakan magma di dalam gunung berapi. Gempa bumi seperti itu dapat menjadi gejala akan terjadinya letusan gunung berapi. Beberapa gempa bumi juga terjadi karena menumpuknya massa air yang sangat besar di balik dam. Sebagian lagi juga dapat terjadi karena injeksi atau akstraksi cairan dari/ke dalam bumi. Terakhir, gempa juga dapat terjadi dari peledakan bahan peledak. Gempa bumi yang disebabkan oleh manusia seperti ini dinamakan juga seismisitas terinduksi.

### 2. 3. *Ground Response Analysis*

*Ground Response Analysis* digunakan dalam memprediksi gelombang di permukaan yang berkembang berdasarkan dari *respons spectra* yang terjadi, dan mengevaluasi tegangan dan regangan akibat gaya dinamik untuk bencana liquifaksi, serta untuk menentukan gaya yang disebabkan gempa yang bisa menyebabkan ketidakstabilan permukaan tanah dan ketahanan struktur di permukaan tanah.

Pada kondisi ideal, *ground response analysis* dapat dimodelkan dengan mekanisme *rupture* pada sumber gempa tersebut, perambatan dari gelombang tekanan yang melalui batuan dasar bumi, dan kemudian menentukan bagaimana gelombang di permukaan dipengaruhi oleh tanah yang terletak di atas batuan dasar

tersebut. Permasalahan dipecahkan dari *ground response analysis* yang utama adalah menentukan respons gelombang dari batuan dasar terhadap lapisan tanah yang berada di atasnya. Meskipun faktanya gelombang gempa mungkin melintasi 10 km dari batuan dasar dan lebih dari 100 m lapisan tanah. Tanah sangat berperan penting dalam penentuan karakteristik gelombang yang terjadi di permukaan bumi.

Metode dalam menentukan *ground response analysis* dikelompokkan berdasarkan dimensi dari permasalahan yang ingin dipecahkan. Terdapat tiga metode dalam menentukan *ground response analysis* yaitu metode satu dimensi, dua dimensi, dan metode tiga dimensi. Meskipun metode dua dimensi dan tiga dimensi lebih cocok atau tepat dalam menentukan *ground response analysis* daripada metode satu dimensi. Untuk selanjutnya hanya akan dibahas mengenai metode satu dimensi yang akan digunakan dalam analisis gempa dengan program SHAKE.

- Metode satu dimensi

Pada metode analisis berikut diasumsikan bahwa semua lapisan tanah ke arah horizontal dan respons pada lapisan tanah sejumlah besar disebabkan oleh gelombang SH yang merambat secara vertikal dari lapisan di atas *bedrock*. Pada analisis respons permukaan satu dimensi, permukaan tanah dan *bedrock* diasumsikan memanjang secara tak terbatas ke arah horizontal. Ada beberapa istilah dalam menganalisa respons permukaan yang perlu diketahui yaitu *free surface motion*, *bedrock motion*, *a rock outcropping motion*, dan *bedrock outcropping motion*. Pada *bedrock outcropping motion* tidak ada lapisan tanah di atas lapisan *bedrock*.

Untuk metode analisis permukaan satu dimensi ada dua cara pendekatan yaitu secara pendekatan linear dan pendekatan non-linear. Dan yang akan dibahas hanya pendekatan linear saja.

- Pendekatan linear

Pada permasalahan respon permukaan tanah, mentransfer fungsi dapat digunakan untuk menyatakan berbagai parameter respon, seperti *displacement*, kecepatan, percepatan, tegangan geser, dan regangan geser, untuk sebuah parameter *input motion* seperti percepatan pada lapisan *bedrock*. Karena ia

bergantung pada prinsip *superposition*, pendekatan ini adalah terbatas pada analisis sistem linear. Percepatan gempa pada bedrock yang diketahui dalam time history dibuat ke dalam deret Fourier, biasanya menggunakan FFT. Setiap istilah dalam deret Fourier dari gerakan di *bedrock (input motion)* ini kemudian dikalikan dengan fungsi transfer untuk menghasilkan deret Fourier untuk gerakan di permukaan tanah (*output motion*). Gerakan di permukaan tanah (*output motion*) kemudian dapat dinyatakan dalam domain waktu menggunakan inverse FFT. Dengan demikian fungsi transfer menentukan berapa masing-masing frekuensi di *bedrock (input)* adalah gerakan *amplified*, atau *de-amplified*, oleh lapisan tanah.

- Evaluasi dari transfer fungsi

Kunci dari pendekatan linear adalah evaluasi fungsi transfer. Pada bagian berikut, deret fungsi transfer diperoleh untuk setiap kondisi geoteknik yang lebih rumit. Walaupun penyederhanaan ini tidak begitu sesuai dengan masalah yang sebenarnya, namun menggambarkan beberapa efek penting pada lapisan tanah untuk karakteristik dari gerakan tanah tanpa matematika yang rumit. Semakin kompleks akan mampu menjelaskan aspek-aspek yang paling penting dari respon terhadap tanah dan sangat umum digunakan dalam praktik rekayasa geoteknik gempa. Berikut rumus transfer fungsi untuk setiap asumsi yang digunakan pada permasalahan analisis respon tanah :

$$F(\omega) = \frac{1}{\cos k_s^* H + i \alpha_z^* \sin k_s^* H} \quad (2.1)$$

dimana,

$$\alpha_z^* = \frac{G_s^* k_s^*}{G_r^* k_r^*} \quad (2.2)$$

$k^*$  = complex wave number =  $k (1 + i \xi)$

$k$  =  $\omega / v_s$

$\omega$  = circular frequency of harmonic wave ( $= 2\pi \times f$ )

$\xi$  = damping ratio of soil

$G_s^* = G (1 + 2 i \xi)$  = complex shear modulus of soil

## **2.4. Pasal-pasal yang digunakan dalam SNI 03-1726-2002**

### **4.6 Jenis tanah dan perambatan gelombang gempa**

**4.6.1** Kecuali bila lapisan tanah di atas batuan dasar memenuhi syarat-syarat yang ditetapkan dalam Pasal 4.6.3, pengaruh Gempa Rencana di muka tanah harus ditentukan dari hasil analisis perambatan gelombang gempa dari kedalaman batuan dasar ke muka tanah dengan menggunakan gerakan gempa masukan dengan percepatan puncak untuk batuan dasar menurut Tabel 2.2. Akselerogram gempa masukan yang ditinjau dalam analisis ini, harus diambil dari rekaman gerakan tanah akibat gempa yang didapat di suatu lokasi yang mirip kondisi geologi, topografi dan seismotektoniknya dengan lokasi tempat struktur gedung yang ditinjau berada. Untuk mengurangi ketidak-pastian mengenai kondisi lokasi ini, paling sedikit harus ditinjau 4 buah akselerogram dari 4 gempa yang berbeda, salah satunya harus diambil Gempa El Centro N-S yang telah direkam pada tanggal 15 Mei 1940 di California.

**4.6.2** Batuan dasar adalah lapisan batuan di bawah muka tanah yang memiliki nilai hasil Test Penetrasi Standar N paling rendah 60 dan tidak ada lapisan batuan lain di bawahnya yang memiliki nilai hasil Test Penetrasi Standar yang kurang dari itu, atau yang memiliki kecepatan rambat gelombang geser vs yang mencapai 750 m/detik dan tidak ada lapisan batuan lain di bawahnya yang memiliki nilai kecepatan rambat gelombang geser yang kurang dari itu.

**4.6.3** Jenis tanah ditetapkan sebagai Tanah Keras, Tanah Sedang dan Tanah Lunak, apabila untuk lapisan setebal maksimum 30 m paling atas dipenuhi syarat-syarat yang tercantum dalam Tabel 2.1.

**Tabel 2.1 Jenis-jenis tanah**

Jenis tanah	Kecepatan rambat gelombang geser rata-rata, Vs (m/det)	Nilai hasil Test Penetrasi Standar rata-rata N	Kuat geser niralir rata-rata Su (kPa)
Tanah Keras	$V_s \geq 350$	$N \geq 50$	$S_u \geq 100$
Tanah Sedang	$175 \leq V_s < 350$	$15 \leq N < 50$	$50 \leq S_u < 100$
	$V_s < 175$	$N < 15$	$S_u < 50$
Tanah Lunak	atau, setiap profil dengan tanah lunak yang tebal total lebih dari 3m dengan PI > 20, $w_u \geq 40\%$ dan $S_u < 25$ kPa		
Tanah Khusus	diperlukan evaluasi khusus di setiap lokasi		

Dalam Tabel 2.1 Vs , N dan Su adalah nilai rata-rata berbobot besaran itu dengan tebal lapisan tanah sebagai besaran pembobotnya yang harus dihitung menurut persamaan persamaan sebagai berikut :

$$\bar{V}_s = \frac{\sum_{i=1}^m t_i / v_{si}}{\sum_{i=1}^m t_i} \quad (2.3)$$

$$\bar{N} = \frac{\sum_{i=1}^m t_i / N_i}{\sum_{i=1}^m t_i / N_i} \quad (2.4)$$

$$\bar{S}_u = \frac{\sum_{i=1}^m t_i / S_{ui}}{\sum_{i=1}^m t_i / S_{ui}} \quad (2.5)$$

di mana  $t_i$  adalah tebal lapisan tanah ke- $i$ ,  $v_{si}$  adalah kecepatan rambat gelombang geser melalui lapisan tanah ke- $i$ ,  $N_i$  nilai hasil Test Penetrasi Standar lapisan tanah ke- $i$ ,  $S_{ui}$  adalah kuat geser niralir lapisan tanah ke- $i$  dan  $m$  adalah jumlah lapisan tanah yang ada di atas batuan dasar. Selanjutnya, dalam Tabel 1 PI adalah Indeks Plastisitas tanah lempung,  $w_n$  adalah kadar air alami tanah dan  $S_u$  adalah kuat geser niralir lapisan tanah yang ditinjau.

**4.4.4** Yang dimaksud dengan jenis Tanah Khusus dalam Tabel 2.1 adalah jenis tanah yang tidak memenuhi syarat-syarat yang tercantum dalam tabel tersebut. Di samping itu, yang termasuk dalam jenis Tanah Khusus adalah juga tanah yang memiliki potensi likuifaksi yang tinggi, lempung sangat peka, pasir yang tersementasi rendah yang rapuh, tanah gambut, tanah dengan kandungan bahan organik yang tinggi dengan ketebalan lebih dari 3 m, lempung sangat lunak dengan PI lebih dari 75 dan ketebalan lebih dari 10 m, lapisan lempung dengan 25 kPa  $< \text{Su} < 50$  kPa dan ketebalan lebih dari 30 m. Untuk jenis Tanah Khusus percepatan puncak muka tanah harus ditentukan dari hasil analisis perambatan gelombang gempa menurut Pasal 4.6.1.

#### **4.7 Wilayah gempa dan spektrum respons**

**4.7.1** Indonesia ditetapkan terbagi dalam 6 Wilayah Gempa seperti ditunjukkan dalam Gambar 1, di mana Wilayah Gempa 1 adalah wilayah dengan kegempaan paling rendah dan Wilayah Gempa 6 dengan kegempaan paling tinggi. Pembagian Wilayah Gempa ini, didasarkan atas percepatan puncak batuan dasar akibat pengaruh Gempa Rencana dengan perioda ulang 500 tahun, yang nilai rata-ratanya untuk setiap Wilayah Gempa ditetapkan dalam Gambar 2.1 dan Tabel 2.2.

**4.7.2** Apabila percepatan puncak muka tanah Ao tidak didapat dari hasil analisis perambatan gelombang seperti disebut dalam Pasal 4.6.1, percepatan puncak muka tanah tersebut untuk masing-masing Wilayah Gempa dan untuk masing-masing jenis tanah ditetapkan dalam Tabel 2.2.

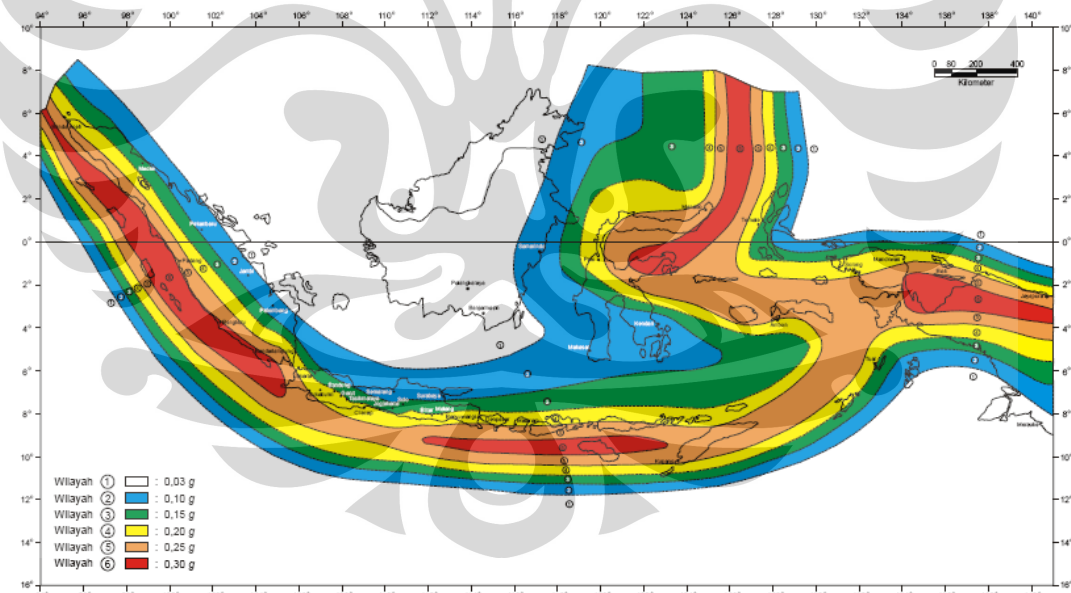
**Tabel 2.2** Percepatan puncak batuan dasar dan percepatan puncak muka tanah untuk masing-masing Wilayah Gempa Indonesia

Wilayah Gempa	Percepatan puncak batuan dasar (g)	Percepatan puncak muka tanah $A_0$ (g)			
		Tanah Keras	Tanah Sedang	Tanah Lunak	Tanah Khusus
1	0,03	0,04	0,05	0,08	Diperlukan evaluasi
2	0,10	0,12	0,15	0,20	khusus di setiap lokasi
3	0,15	0,18	0,23	0,30	
4	0,20	0,24	0,28	0,34	
5	0,25	0,28	0,32	0,36	
6	0,30	0,33	0,36	0,38	

**4.7.3** Percepatan puncak batuan dasar dan percepatan puncak muka tanah Ao untuk Wilayah Gempa 1 yang ditetapkan dalam Gambar 2.1 dan Tabel 2.2

ditetapkan juga sebagai percepatan minimum yang harus diperhitungkan dalam perencanaan struktur gedung untuk menjamin kekekaran (robustness) minimum dari struktur gedung tersebut.

**4.7.4** Untuk menentukan pengaruh Gempa Rencana pada struktur gedung, yaitu berupa beban geser dasar nominal statik ekuivalen pada struktur beraturan menurut Pasal 6.1.2, gaya geser dasar nominal sebagai respons dinamik ragam pertama pada struktur gedung tidak beraturan menurut Pasal 7.1.3 dan gaya geser dasar nominal sebagai respons dinamik seluruh ragam yang berpartisipasi pada struktur gedung tidak beraturan menurut Pasal 7.2.1, untuk masing-masing Wilayah Gempa ditetapkan Spektrum Respons Gempa Rencana C-T seperti ditunjukkan dalam Gambar 2.2. Dalam gambar tersebut C adalah Faktor Respons Gempa dinyatakan dalam percepatan gravitasi dan T adalah waktu getar alami struktur gedung dinyatakan dalam detik. Untuk  $T = 0$  nilai C tersebut menjadi sama dengan Ao, di mana Ao merupakan percepatan puncak muka tanah menurut Tabel 2.2.



**Gambar 2.1** Wilayah Gempa Indonesia dengan percepatan puncak batuan dasar dengan periode ulang 500 tahun

**4.7.5** Mengingat pada kisaran waktu getar alami pendek  $0 < T < 0,2$  detik terdapat ketidak-pastian, baik dalam karakteristik gerakan tanah maupun dalam tingkat duktilitas strukturnya, Faktor Respons Gempa C menurut Spektrum Respons Gempa Rencana yang ditetapkan dalam Pasal 4.7.4, dalam kisaran waktu getar

alami pendek tersebut, nilainya tidak diambil kurang dari nilai maksimumnya untuk jenis tanah yang bersangkutan.

#### 4.7.6 Dengan menetapkan percepatan respons maksimum Am sebesar

$$Am = 2,5 A_0 \quad (2.6)$$

dan waktu getar alami sudut  $T_c$  sebesar 0,5 detik, 0,6 detik dan 1,0 detik untuk jenis tanah berturut-turut Tanah Keras, Tanah Sedang dan Tanah Lunak, maka dengan memperhatikan Pasal 4.7.4 dan Pasal 4.7.5, Faktor Respons Gempa C ditentukan oleh persamaanpersamaan sebagai berikut :

- untuk  $T \leq T_c$  :

$$C = A_m \quad (2.7)$$

- untuk  $T > T_c$  :

$$C = \frac{A_r}{T} \quad (2.8)$$

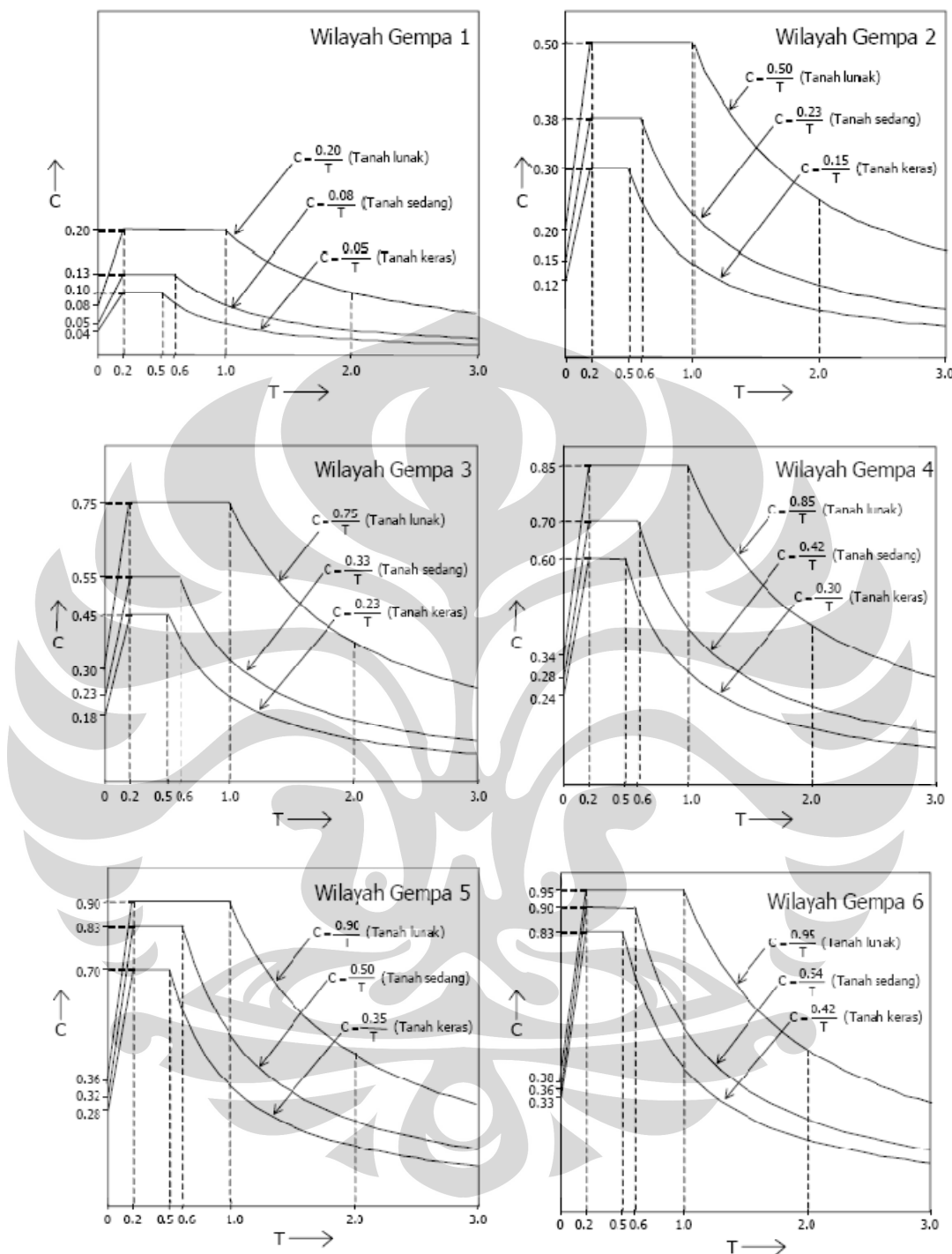
dengan

$$A_r = A_m \cdot T_c \quad (2.9)$$

Dalam Tabel 2.3, nilai-nilai Am dan Ar dicantumkan untuk masing-masing Wilayah Gempa dan masing-masing jenis tanah.

**Tabel 2.3 Spektrum Response Gempa Rencana**

Wilayah Gempa	Tanah Keras $T_c = 0,5$ det.		Tanah Sedang $T_c = 0,6$ det.		Tanah Lunak $T_c = 1,0$ det.	
	Am	Ar	Am	Ar	Am	Ar
1	0,1	0,05	0,13	0,08	0,20	0,20
2	0,3	0,15	0,38	0,23	0,50	0,50
3	0,45	0,23	0,55	0,33	0,75	0,75
4	0,6	0,3	0,7	0,42	0,85	0,85
5	0,7	0,35	0,83	0,50	0,90	0,90
6	0,83	0,42	0,90	0,54	0,95	0,95



**Gambar 2.2** Respons Spektrum Gempa Rencana

## 2.5. Peta digital

Peta Digital adalah peta rupabumi hasil proyek “Digital Mapping” yang dimulai BAKOSURTANAL pada tahun 1993, yang seluruh tahapan produksinya

menggunakan teknik digital, mulai dari kompilasi foto udara pada alat fotogametri analitis, proses editing dan desain kartografi hingga persiapan separasi warna sebelum dicetak offset. Dengan alur kerja lengkap secara digital (dataflow), maka peta ini menjadi sangat teliti, sangat ekonomis untuk dimutakhirkan di masa depan, dan sangat bervariasi untuk digunakan, baik dalam bentuk kertas (hardcopy) maupun dalam bentuk digital (softcopy).

Peta digital mempunyai perbedaan dengan peta konvensional dan peta hasil digitasi. Yang dimaksud dengan peta konvensional di sini adalah peta kertas hasil teknologi analog. Peta semacam ini cukup sulit untuk dimutakhirkan, karena praktis seluruhnya harus digambar ulang, tidak cukup bagian yang berubah saja. Selain itu penggunaannya juga terbatas, tidak mudah ditampilkan dalam format berbeda, dan tidak bisa langsung diproses dengan teknologi digital lainnya, misalnya dalam Sistem Informasi Geografi. Dan untuk peta hasil digitasi dari peta analog tak terhindarkan dari kesalahan akibat skala dan generalisasi. Bila peta yang digitasi berskala 1:250.000, sedang rata-rata ketelitian operator adalah 0,1 mm maka akurasi geometri hasil digitasi itu adalah sekitar 25 meter. Angka ini masih diperparah oleh akibat generalisasi pada peta skala kecil, di mana agar suatu unsur tetap kelihatan, ia harus digambar jauh lebih besar dari sesunguhnya. Pada peta skala 1:250.000 suatu jalan selebar 10 m digambat selebar 0,5 mm, jadi seakan-akan lebarnya di alam adalah 125m. Akibatnya, bila orang ingin menghitung luas, atau mencocokkan hasil pembacaan GPS, maka akan terjadi simpangan yang cukup besar. Sedangkan untuk peta digital sendiri dihasilkan dari kompilasi foto udara yang diambil dari pesawat terbang (*airborne*). Kemudian dilengkapi dengan data survey lapangan misalnya untuk menambah data yang tertutup bayangan, atau yang memang tidak terdapat di foto, seperti klasifikasi bangunan, batas administrasi maupun nama-nama tempat. Foto udara memiliki skala yang jauh lebih besar dari citra satelit (*spaceborne*), sehingga jumlah informasi geometri maupun ketelitiannya juga jauh lebih tinggi. Citra satelit seperti Landsat atau SPOT lebih berguna untuk daerah yang sangat luas tapi tidak memerlukan informasi geometri yang rinci. Keunggulan citra satelit adalah pada informasi radiometri, misalnya untuk mengenali karakteristik lingkungan hidup atau struktur geologi suatu tempat.

Format data dari peta digital ini dalam format DST. Namun bagi pengguna, telah disediakan dalam format Cad (DWG/DXF) dan Arc/Info. Sehingga peta tersebut dapat digunakan untuk berbagai *software* yang menggunakan format tersebut termasuk di dalamnya *software* GIS. GIS (Sistem Informasi Geografi) adalah sistem komputer untuk memasukkan, menata, mengolah dan mempresentasikan data yang memiliki referensi ruang. Aplikasi GIS ini meliputi banyak sekali sektor, mulai dari analisis lingkungan, optimasi route lalu lintas, perencanaan wilayah, *facility management*, riset pasar, dsb. Dengan demikian terlihat bahwa dalam beberapa aplikasi GIS diperlukan data tematik yang belum terdapat pada peta rupabumi, misalnya data kependudukan, data lalu lintas dsb. Peta digital hanya menyediakan data dasar atau data baku, yakni geometri dari permukaan bumi yang benar. Untuk beberapa jenis aplikasi GIS, misalnya analisis banjir, modeling produksi padi, simulasi propagasi gelombang radio atau perkiraan tempat-tempat rawan kecelakaan di jalan raya, peta digital bisa langsung dipakai dalam analisis. Namun untuk sebagian besar aplikasi GIS, data dari peta digital masih harus ditambah data lain, atau ditingkatkan kompleksitasnya.

## 2.6. Peta Mikrozonasi Gempa

Peta mikrozonasi gempa adalah peta yang digunakan untuk menunjukkan percepatan gempa maksimum terkoreksi dengan periode ulang tertentu untuk suatu daerah. Untuk setiap daerah akan mempunyai lapisan tanah yang berbeda-beda. Dan lapisan tanah ini akan mempengaruhi besarnya percepatan gempa pada daerah tersebut, oleh karena itu percepatan gempa untuk setiap daerah akan bervariasi tergantung dengan lapisan tanah di bawahnya. Peta mikrozonasi gempa kota Jakarta dibuat dengan membagi kota Jakarta menjadi zona wilayah berdasarkan data actual mengenai lapisan tanah setempat yang didapat dari sejumlah titik data pemboran dan data laboratorium.

Berdasarkan ISSMGE *Technical Committe for Geotechnical Earthquake Engineering*, tiga tingkat pendekatan yang digunakan untuk melakukan zonasi pada tiga jenis fenomena geoteknik digambarkan seperti yang ada pada Tabel 2.4 di bawah ini.

**Tabel 2.4** Penggunaan data untuk tiga level zonasi

	<b>Tingkat-1</b>	<b>Tingkat-2</b>	<b>Tingkat-3</b>
<b>Gerakan Tanah</b>	Catatan gempa ( <i>historical earthquakes</i> ) dan informasi yang ada	<i>Microtremor</i>	Investigasi geoteknik
	Peta Geologi		
	Wawancara penduduk sekitar	<i>Simplified geotechnical study</i>	<i>Ground response analysis</i>
<b>Ketidakstabilan Lereng</b>	Catatan gempa ( <i>historical earthquakes</i> ) dan informasi yang ada	Foto udara dan <i>remote sensing</i>	Investigasi geoteknik
	Peta Geologi dan Peta Geomorfologi	<i>fields studies</i>	
		<i>data vegetasi dan penyerapan air</i>	Analisis
<b>Liquefaction</b>	Catatan gempa ( <i>historical earthquakes</i> ) dan informasi yang ada	<i>Foto udara dan remote sensing</i>	Investigasi geoteknik
	Peta Geologi dan Peta Geomorfologi	<i>fields studies</i>	
		Wawancara dengan penduduk sekitar	Analisis
<b>Skala Pemetaan</b>	1:1,000,000 - 1:50,000	1:100,000 - 1:10,000	1:25,000 - 1:5,000

## **BAB III**

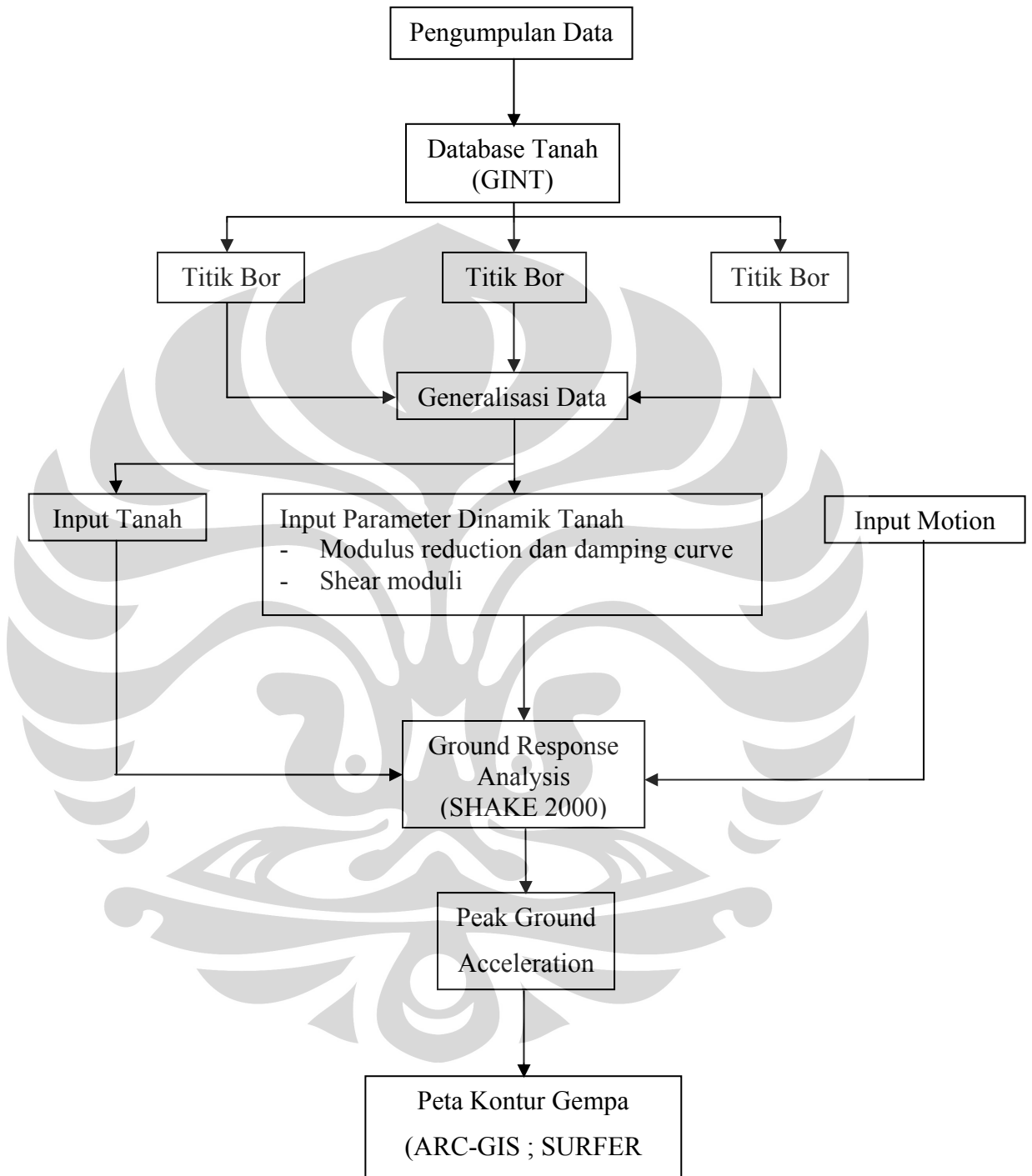
### **METODE PENELITIAN**

#### **3.1. Pendahuluan**

Kegiatan penelitian yang dilakukan meliputi analisa percepatan puncak gempa di permukaan dengan menggunakan program SHAKE dengan data-data tanah untuk beberapa titik di daerah Jakarta Barat dan Selatan. Dari hasil percepatan puncak gempa di permukaan ini akan didapatkan peta mikrozonasi gempa di daerah Jakarta Barat dan Selatan dengan menggunakan program ARC-GIS.

Kegiatan penelitian ini mempunyai beberapa tahapan yang dilakukan, yaitu tahapan persiapan data tanah pada beberapa titik di daerah Jakarta Barat dan Selatan, tahapan berikutnya adalah analisis percepatan puncak gempa di permukaan dengan program SHAKE, dan selanjutnya penggunaan program ARC-GIS dalam pembuatan peta mikrozonasi gempa daerah Jakarta Barat dan Selatan.

### 3.2. Alur Kegiatan Penelitian



**Gambar 3.1** Bagan kegiatan penelitian

### **3.3. Tahapan Penelitian**

Berikut ini adalah penjelasan mengenai masing-masing tahapan yang dilakukan dalam penelitian analisis percepatan muka tanah dengan program SHAKE untuk daerah studi Kotamadya Jakarta Barat dan Selatan.

#### **3.3.1. Pengumpulan informasi dan Data**

Informasi dan data-data yang dikumpulkan menjadi awal dalam kegiatan penelitian ini. Setelah itu penggunaan program SHAKE menjadi tahapan berikutnya. Secara garis besar penulis menggolongkan menjadi 2 golongan dalam penelitian ini :

- Data tanah DKI Jakarta

Data tanah yang didapat dari pemboran dalam ini nantinya akan dipergunakan dalam tahap menganalisis percepatan muka tanah yang terjadi dengan program SHAKE. Selain data-data tanah penulis juga mengumpulkan informasi mengenai studi gempa, yaitu meliputi definisi, parameter-parameter gempa, dasar program SHAKE, serta peraturan yang terkait dalam menganalisis percepatan muka tanah.

- Perhitungan percepatan muka tanah dengan program SHAKE

Data tanah yang telah didapatkan akan menjadi input dalam program SHAKE bersama dengan input parameter dinamika tanah. Program SHAKE yang akan digunakan akan membutuhkan parameter-parameter tanah dalam menganalisis respon gempa yang terjadi dan mendapatkan ilai percepatan muka tanah.

#### **3.3.2. Perhitungan Percepatan Muka Tanah**

Untuk melakukan analisis percepatan muka tanah dibutuhkan data tanah sebagai input ke dalam program SHAKE. Data-data tanah ini merupakan data tanah hasil pengeboran dalam di beberapa titik di daerah DKI Jakarta. Data tanah ini menyediakan informasi mengenai karakteristik lapisan tanah yang ditinjau dan dibutuhkan oleh program SHAKE dalam menganalisis percepatan muka tanah yang terjadi.

##### **3.3.2.1. Input Data Tanah**

Untuk membuat peta gempa diperlukan data tanah yang selanjutnya akan di analisis seberapa besar efek yang akan terjadi jika gempa melewati daerah

tersebut. Untuk itu diperlukan data tanah yang meliputi seluruh daerah yang akan dibuat peta gempanya. Data tanah yang digunakan secara garis besar terbagi menjadi dua, yaitu data lapangan yang di dapat dari pengeboran lapangan dan juga data laboratorium dari tes di laboratorium. Data-data yang diperlukan dapat dilihat pada tabel 3.1.

**Tabel 3.1.** Informasi Data Bor

Borehole data (soil column, drilling log)	Location Date and time Strata, depth, thickness SPT N-values Groundwater levels Name of drillers and company
--	---

Data data tersebut dipeoleh dari Laboratorium Mekanika Tanah, Departemen Teknik Sipil, Fakultas Teknik Universitas Indonesia. Data tersebut adalah hasil investigasi tanah dan tes laboratorium rutin yang selama ini terkumpul.

### 3.3.2.2. Input Parameter Dinamika Tanah

Selain input data tanah, dalam menganalisis ground response analysis menggunakan program SHAKE dibutuhkan juga input parameter dinamika tanah. Parameter dinamika tanah yang dibutuhkan dalam pengolahan adalah modulus geser dinamik ( $G_{max}$ ), kecepatan gelombang ( $V_s$ ), unit weight ( $\gamma$ ), Plasticity Index (PI), *modulus reduction curve*, dan *dumping curve*. Nilai modulus geser dinamik dapat dikorelasikan dengan nilai N-SPT dengan menggunakan rumus

$$G_{max} = 1000 \left( 20(N_{1,60})^{1/3} \right) (\sigma_m)^{1/2} \quad (3.1)$$

Dimana  $N$  merupakan nilai N-SPT. Nilai  $\gamma$  didapat dari test laboratorium yang dilakukan, namun tidak semua jenis lapisan tanah dilakukan tes laboratorium, sehingga nilai  $\gamma$  dapat menggunakan grafik yang berhubungan dengan nilai N-SPT. Untuk nilai modulus reduction curve dan dumping curve dibutuhkan nilai plasticity index, namun sama halnya dengan nilai  $\gamma$ , nilai plasticity index tidak semuanya didapat berdasarkan test laboratorium, sehingga nilai modulus reduction curve dan dumping curve didapat dengan menyesuaikan jenis tanah pada lapisan tanah.

**Tabel 3.2.** Klasifikasi *modulus reduction curve* dan *damping curve*

jenis tanah	modulus reduction curve	damping curve
clay	soil (Vucetic & Dobry)	soil (Vucetic & Dobry)
silt	soil (Vucetic & Dobry)	soil (Vucetic & Dobry)
sand	sand-average (Seed & Idriss)	sand-average (Seed & Idriss)

### 3.3.2.3. Input motion

Salah satu input data yang dibutuhkan dalam penelitian ini adalah data riwayat waktu percepatan *time-histories* (TH). Sampai saat ini, data riwayat waktu percepatan *strong motion* di batuan dasar khususnya di DKI Jakarta masih sangat sedikit, sehingga pada umumnya dalam analisis tersebut digunakan data TH gempa dari negara lain. Dan dalam SNI 03-1726-2002 direkomendasikan untuk menggunakan 4 buah akselerogram dari 4 gempa yang berbeda dalam menganalisis respons gempa di permukaan, yang salah satunya harus diambil dari data gempa Elcentro N-S (1940). Sedangkan pemakaian data TH yang diambil dari negara atau lokasi lain belum tentu sesuai diterapkan untuk semua lokasi atau kondisi di DKI Jakarta. Mengingat input data *time-histories* (TH) memegang peranan yang sangat penting dalam menganalisis respons gempa di permukaan, maka pemilihan data TH ini harus sesuai dengan kondisi geologi, seismologi dan target parameter pergerakan batuan dasar (*ground motion parameters*), seperti percepatan gempa maksimum, kandungan frekuensi, dan durasi.

Menurut Masyhur Irsyam dkk. Ada dua metode untuk mendapatkan data time histories (USACE, 1999), yaitu: 1) menggunakan data TH yang pernah direkam didekat lokasi studi, dan 2) menggunakan data TH buatan (*artificial time histories*). Kelebihan metoda pertama adalah data yang digunakan dapat dianggap paling representatif untuk lokasi studi karena data tersebut berasal dari gempa alami yang diakibatkan oleh mekanisme gempa dan kondisi geologi di sekitar lokasi studi. Pada pendekatan ini data accelerogram cukup diskalakan dengan suatu faktor koreksi untuk menyesuaikan dengan hasil analisis hazard kegempaan di lokasi studi. Permasalahan yang timbul adalah hampir seluruh kota-kota besar di Indonesia tidak memiliki data TH yang representatif untuk digunakan dalam analisis kegempaan. Sehingga data TH didapatkan dengan menggunakan metoda kedua. Metoda kedua, yaitu menggunakan data TH buatan, dapat dilakukan

dengan menggunakan dua cara, yaitu: 1) memodifikasi data TH yang sudah ada, dan 2) membuat data TH secara sintetik. Cara pertama umumnya dianggap lebih baik daripada cara kedua karena data riwayat percepatan yang dihasilkan akan memiliki karakteristik yang lebih mendekati gempa natural. Dalam studi ini, pembuatan TH dilakukan dengan memodifikasi data TH yang sudah ada sehingga diharapkan dapat merepresentasikan kondisi seismologi dan geologi kota DKI Jakarta.

Secara umum prosedur untuk pembuatan data TH dengan metoda kedua adalah sebagai berikut:

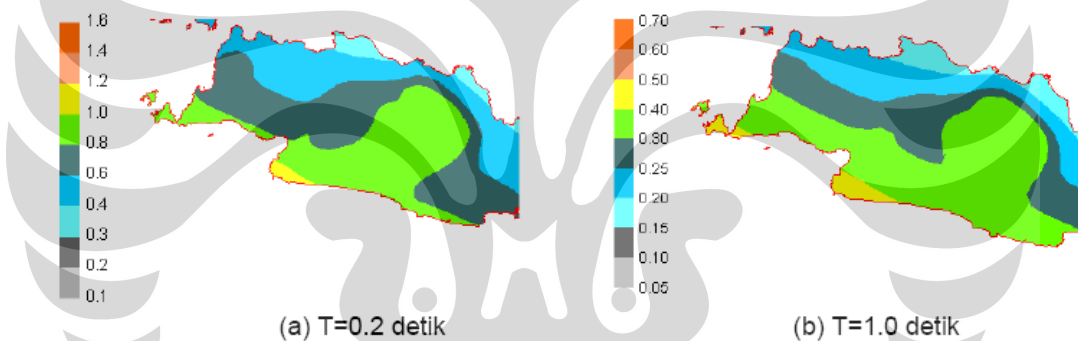
1. Melakukan analisis *seismic hazard* untuk mendapatkan percepatan maksimum dan *response spectra* di batuan dasar untuk suatu periode ulang gempa yang tertentu.
2. Melakukan analisis deagregasi untuk mendapatkan kombinasi magnituda dan jarak (M-R) yang paling mewakili dari suatu sumber gempa untuk periode struktur T=0.2, 1.0, atau 2.0 detik.
3. Mencari data TH dari gempa natural yang memiliki mekanisme, magnituda, dan jarak yang paling mendekati hasil analisis deagregasi.
4. Melakukan analisis *spectral matching*, yaitu memodifikasi data TH dari Tahap 3 agar spektranya mendekati spektra dari hasil analisis *seismic hazard* dalam Tahap 1.

Berdasarkan Analisis resiko gempa untuk Indonesia bagian barat yang meliputi Pulau Sumatera dan Jawa yang telah dibuat oleh Irsyam dkk. (2007 dan 2008), percepatan gempa di batuan dasar (*peak ground acceleration/PGA*) Jakarta adalah sekitar 0.20g atau berada dalam rentang 0.20g-0.25g (Gambar 1). Nilai PGA ini relatif lebih besar dibandingkan nilai PGA dalam SNI 2002. Berdasarkan SNI 2002, Jakarta berada dalam Wilayah 3 dengan PGA sekitar 0.15g. Perbedaan ini salah satunya disebabkan karena model yang digunakan dalam studi ini sudah menggunakan model 3 dimensi yang lebih representatif dibandingkan model 2 dimensi yang digunakan pada saat pembuatan peta SNI 2002 dalam tahun 1998-2002. Selain peta percepatan maksimum di batuan dasar, Irsyam dkk. (2008) juga telah mengusulkan peta spektra percepatan untuk T=0.2 detik dan T=1.0 detik. Hal ini bertujuan untuk menyelaraskan dengan International Building Code 2000

(IBC 2000) yang sudah menggunakan peta spektra percepatan pada kedua periode tersebut dalam penentuan beban seismik. Peta spektra percepatan yang diusulkan oleh Irsyam dkk. (2008) untuk Jakarta dan sekitarnya dapat dilihat dalam Gambar 3.3.



**Gambar 3.2** Perbedaan peta spektra percepatan gempa antara SNI 03-1726-2002 (kiri) dengan usulan Irsyam dkk. (kanan) untuk periode ulang gempa 475 tahunan daerah Jawa Barat



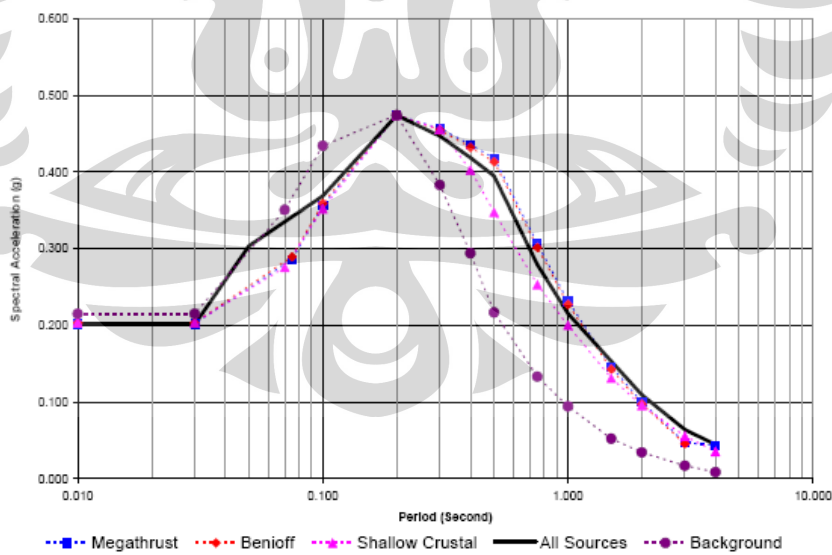
**Gambar 3.3** Peta spektra percepatan untuk daerah Jawa Barat untuk periode ulang gempa 475 tahun (Irsyam dkk, 2008)

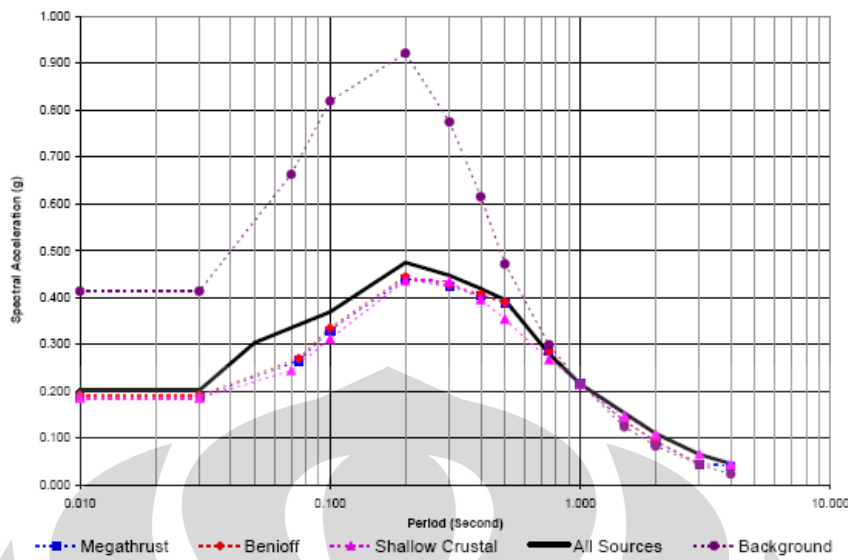
Dalam analisa deagregasi untuk mendapatkan parameter gempa seperti magnitudo dan jarak ( $M-R$ ), maka analisa deagregasi dilakukan untuk  $T=0.2$  detik dan  $T=1.0$  detik guna menghitung magnitudo dan jarak yang paling mewakili dari suatu mekanisme sumber gempa untuk periode ulang 500 tahun. Dua periode tersebut dipilih untuk mewakili nilai spektra percepatan pada periode pendek (*short period*) dan periode panjang (*long period*) karena keduanya direkomendasikan oleh USGS untuk pembuatan kurva respons spektra desain (Algermissen dan Singh, 1988, Dobry dkk., 2000). Hasil deagregasi untuk periode ulang 500 tahun dengan  $T=0.2$  detik dan  $T=1.0$  detik dapat Tabel 3.3.

**Tabel 3.3** Hasil Deagregasi untuk periode ulang gempa 500 tahunan

Zona Sumber Gempa	T = 0.2 detik		T = 1.0 detik	
	M	R (km)	M	R (km)
Benioff	8.2	223	8.2	223
Megathrust	8.3	225	8.3	225
Shallow Crustal	6.7	57	7.2	64
Background	5.9	15	5.9	15

Berdasarkan hasil deagregasi tersebut kemudian dihitung kembali respon spektra di batuan dasar untuk berbagai sumber/ mekanisme gempa dengan menggunakan fungsi atenuasi yang sesuai. Dalam studi ini digunakan fungsi atenuasi Youngs dkk. (1997) untuk mendapatkan respons spektra akibat sumber gempa subduksi dan fungsi atenuasi Sadigh dkk. (1997) untuk sumber gempa *shallow crustal* dan *background*. Hasil respons spektra dari berbagai fungsi tersebut kemudian diskalakan dengan nilai respons spectra gabungan dari hasil analisis *seismic hazard* sebelumnya pada periode T=0.2 detik dan T=1.0 detik, seperti terlihat dalam Gambar 3.4 dan Gambar 3.5. Respons spektra yang sudah diskalakan tersebut dinamakan target spektra.

**Gambar 3.4** Target responses spectra yang diskalakan T = 0.2 detik



**Gambar 3.5** Target respons spectra yang diskalakan  $T = 1.0$  detik

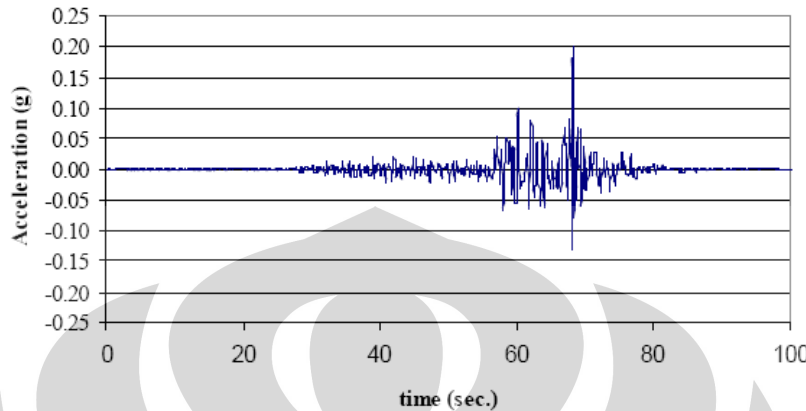
Berdasarkan hasil analisis deagregasi, tiga (3) set *time-histories* dari data gempa natural yang pernah terjadi sebelumnya dipilih untuk merepresentasikan perbedaan mekanisme sumber gempa megathrust, benioff, shallow crustal, dan background. Pemilihan didasarkan atas karakteristik suatu sumber gempa seperti mekanisme, magnitudo, dan jarak yang paling mendekati hasil deagregasi. Time histories yang direkomendasikan dapat dilihat dalam Tabel 3.4.

**Tabel 3.4.** Time Histories yang direkomendasikan

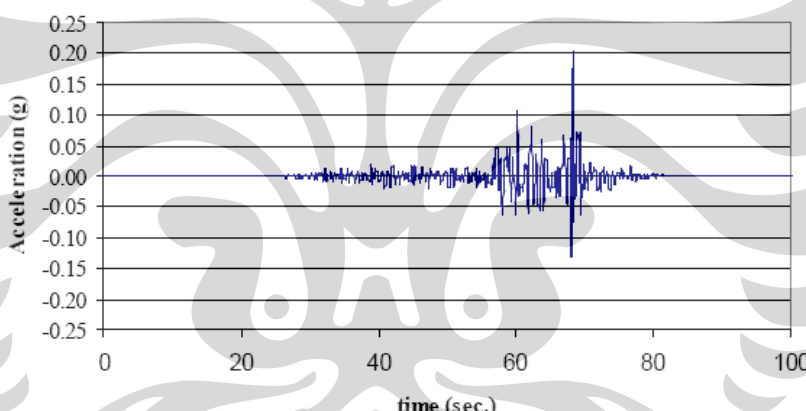
Sumber Gempa	Kejadian	Magnituda	Jarak (km)	Sumber Data
Megathrust zone	Kocaeli, 1999	7.5	227	ERD
Benioff zone				
Background zone	Mammoth Lakes, 1980	5.7	15	CDMG
Shallow crustal	Landers, 1992	7.3	69	CDMG

Data gempa yang dipilih tersebut kemudian dimodifikasi sehingga spektra dari gelombang gempa tersebut mendekati target spektra. Metoda ini dinamakan *spectrum matching analysis* (SMA). Dalam studi ini SMA dilakukan dengan menggunakan bantuan perangkat lunak (*software*) EZ-FRISK™ (Risk Engineering, 2005). Software ini sudah mengadopsi metoda time-dependent spectral matching yang dibuat oleh Norm Abrahamson (Abrahamson, 1998).

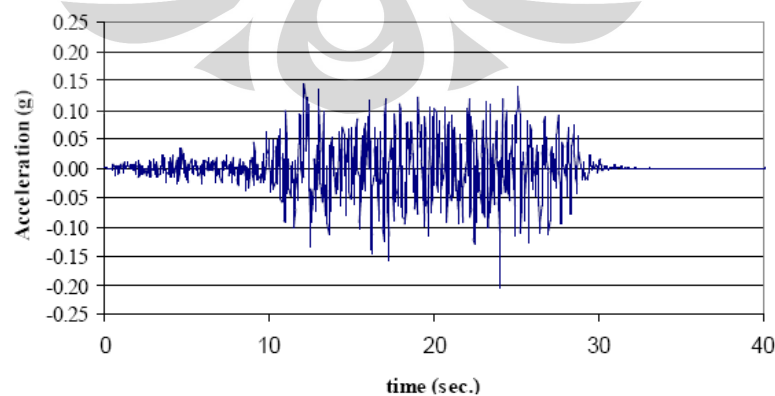
Metoda ini merupakan hasil modifikasi dari riset sebelumnya yang telah dilakukan oleh Lilhanand dan Tseng (1987, 1988). Hasil SMA terhadap setiap sumber gempa dapat dilihat dalam Gambar 3.6 sampai Gambar 3.13.



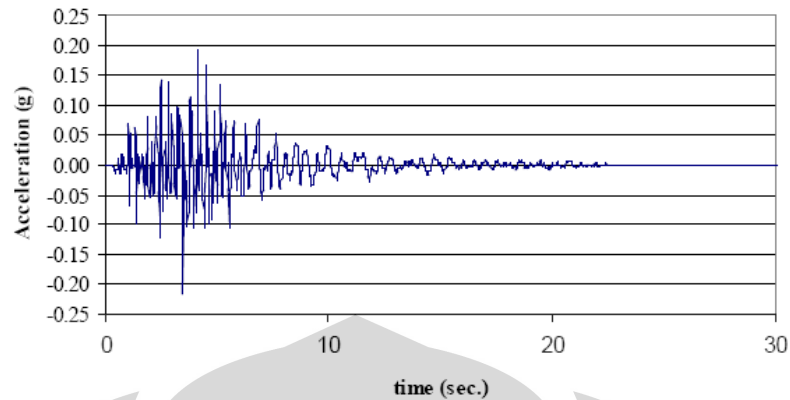
**Gambar 3.6** Time Histories zona sumber gempa megathrust ( $T = 0.2$  detik)



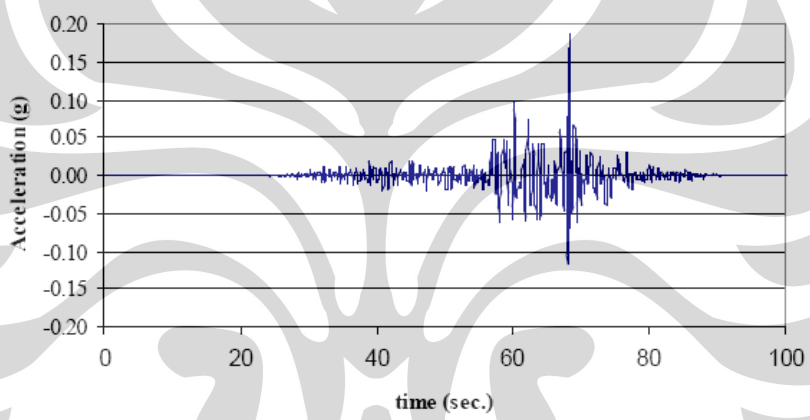
**Gambar 3.7** Time Histories zona sumber gempa benioff ( $T = 0.2$  detik)



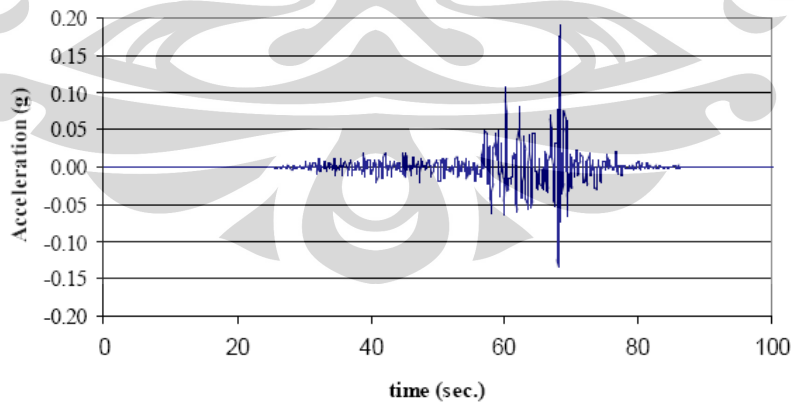
**Gambar 3.8** Time Histories zona sumber gempa shallow crustal ( $T = 0.2$  detik)



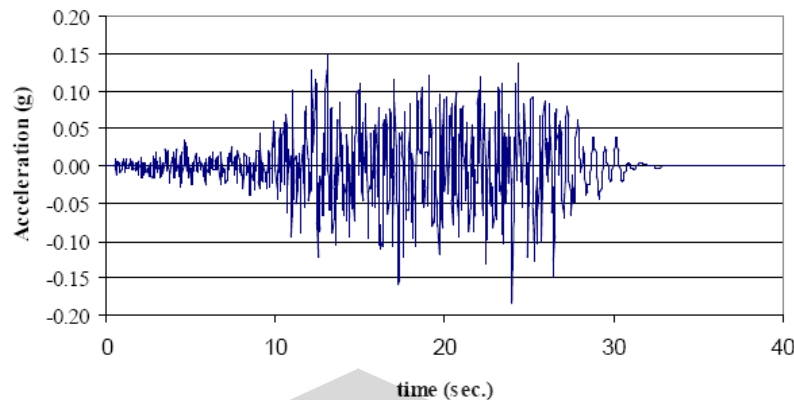
**Gambar 3.9** Time Histories zona sumber gempa background ( $T = 0.2$  detik)



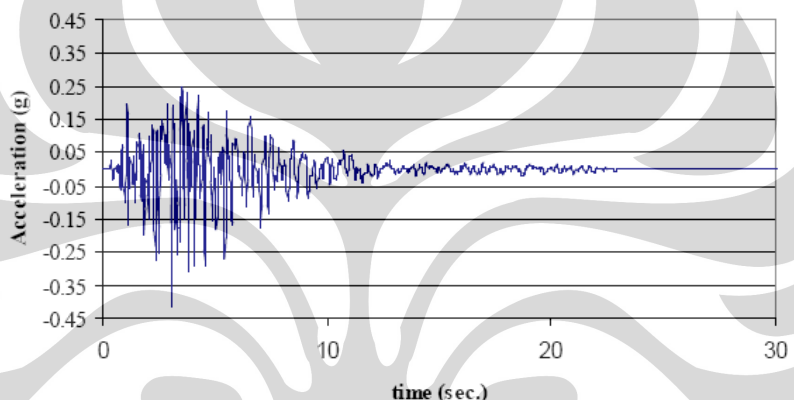
**Gambar 3.10** Time Histories zona sumber gempa megathrust ( $T = 1.0$  detik)



**Gambar 3.11** Time Histories zona sumber gempa benioff ( $T = 1.0$  detik)



**Gambar 3.12** Time Histories zona sumber gempa shallow crustal ( $T = 1.0$  detik)



**Gambar 3.13** Time Histories zona sumber gempa background ( $T = 1.0$  detik)

### 3.3.3. Penggunaan ARC-GIS Dalam Menghasilkan Peta Kegempaan Wilayah

Setelah dilakukan analisis respons gempa dan menghasilkan percepatan muka tanah di daerah Kotamadya Jakarta Barat dan Selatan, digunakan ARC-GIS dalam menghasilkan peta kontur gempa di daerah Kotamadya Jakarta Barat dan Selatan yang menjadi hasil akhir dari penelitian ini. Penggunaan ARC-GIS membutuhkan peta digital dalam format vektor.

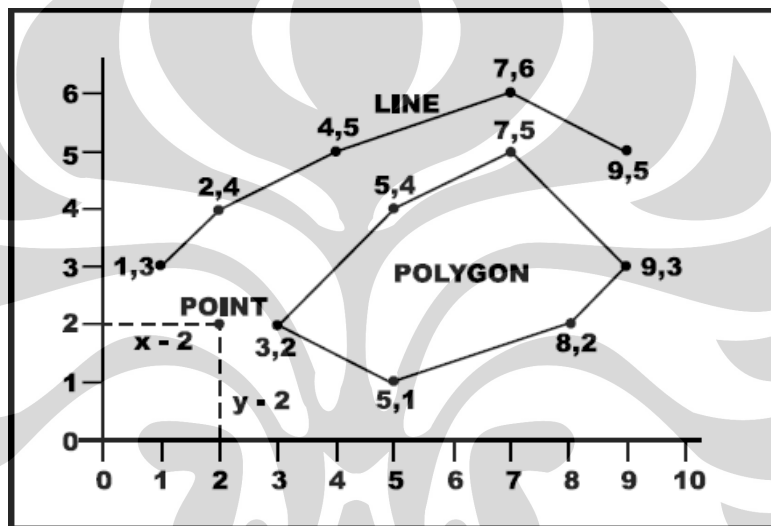
#### 3.3.3.1. Penggunaan Peta Digital

Peta adalah gambaran permukaan bumi pada bidang datar dengan skala tertentu melalui suatu sistem proyeksi. Peta dapat disimpan dalam bentuk konvensional di atas sebuah kertas ataupun dalam bentuk digital. Peta Digital adalah peta rupabumi hasil proyek “Digital Mapping” yang dimulai BAKOSURTANAL pada tahun 1993, yang seluruh tahapan produksinya

menggunakan teknik digital, mulai dari kompilasi foto udara pada alat fotogametri analitis, proses editing dan desain kartografi hingga persiapan separasi warna sebelum dicetak offset. Peta digital itu sendiri terbagi ke dalam dua jenis, peta raster dan peta vektor.

### 1. Vektor

Dalam data format vektor, bumi kita direpresentasikan sebagai suatu mosaik dari garis (arc/line), polygon (daerah yang dibatasi oleh garis yang berawal dan berakhir pada titik yang sama), titik/point (node yang mempunyai label), dan nodes (merupakan titik perpotongan antara dua buah garis).



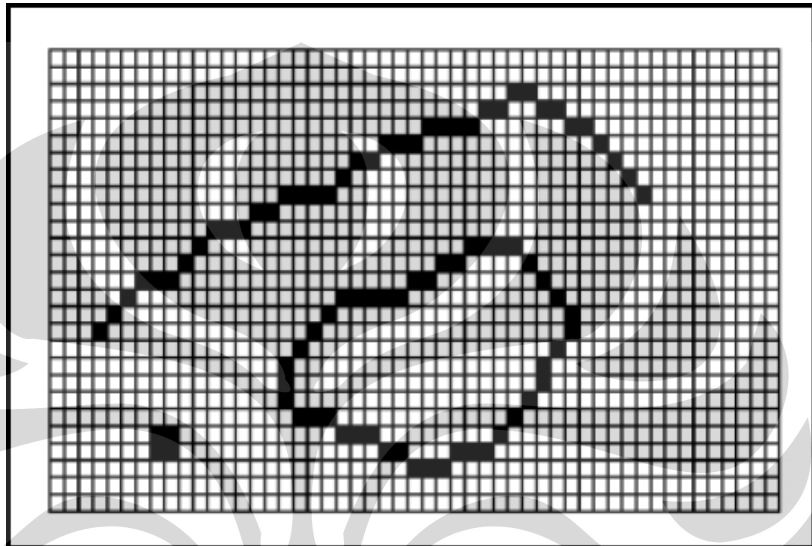
**Gambar 3.14.** Format Vektor

Keuntungan utama dari format data vektor adalah ketepatan dalam merepresentasikan fitur titik, batasan dan garis lurus. Hal ini sangat berguna untuk analisa yang membutuhkan ketepatan posisi, misalnya pada basisdata batas-batas kadaster. Contoh penggunaan lainnya adalah untuk mendefinisikan hubungan spasial dari beberapa fitur. Kelemahan data vektor yang utama adalah ketidakmampuannya dalam mengakomodasi perubahan gradual.

### 2. Raster

Data raster (atau disebut juga dengan sel grid) adalah data yang dihasilkan dari sistem Penginderaan Jauh. Pada data raster, obyek geografis direpresentasikan sebagai struktur sel grid yang disebut dengan pixel (*picture element*). Pada data raster, resolusi (definisi visual) tergantung pada ukuran pixel-nya. Dengan kata lain, resolusi pixel menggambarkan ukuran sebenarnya di

permukaan bumi yang diwakili oleh setiap pixel pada citra. Semakin kecil ukuran permukaan bumi yang direpresentasikan oleh satu sel, semakin tinggi resolusinya. Data raster sangat baik untuk merepresentasikan batas-batas yang berubah secara gradual, seperti jenis tanah, kelembaban tanah, vegetasi, suhu tanah, dsb. Keterbatasan utama dari data raster adalah besarnya ukuran file; semakin tinggi resolusi grid-nya semakin besar pula ukurannya filenya.



**Gambar 3.15.** Format Raster

Masing-masing format data mempunyai kelebihan dan kekurangan. Pemilihan format data yang digunakan sangat tergantung pada tujuan penggunaan, data yang tersedia, volume data yang dihasilkan, ketelitian yang diinginkan, serta kemudahan dalam analisa. Data vektor relatif lebih ekonomis dalam hal ukuran file dan presisi dalam lokasi, tetapi sangat sulit untuk digunakan dalam komputasi matematik. Sebaliknya, data raster biasanya membutuhkan ruang penyimpanan file yang lebih besar dan presisi lokasinya lebih rendah, tetapi lebih mudah digunakan secara matematis.

### 3.3.3.2. Membuat Peta Mikrozonasi Gempa

Peta adalah gambaran suatu wilayah dengan skala tertentu beserta informasi yang terdapat di dalamnya. Seperti yang diketahui kebanyakan orang, peta dapat dilihat dalam bentuk lembaran kertas nyata atau *hard copy*, dan juga dapat dilihat menggunakan bantuan komputer dalam bentuk *soft copy*. Peta *soft copy* inilah yang dimaksud dengan peta digital.

Dalam proses ini, semua data tanah, baik itu data lapangan maupun pengujian laboratorium, dimasukkan atau disimpan sesuai dengan daerah masing-masing dengan menggunakan software ArcGIS. Pada software ini data akan tersimpan sesuai kordinatnya masing-masing. ArcGIS juga menyediakan tampilan yang bermacam-macam sehingga dapat dipilih sesuai dengan kebutuhan. Misalnya hanya menampilkan gambar peta saja, namun ketika di klik pada suatu area pada tempat tersebut maka dapat terlihat data yang tersimpan pada kordinat tersebut. Dapat juga ditampilkan dalam bentuk jejeran potongan borlog yang memperlihatkan *pattern* lapisan tanah seperti sebuah tampang lapisan tanah yang terlihat dari samping. Data tanah yang berupa N-SPT setelah dilakukan *ground response analysis* akan menghasilkan kumpulan data percepatan puncak, yang selanjutnya akan membentuk peta mikrozonasi yang dimaksud.

### 3.3.3.3. Membuat Kontur Gempa

Setelah peta mikrozonasi selesai dibuat, maka selanjutnya dapat dibuat menjadi peta kontur. Peta kontur dibuat dengan menghubungkan daerah-daerah yang memiliki percepatan puncak yang sama dengan sebuah garis. Tidak semua percepatan puncak dihubungkan oleh garis, tetapi hanya beberapa percepatan yang masuk ke dalam interval percepatan puncak yang diinginkan. Setelah semua interval telah tersambung maka didapatkanlah peta kontur gempa yang dapat digunakan untuk mitigasi bencana dalam mendisain suatu bangunan. Dalam pembuatan kontur gempa digunakan tool bantuan SURFER, dengan memasukkan koordinat lokasi penyelidikan dan besar percepatan puncak gempa di permukaan, maka secara otomatis akan terbentuk garis kontur berdasarkan nilai percepatan puncak gempa di muka tanah.

## **BAB IV**

### **PENENTUAN PARAMETER INPUT DATA**

#### **4.1. Pendahuluan**

Pada penelitian ini, pengolahan data untuk mendapatkan percepatan puncak gempa di permukaan menggunakan *tool* utama yaitu SHAKE 2000. Untuk itu diperlukan penentuan parameter tanah, parameter dinamika tanah, dan *input motion* untuk daerah Jakarta sebagai input dari program tersebut. Adapun proses pengolahan data yang dilakukan untuk penelitian ini yaitu pengumpulan data-data tanah untuk dibuatkan *database* tanah, melakukan generalisasi data tanah, menentukan parameter input tanah berdasarkan data *borelog* dan uji laboratorium, menentukan parameter dinamika tanah, dan menentukan parameter *input motion* berdasarkan data riwayat waktu percepatan *time-histories* (TH) gempa di Jakarta yang dibuat oleh Masyhur Irsyam dkk.

#### **4.2. Pengumpulan Data Tanah**

Dalam penelitian ini, informasi data-data yang akan digunakan seperti data penyelidikan tanah yang berbentuk *borelog* dibuatkan database dengan *tool* bantuan yaitu GINT beserta data tanah laboratorium yang kemudian akan dilakukan generalisasi data untuk setiap wilayah proyek tempat penyelidikan tanah. Dari data penyelidikan didapatkan informasi tanah yang akan digunakan menjadi input data tanah, dan data tanah laboratorium yang akan digunakan sebagai penentuan input parameter dinamika tanah, serta data gempa DKI Jakarta yang telah dibuat oleh Masyhur Irsyam dkk sebagai *input motion*.

##### **4.2.1. Pembuatan *Database* Tanah**

Data tanah yang digunakan sebagian besar bersumber dari Laboratorium Mekanika Tanah Teknik Sipil UI dan beberapa diantaranya berasal dari luar Laboratorium Mekanika Tanah Teknik Sipil UI. Data tanah tersebut merupakan data penyelidikan lapangan dari tahun yang berbeda-beda dimulai dari tahun 1988 hingga tahun 2008 dan data bore log tersebut yang dipergunakan dibatasi hanya data bor yang mencapai kedalaman minimal 30 m. Data *borelog* Laboratorium Mekanika Tanah Sipil UI yang dikerjakan sebelum tahun 2004 masih dikerjakan

secara manual sehingga data ini perlu dibuatkan *database* tanah dengan menggunakan *tool* GINT. Cara kerja *software* ini adalah dengan mengubah data-data dalam bentuk *worksheet* pada *software* Microsoft Excel menjadi satu jenis format *borelog*.

Data hasil penyelidikan tanah lapangan yang terkumpul untuk wilayah Jakarta Barat dan Jakarta Selatan berjumlah dua puluh (20) titik yang tersebar di wilayah peninjauan. Adapun rincian kedua puluh titik bor tersebut terdapat pada tabel 4.1.

**Tabel 4.1** Lokasi penyelidikan tanah lapangan

Wilayah Jakarta Barat		Lokasi	Tahun Pemboran	Jumlah Titik Bor
No	Nama			
1	JORR Seksi W1	Daan Mogot	2008	10
2	Sam-Sat Sudin DKI	Daan Mogot	1992	2
3	Stasiun Angke	Jl. Tubagus Angke	2007	1
4	Metro TV Tower	Jl. Raya Joglo	2005	3
Wilayah Jakarta Selatan				
No	Nama	Lokasi	Tahun Pemboran	Jumlah Titik Bor
1	Sucofindo	Pasar Minggu	1990	5
2	Apartemen Kuningan	Jl. Dr. Satrio	1994	5
3	Hotel Clarion	Jl. Dr. Sahardjo	1995	3
4	Bapindo	Jl. Jenderal Sudirman	1988	7
5	Puri Matari III	JL. HR. Rasuna Said	1995	2
6	Kemang Village	Kemang	2007	6
7	Bank Exim	Jl. Gatot Subroto	1989	5
8	Menara Wikaraga	JL. Jenderal S. Parman	1997	5
9	Dep Pertanian	Jl. TB. Simatupang	2007	5
10	Asrama UI	Depok	1999	5
11	Graha Matra	Jl. Ampera Raya	2005	1
12	Robert Susanto Office	Jl. TB. Simatupang	2006	3
13	Gedung DIKTI	Pintu 1 Senayan	2004	5
14	Ratu Prabu 3	Jl. T.B Simatupang	2006	4
15	Plaza Mayestik	Jl. Kyai Maja	2008	3
16	Kantor Blue Bird	Jl. Mampang Prapatan	2005	3

Kedua puluh (20) titik bor tersebut dapat dilihat lebih jelas pada peta dalam gambar 4.1.



Gambar 4.1 Peta lokasi titik bor

#### 4.2.2. Generalisasi Data Tanah

Dari data *borelog* yang terkumpul ini pada satu wilayah penyelidikan tanah lapangan terdapat beberapa titik bor seperti yang terlihat pada informasi pada tabel sebelumnya, maka perlu dilakukan generalisasi pada satu wilayah penyelidikan tanah lapangan sehingga di dapat satu stratifikasi tanah yang merupakan general data di daerah tersebut. Generalisasi dilakukan dengan cara manual dan melakukan beberapa proses rata-rata. Proses generalisasi dilakukan pada beberapa data berikut :

- Stratifikasi tanah

Generalisasi stratifikasi tanah dilakukan pada setiap lapisan tanah. Lapisan-lapisan tanah yang memiliki deskripsi yang sama atau hampir sama digolongkan kedalam satu lapisan. Deskripsi tanah yang

diperhatikan persamaannya yaitu jenis tanah, warna, konsistensi atau kekerasan, dan plastisitas.

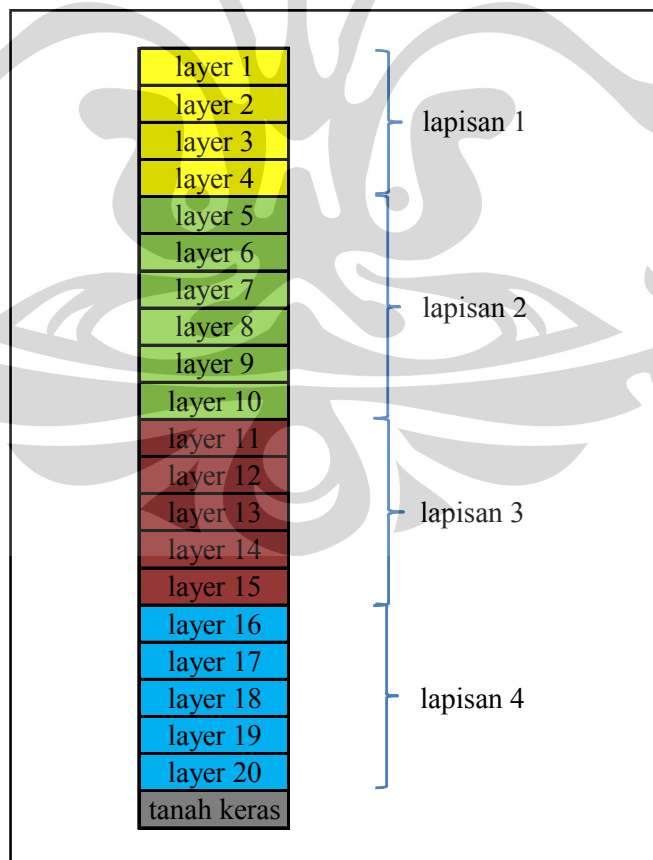
- Elevasi muka air tanah

Untuk generalisasi muka air tanah dilakukan dengan dengan cara proses rata-rata dari beberapa titik bor pada satu lokasi penyelidikan tanah lapangan.

- Nilai SPT

Nilai N-SPT pada borlog biasanya didapatkan untuk setiap interval kedalaman 2 m. Namun elevasi pengujian N-SPT pada setiap interval 2 m tersebut tidaklah sama pada bor yang berbeda. Untuk itu dibuat suatu interval baru yang melingkupi beberapa nilai N-SPT pada elevasi yang berdekatan. Kemudian dilakukan generalisasi nilai N-SPT dengan proses rata-rata pada interval tersebut. Lapisan tanah pada interval baru tersebut disebut layer tanah.

Gambaran hasil generalisasi dapat dilihat pada gambar 4.2, berikut ini :



**Gambar 4.2** Hasil generalisasi data tanah

Dari data *borelog* tanah untuk setiap wilayah penyelidikan, dapat diambil informasi mengenai :

- Lokasi pengeboran
- Tahun pengeboran
- Deskripsi jenis tanah dan plastisitas serta kedalaman lapisannya
- Kedalaman muka air tanah
- Nilai N-SPT
- Kedalaman pengambilan sampel untuk uji laboratorium

Untuk informasi sifat fisik dan mekanik tanah dapat diambil dari uji laboratorium. Informasi yang dibutuhkan dari uji laboratorium adalah nilai *Plasticity Index* (PI) dan *unit weight* ( $\gamma$ ). Dari informasi-informasi tersebut digunakan untuk penentuan parameter input tanah dan parameter dinamika tanah sebagai input dalam SHAKE 2000.

#### **4.3. Penentuan Parameter Input Tanah**

Berdasarkan Informasi yang bisa didapat dari data *borelog* dan uji laboratorium, maka dapat ditentukan parameter tanah yang digunakan sebagai input tanah dalam melakukan *ground response analysis* dengan SHAKE 2000. Adapun input yang dibutuhkan untuk program SHAKE dalam melakukan analisis adalah deskripsi jenis tanah dengan kedalamannya, nilai *unit weight* ( $\gamma$ ), dan elevasi muka air tanah.

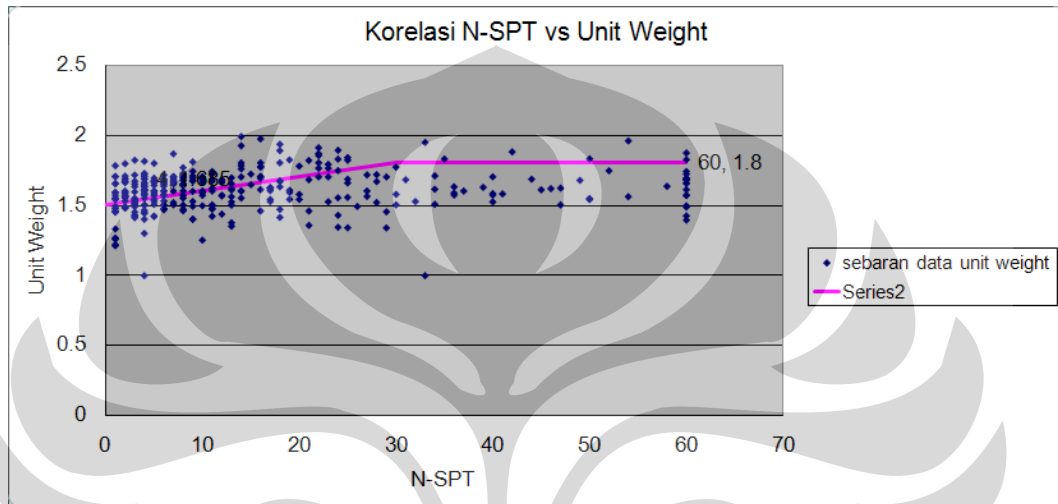
Adapun jenis-jenis tanah yang digunakan sebagai input adalah sebagai berikut:

- Clay
- Silty Clay
- Silt
- Clayey Silt
- Sandy Silt
- Sand
- Silty Sand

Dan untuk nilai *unit weight* ( $\gamma$ ) didasarkan pada nilai yang didapat dari uji laboratorium. Namun karena pengambilan sampel undisturbed untuk uji

laboratorium hanya pada kedalaman tertentu, maka informasi yang tersedia mengenai nilai *unit weight* terbatas. Bahkan pada beberapa laporan data tanah tidak disertai dengan laporan uji laboratorium.

Dalam mengatasi masalah keterbatasan informasi nilai *unit weight*, maka dibuat sebuah grafik hubungan antara nilai *unit weight* ( $\gamma$ ) dengan nilai N-SPT hasil regresi berdasarkan sebaran data yang ada, seperti terlihat pada gambar 4.3.



**Gambar 4.3** Grafik korelasi Unit Weight dan N-SPT

Dengan grafik ini, nilai *unit weight* ( $\gamma$ ) untuk setiap lapisan dapat ditentukan berdasarkan nilai N-SPT yang didapat dari penyelidikan tanah lapangan.

#### 4.4. Penentuan Input Parameter Dinamik Tanah

Untuk input parameter dinamik tanah akan ditentukan dua hal yaitu modulus reduction dan damping curve serta persamaan yang digunakan untuk perhitungan *shear moduli* (Gmax).

##### 4.4.1. Penentuan Modulus Reduction dan Damping Curve

Dalam menentukan *modulus reduction* dan *damping curve* diperlukan nilai *Plasticity index* (PI) untuk setiap jenis tanah. Untuk penentuan *modulus reduction* dan *damping curve* berdasarkan nilai *plasticity index* dan jenis tanahnya, dapat dilihat pada tabel 4.2.

**Tabel 4.2 Klasifikasi Modulus Reduction dan Damping Curve  
bila diketahui nilai PI**

Jenis tanah	Nilai PI	Modulus reduction	Damping curve
Clay, Silt, Clayey Silt, Silty Clay, Sandy Silt, Silty Sand,	0<PI≤22	soil PI = 15 (Vucetic & Dobry, JGE 1/91)	soil PI = 15 (Vucetic & Dobry, JGE 1/91)
	22<PI≤40	soil PI = 30 (Vucetic & Dobry, JGE 1/91)	soil PI = 30 (Vucetic & Dobry, JGE 1/91)
	40<PI≤75	soil PI = 50 (Vucetic & Dobry, JGE 1/91)	soil PI = 50 (Vucetic & Dobry, JGE 1/91)
	75<PI≤100	soil PI = 100 (Vucetic & Dobry, JGE 1/91)	soil PI = 100 (Vucetic & Dobry, JGE 1/91)
Sand	PI = 0	Sand, average (seed & Idriss, 1970)	Sand, average (seed & Idriss, 1970)
Rock	-	Rock G/Gmax - ROCK (Schnabel 1973)	Rock Damping for ROCK (Schnabel 1973)

Nilai *Plasticity index* (PI) untuk setiap jenis tanah yang digunakan sebagai penentuan *modulus reduction* dan *damping curve* juga terbatas sama halnya seperti nilai *unit weight*. Oleh karena itu untuk mengatasi masalah keterbatasan nilai *Plasticity Index* (PI) digunakan asumsi dalam menentukan *modulus reduction* dan *damping curve* pada tabel 4.3.

**Tabel 4.3 Klasifikasi Modulus Reduction dan Damping Curve**

bila tidak diketahui nilai PI

Jenis tanah	Modulus Reduction	Damping Curve
Clay, Silty Clay, Clayey Silt	soil PI = 30 (Vucetic & Dobry, JGE 1/91)	soil PI = 30 (Vucetic & Dobry, JGE 1/91)
Silt	soil PI = 15 (Vucetic & Dobry, JGE 1/91)	soil PI = 15 (Vucetic & Dobry, JGE 1/91)
Sandy Silt, Silty Sand	soil PI = 0 (Vucetic & Dobry, JGE 1/91)	soil PI = 0 (Vucetic & Dobry, JGE 1/91)
Sand	Sand, average (seed & Idriss, 1970)	Sand, average (seed & Idriss, 1970)
Rock	Rock G/Gmax - ROCK (Schnabel 1973)	Rock Damping for ROCK (Schnabel 1973)

Untuk Jenis tanah *Silty Sand* dan *Sandy Silt* yang memiliki data *plasticity index*, menggunakan dua parameter *modulus reduction* dan *damping curve*, hal ini karena beberapa nilai *Plasticity index* jenis tanah *Silty Sand* ataupun *Sandy silt* yang terdapat pada laporan uji laboratorium mempunyai nilai yang sangat besar ( $PI>30$ ). Hal ini, kemungkinan pada saat uji *atteberg limit* kandungan *Sand* tertahan pada saringan No.40 yang akan jadi sampel uji, sehingga nilai *Plasticity index* yang didapat tidak menggambarkan kondisi tanah di lapangan. Jadi, untuk beberapa lokasi yang memiliki lapisan tanah jenis *Silty Sand* ataupun *Sandy Silt* akan memiliki dua hasil percepatan puncak gempa.

#### **4.4.2. Penentuan Shear Moduli (Gmax)**

Selain input data tanah, pada perhitungan puncak gempa di permukaan dengan SHAKE 2000 dibutuhkan nilai modulus geser dinamik ( $G_{max}$ ), dan juga kecepatan rambat gelombang geser ( $vs$ ).

Untuk perhitungan  $G_{max}$  dibutuhkan nilai  $\sigma_m$  (*effective mean principle stress*) dan N-SPT dapat dilihat pada persamaan berikut :

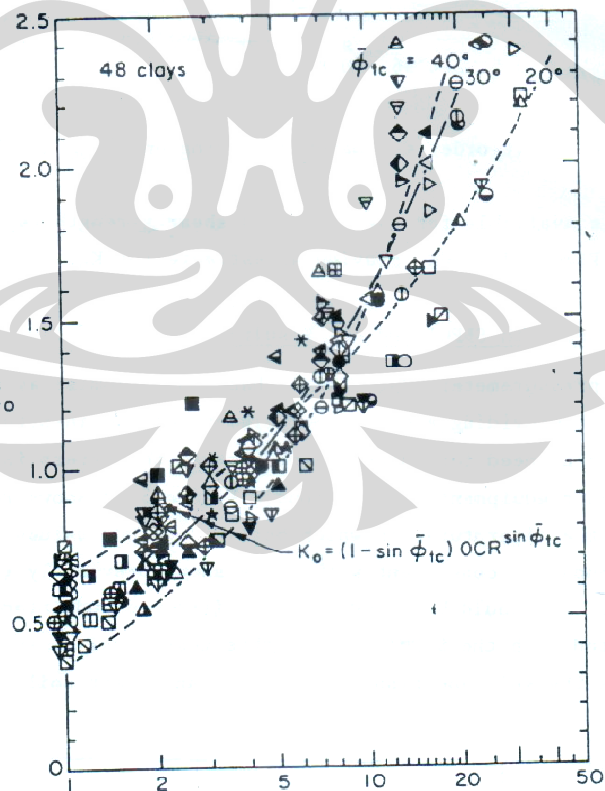
$$G_{max} = 1000 \left( 20(N_{1,60})^{1/3} \right) (\sigma_m)^{1/2} \quad (4.1)$$

Untuk mendapatkan nilai  $\sigma_m$  digunakan persamaan berikut :

$$\sigma_m = \left( \frac{1+2K_0}{3} \right) \sigma' \quad (4.2)$$

$K_0$  adalah koefisien tegangan pada saat diam, nilai ini didapat dengan persamaan berdasarkan korelasi antara *Over Consolidated Ratio* (OCR) dengan nilai  $K_0$ , sebagai berikut :

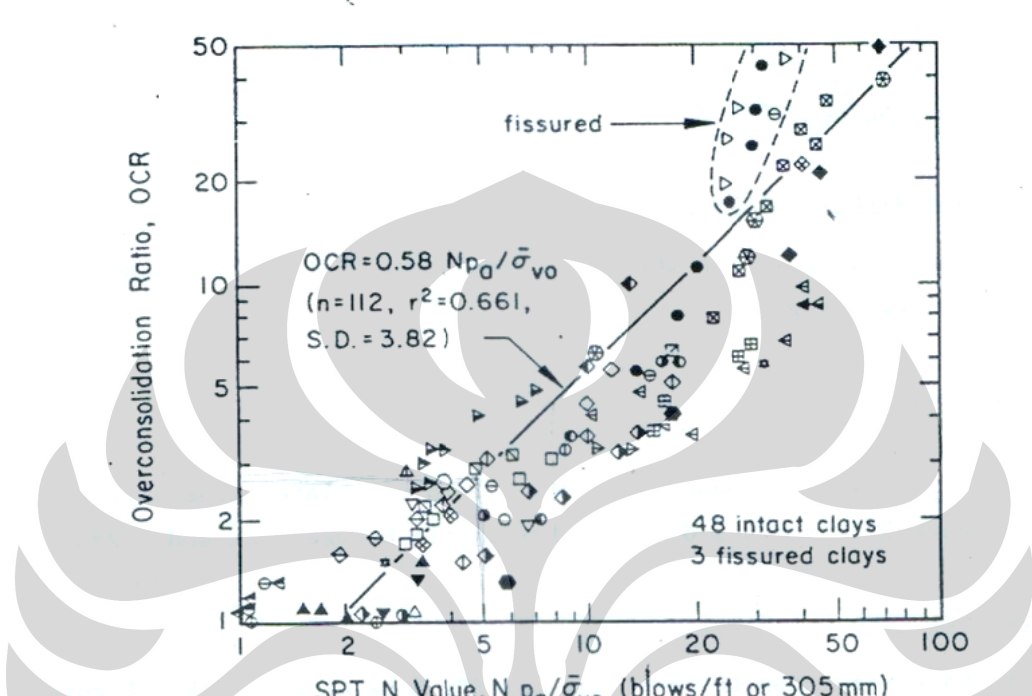
$$K_0 = 0.5 \times (OCR)^{1/2} \quad (4.3)$$



**Gambar 4.4** Korelasi antara  $K_0$  dengan *Over Consolidated Ratio* (OCR)

OCR adalah nilai *Over Consolidated Ratio* yang didapatkan dengan persamaan berdasarkan korelasi antara N-SPT dengan OCR, sebagai berikut :

$$OCR = 0.58 \times N \times (P_a / \sigma v') \quad (4.4)$$



**Gambar 4.5** Korelasi antara nilai N-SPT dengan OCR

dengan nilai tekanan atmosfer (Pa) yang digunakan sebesar 100 Kpa. Untuk mendapatkan nilai tegangan vertikal efektif ( $\sigma v'$ ) dibutuhkan nilai *unit weight* dan elevasi muka air tanah untuk setiap lapisan tanah yang didapat dari uji laboratorium.

Pada input dinamika tanah dibutuhkan juga nilai kecepatan rambat gelombang geser (vs) pada batuan dasar. Oleh karena data tersebut tidak ada pada data penyelidikan lapangan maka digunakan asumsi berdasarkan pada SNI 10-1726-2002 seperti yang tertera pada tabel berikut.

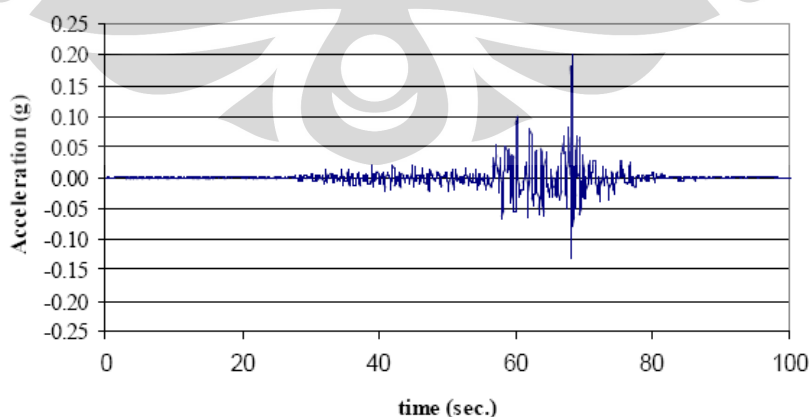
**Tabel 4.4** Jenis-jenis tanah

Jenis tanah	Kecepatan rambat gelombang geser rata-rata, Vs (m/det)	Nilai hasil Test Penetrasi Standar rata-rata N	Kuat geser niralir rata-rata Su (kPa)
Tanah Keras	$V_s \geq 350$	$N \geq 50$	$S_u \geq 100$
Tanah Sedang	$175 \leq V_s < 350$	$15 \leq N < 50$	$50 \leq S_u < 100$
Tanah Lunak	$V_s < 175$ atau, setiap profil dengan tanah lunak yang tebal total lebih dari 3m dengan PI > 20, $w_u \geq 40\%$ dan $S_u < 25$ kPa	$N < 15$	$S_u < 50$
Tanah Khusus	diperlukan evaluasi khusus di setiap lokasi		

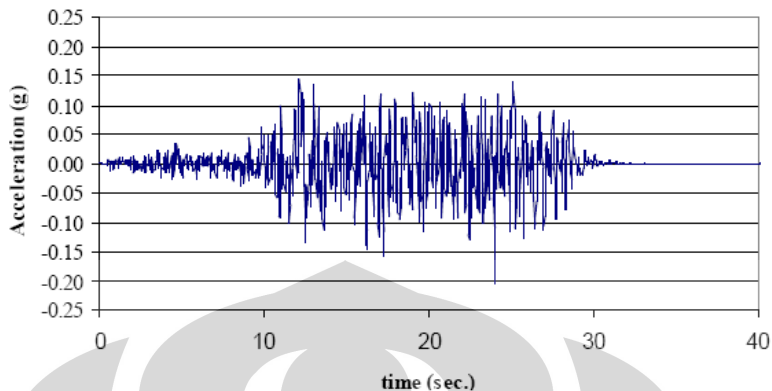
Nilai kecepatan rambat gelombang geser (vs) yang digunakan sebagai asumsi adalah 350 m/s. Pengambilan asumsi ini karena kedalaman titik bor hanya mencapai kedalaman  $\pm 30$  meter, sehingga kecepatan rambat gelombang geser yang digunakan adalah pada tanah keras.

#### 4.5. Penentuan *Input Motion*

Input motion yang digunakan dalam penelitian ini adalah data riwayat waktu percepatan gempa dalam *time-histories* (TH) yang dibuat oleh Masyhur Irsyam dkk dengan periode ulang gempa 500 tahun, yang merupakan data TH buatan. Data TH yang dipakai ada dua (2) buah yaitu *time histories* sumber gempa Megathrust dengan periode 0.2 detik ( $T = 0.2$  detik) dan *time histories* zona sumber gempa Shallow crustal dengan periode 0.2 detik ( $T = 0.2$  detik). Grafik percepatan gempa dengan *time histories* dapat dilihat pada gambar 4.6 dan 4.7.



**Gambar 4.6** *Time histories* zona sumber gempa Megathrust ( $T = 0.2$  detik) dengan periode ulang 500 tahun.



**Gambar 4.7** *Time histories* zona sumber gempa Shallow Crustal ( $T = 0.2$  detik) dengan periode ulang 500 tahun.

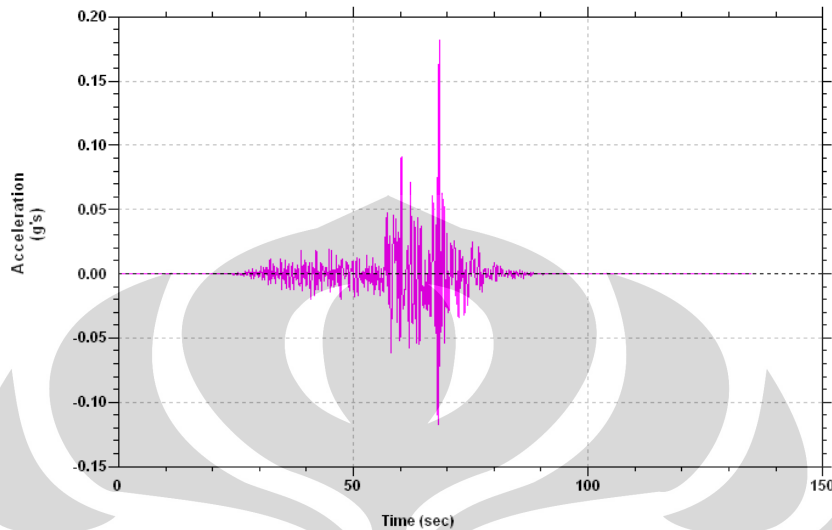
Namun percepatan puncak gempa di batuan dasar yang seharusnya sebesar 0.2 g untuk zona sumber gempa Megathrust ( $T = 0.2$  detik) dan Shallow Crustal ( $T = 0.2$  detik), dipergunakan percepatan puncak gempa sebesar 0.18 g. Angka tersebut didapatkan dengan melakukan skalatis dengan nilai percepatan puncak muka tanah Jakarta yang terletak pada wilayah gempa 3 sesuai dengan SNI 03-1726-2002, seperti yang terlihat pada tabel 4.5.

**Tabel 4.5** Percepatan puncak batuan dasar dan percepatan puncak muka tanah untuk masing-masing Wilayah Gempa Indonesia

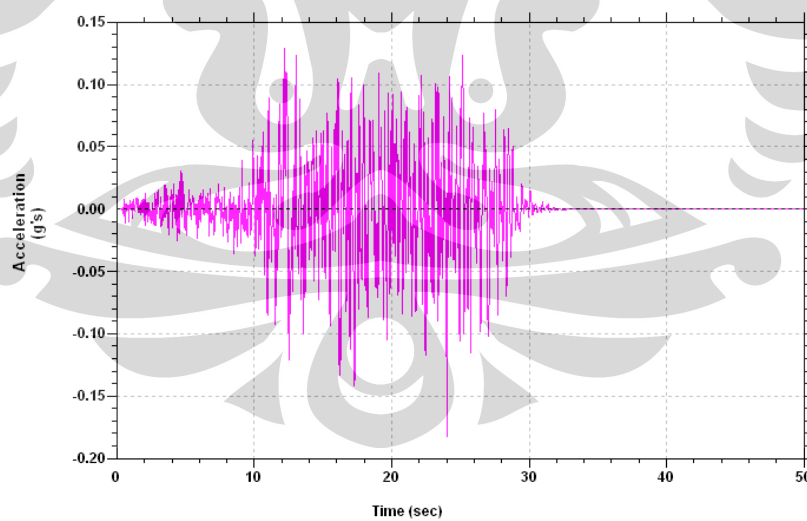
Wilayah Gempa	Percepatan puncak batuan dasar (g)	Percepatan puncak muka tanah $A_0$ (g)			
		Tanah Keras	Tanah Sedang	Tanah Lunak	Tanah Khusus
1	0,03	0,04	0,05	0,08	Diperlukan evaluasi khusus di setiap lokasi
2	0,10	0,12	0,15	0,20	
3	<b>0,15</b>	<b>0,18</b>	<b>0,23</b>	<b>0,30</b>	
4	0,20	0,24	0,28	0,34	
5	0,25	0,28	0,32	0,36	
6	0,30	0,33	0,36	0,38	

Pengambilan percepatan puncak gempa sebesar 0.18 g, didasarkan pada catatan bahwa lapisan batuan dasar (*bedrock*) wilayah DKI Jakarta berada pada kedalaman 200-300 meter di bawah permukaan tanah, dan data penyelidikan lapangan yang tersedia hanya sampai kedalaman  $\pm 30$  meter sehingga asumsi tanah di bawah kedalaman titik bor adalah tanah keras.

Grafik percepatan puncak gempa zona sumber gempa Megathrust dan Shallow Crustal dengan percepatan puncak sebesar 0.18 g dapat dilihat pada gambar 4.8 dan 4.9.



**Gambar 4.8** *Time histories* zona sumber gempa Megathrust dengan percepatan puncak 0.18 g ( $T = 0.2$  detik) dengan periode ulang 500 tahun.



**Gambar 4.9** *Time histories* zona sumber gempa Shallow Crustal dengan percepatan puncak 0.18 g ( $T = 0.2$  detik) dengan periode ulang 500 tahun.

## **BAB V**

### **ANALISIS HASIL PERCEPATAN PUNCAK GEMPA DI PERMUKAAN**

#### **5.1. Pendahuluan**

Secara garis besar, penelitian ini bertujuan untuk melakukan analisis mengenai percepatan gempa yang terjadi di permukaan dengan data gempa dengan periode ulang 500 tahun yang dibuat oleh Masyhur Irsyam dkk, dengan menggunakan *tool* utama SHAKE 2000. Untuk itu digunakan data-data berupa data tanah laboratorium dan data *borelog*, serta data gempa yang telah dikembangkan oleh Masyhur Irsyam dkk, dari data tersebut akan dilakukan proses perhitungan dengan menggunakan *tool* utama SHAKE 2000 dan menghasilkan percepatan gempa di permukaan yang merupakan output dari penelitian ini. Hasil percepatan gempa di permukaan tersebut kemudian di plot ke dalam peta Jakarta dengan *tool* bantuan Arc-GIS dan *tool* bantuan SURFER untuk membuat kontur percepatan gempa di permukaan.

#### **5.2. Proses Pengolahan Data**

Data penyelidikan tanah lapangan yang telah dibuatkan database dengan *tool* bantuan GINT yang terdiri dari beberapa titik untuk satu wilayah penyelidikan dilakukan generalisasi data, sehingga didapatkan satu data *borelog* untuk satu wilayah penyelidikan. Data uji laboratorium juga dilakukan generalisasi. Dari informasi yang didapat dari data penyelidikan tanah lapangan dan uji laboratorium, digunakan untuk input data dan diproses dengan SHAKE 2000 bersama dengan *input motion* yang telah ditentukan sehingga menghasilkan output data berupa percepatan puncak gempa di permukaan.

##### **5.2.1. Input Data**

Data *borelog* dan uji laboratorium yang terdiri dari beberapa titik di setiap wilayah penyelidikan lapangan yang lebih lengkapnya dapat dilihat pada lampiran, dilakukan generalisasi data sehingga menghasilkan satu informasi data tanah yang merupakan general data dari titik-titik tersebut. Hasil generalisasi tersebut dan penggunaannya sebagai input data dapat dilihat pada pembahasan berikut untuk setiap wilayah penyelidikan.

### 5.2.1.1. Jakarta Barat

Untuk wilayah Kotamadya Jakarta Barat terdapat 4 titik wilayah penyelidikan yaitu proyek JORR seksi W1 di wilayah Daan Mogot, Sam-Sat Sudin DKI di wilayah Daan Mogot, Stasiun Angke di wilayah Jl. Tubagus Angke, dan Metro TV Tower di Jl. Raya Joglo.

Untuk informasi titik bor yang didapat pada lokasi Stasiun Angke ini terdiri dari 1 titik dan beberapa data uji laboratorium yang dapat dilihat lebih lengkap pada lampiran. Hasil generalisasi data bor dapat dilihat pada tabel 5.1.

**Tabel 5.1.** Generalisasi data Stasiun Angke

Stasiun Angke		N-SPT rata-rata	$\gamma$ (T/m <sup>3</sup> )	PI
Kedalaman	Jenis tanah			
1 - 17.5	SILTY CLAY	11	1.533	37
17.5 - 21	SAND	60	18	-
21 - 30	SILTY CLAY	23	1.73	-

Dari informasi *Plasticity Index* (PI) ini digunakan untuk menentukan *damping curve* dan *modulus reduction* untuk jenis tanah di atas, dapat dilihat pada tabel 5.2.

**Tabel 5.2 Damping Curve dan Modulus Reduction Stasiun Angke**

Jenis tanah	damping	moduli
SILTY CLAY	Soil with PI=30 (Vucetic & Dobry, JGE 1/91)	Soil with PI=30 (Vucetic & Dobry, JGE 1/91)
SAND	SAND, Average (Seed & Idriss 1970)	SAND, Average (Seed & Idriss 1970)
SILTY CLAY	Soil with PI=30 (Vucetic & Dobry, JGE 1/91)	Soil with PI=30 (Vucetic & Dobry, JGE 1/91)

Untuk input tanah dibuat per layer disesuaikan dengan pengambilan data N-SPT dari penyelidikan tanah lapangan. Input tanah Stasiun Angke dapat dilihat pada tabel 5.3.

**Tabel 5.3** Input tanah Stasiun Angke

Stasiun Angke			mat = 4 m			
Kedalaman	lapisan	Jenis	Tebal (m)	$\gamma$ (KN/m <sup>3</sup> )	N-SPT	Ko
4	1	1	4	15.33	1	0.80
7	2	1	3	15.33	2	0.75
10	3	1	3	15.33	2	0.73
13	4	1	3	15.33	6	1.14
15	5	1	2	15.33	17	1.80
17.5	6	1	2.5	15.33	36	2.47
21	7	2	3.5	18	60	2.53
23	8	3	2	18	31	1.72
27.5	9	3	4.5	17.3	14	1.20
30	10	3	2.5	17.3	23	1.37

Untuk titik penyelidikan yang lain di wilayah Kotamadya Jakarta Barat, generalisasi data, input *damping curve* dan *modulus reduction*, dan input tanah yang digunakan pada proses SHAKE dalam menghasilkan percepatan puncak gempa di permukaan, lebih lengkapnya dapat dilihat pada lampiran.

#### 5.2.1.2. Jakarta Selatan

Untuk wilayah Kotamadya Jakarta Selatan terdapat 16 titik wilayah penyelidikan yaitu proyek Sucofindo di wilayah Pasar Minggu, Apartemen Kuningan di wilayah Jl. Dr. Satrio, Hotel Clarion di wilayah Jl. Dr. Sahardjo, Bapindo di wilayah Jl. Jenderal Sudirman, Puri Matari III di wilayah Jl. H.R. Rasuna Said, Kemang Village di wilayah Kemang, Bank Exim di wilayah Jl. Gatot Subroto, Menara Wikaraga di wilayah Jl. Jenderal S. Parman, Departemen Pertanian di wilayah Jl. T.B. Simatupang, Asrama UI di wilayah Depok, Graha Matra di wilayah Jl. Ampera Raya, Robert Susanto Office di wilayah Jl. T.B. Simatupang, Gedung DIKTI di wilayah Pintu 1 Senayan, Ratu Prabu 3 di wilayah Jl. T.B. Simatupang, Plaza Mayestik di wilayah Jl. Kyai Maja, Kantor Blue Bird di wilayah Jl. Mampang Prapatan Raya.

Informasi titik bor yang didapat untuk lokasi Apartemen Kuningan ini terdiri dari 5 titik dan beberapa data uji laboratorium yang dapat dilihat lebih lengkap pada lampiran. Dari informasi tersebut dilakukan generalisasi data sehingga didapatkan hasil untuk input data yang dapat dilihat pada tabel 5.4.

**Tabel 5.4** Generalisasi data Apartemen Kuningan

Apartemen Kuningan Mall				
Kedalaman	jenis tanah	N-SPT	$\gamma$ (T/M3)	PI
0 - 23	CLAYEY SILT	14	1.56	33
23 - 29.5	SILT	43	1.488	22
29.5 - 40.5	CLAYEY SILT	37	1.577	29
40.5 - 60	CLAYEY SILT	36	1.808	29

Dari informasi *Plasticity Index* (PI) ini digunakan untuk menentukan *damping curve* dan *modulus reduction* untuk jenis tanah di atas, dapat dilihat pada tabel 5.5.

**Tabel 5.5** Damping Curve dan Modulus Reduction Apartemen Kuningan

jenis tanah	PI	damping	moduli
CLAYEY SILT	33	Soil with PI=30 (Vucetic & Dobry, JGE 1/91)	Soil with PI=30 (Vucetic & Dobry, JGE 1/91)
SILT	22	Soil with PI=15 (Vucetic & Dobry, JGE 1/91)	Soil with PI=15 (Vucetic & Dobry, JGE 1/91)
CLAYEY SILT	29	Soil with PI=30 (Vucetic & Dobry, JGE 1/91)	Soil with PI=30 (Vucetic & Dobry, JGE 1/91)
CLAYEY SILT	29	Soil with PI=30 (Vucetic & Dobry, JGE 1/91)	Soil with PI=30 (Vucetic & Dobry, JGE 1/91)

Pada beberapa titik penyelidikan yang lainnya seperti Bapindo, Menara Wikaraga, Ratu Prabu 3, dan Kantor Blue Bird digunakan dua input *damping curve* dan *modulus reduction*, sehingga pada wilayah penyelidikan tersebut menghasilkan dua nilai percepatan puncak gempa di permukaan untuk setiap *input motion*. Penggunaan dua input *damping curve* dan *modulus reduction* ini dikarenakan terdapat jenis tanah *Silty Sand* atau *Sandy Silt* yang mempunyai nilai *Plasticity Index* sehingga harus digunakan satu parameter lagi yaitu dengan asumsi nilai PI = 0 seperti yang telah diterangkan pada subbab penentuan *damping curve* dan *modulus reduction*.

Untuk input tanah dibuat per layer disesuaikan dengan pengambilan data N-SPT dari penyelidikan tanah lapangan. Input tanah Apartemen Kuningan dapat dilihat pada 5.6.

**Tabel 5.6** Input tanah Apartemen Kuningan

Apartemen Kuningan			mat = 10.15 m			
Kedalaman	Lapisan	Jenis	Tebal (m)	$\gamma$ (KN/m <sup>3</sup> )	N-SPT	Ko
2.5	1	1	2.5	15.6	4	1.95
4.5	2	1	2	15.6	6	1.49
6.5	3	1	2	15.6	3	0.83
8	4	1	1.5	15.6	6	0.97
10	5	1	2	15.6	6	0.89
12.25	6	1	2.25	15.6	6	0.86
13.75	7	1	1.5	15.6	7	0.85
15.25	8	1	1.5	15.6	19	1.42
16.5	9	1	1.25	15.6	29	1.73
17.25	10	1	0.75	15.6	28	1.68
18.25	11	1	1	15.6	20	1.38
19.5	12	1	1.25	15.6	35	1.82
20.5	13	1	1	15.6	25	1.51
21.75	14	1	1.25	15.6	36	1.80
23	15	2	1.25	14.88	43	1.99
24	16	2	1	14.88	25	1.51
24.75	17	2	0.75	14.88	20	1.33
25.25	18	2	0.5	14.88	45	1.98
25.75	19	2	0.5	14.88	16	1.18
26.25	20	2	0.5	14.88	18	1.24
26.75	21	2	0.5	14.88	60	2.25
27.25	22	2	0.5	14.88	36	1.72
27.75	23	2	0.5	14.88	30	1.58
28.25	24	2	0.5	14.88	27	1.47
28.75	25	2	0.5	14.88	60	2.21
29.5	26	2	0.75	14.88	60	2.19
29.75	27	3	0.25	15.77	37	1.62
30	28	3	0.25	15.77	60	2.07

Untuk titik penyelidikan yang lain, generalisasi data, input *damping curve* dan *modulus reduction*, dan input tanah yang digunakan pada proses SHAKE dalam menghasilkan percepatan puncak gempa di permukaan lebih lengkapnya dapat dilihat pada lampiran.

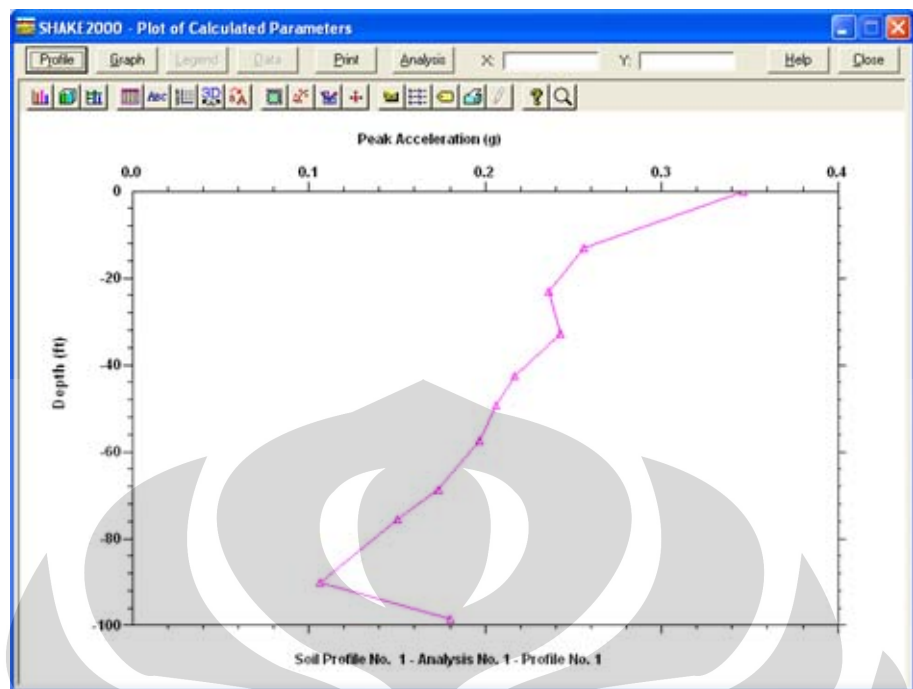
### 5.2.2. Output data

Input data tanah bersama dengan input motion diproses dengan SHAKE 2000 akan menghasilkan nilai percepatan gempa di permukaan. *Input motion* yang digunakan pada penelitian ini dengan periode ulang 500 tahun dan menggunakan dua buah *input motion* yaitu sumber gempa Megathrust dengan periode gempa 0.2 detik dan sumber gempa Shallow Crustal dengan periode gempa 0.2 detik. Karena menggunakan dua buah *input motion* maka didapatkan pula dua hasil percepatan gempa di permukaan untuk setiap titik wilayah penyelidikan. Dan dikarenakan beberapa titik wilayah penyelidikan ada yang menggunakan dua parameter *modulus reduction* dan *damping curve*, maka untuk titik tersebut didapatkan dua hasil percepatan gempa untuk setiap *input motion*.

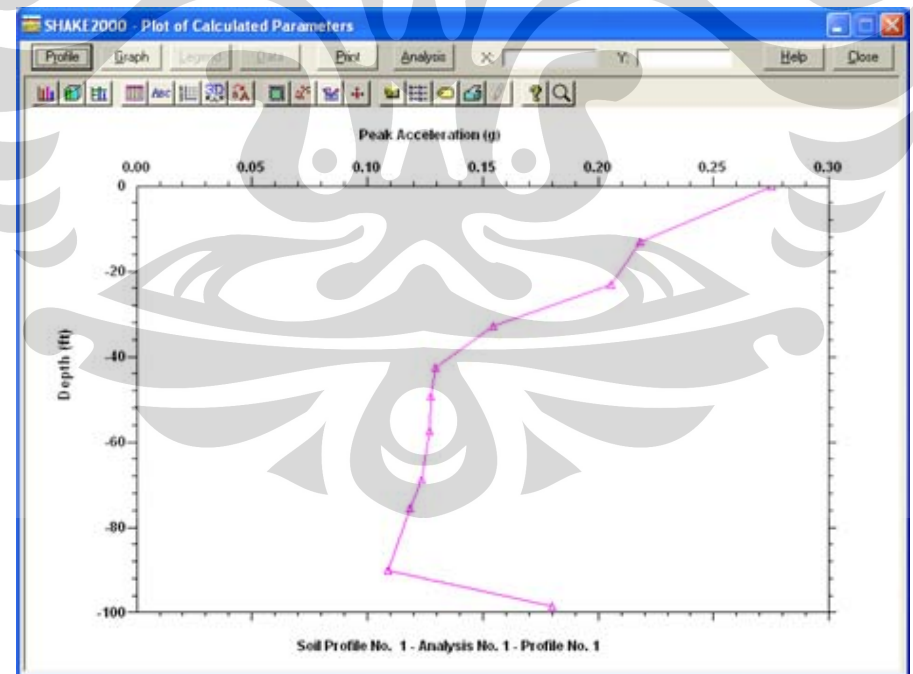
#### 5.2.2.1. Jakarta Barat

Hasil percepatan gempa di permukaan untuk wilayah Jakarta Barat pada empat (4) titik wilayah penyelidikan didapatkan hasil sebagai berikut.

Pada wilayah penyelidikan Stasiun Angke didapatkan hasil percepatan puncak gempa sebesar 0.35 g untuk *input motion* sumber gempa Megathrust, sedangkan untuk *input motion* sumber gempa Shallow Crustal didapatkan nilai percepatan puncak gempa di permukaan sebesar 0.28 g. Hasil ini dapat dilihat pada gambar 5.1 untuk *input motion* sumber gempa Megathrust dan gambar 5.2 untuk *input motion* sumber gempa Shallow Crustal.



**Gambar 5.1** Percepatan gempa di setiap lapisan tanah untuk sumber gempa Megathrust lokasi Stasiun Angke



**Gambar 5.2** Percepatan gempa di setiap lapisan tanah untuk sumber gempa Shallow Crustal lokasi Stasiun Angke

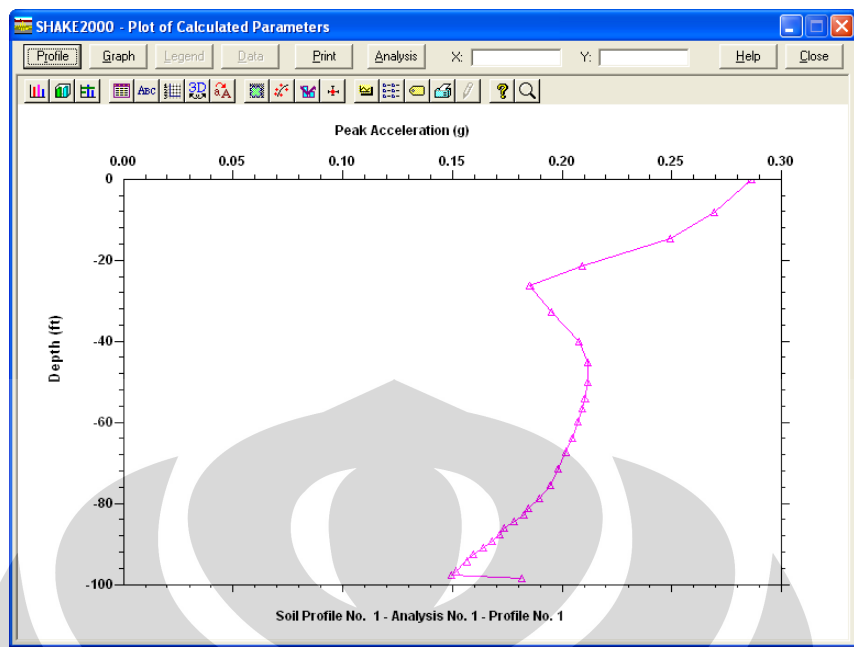
Hasil percepatan puncak gempa di permukaan yang didapat pada lokasi Stasiun Angke ini adalah yang terbesar di wilayah Kotamadya Jakarta Barat.

Untuk wilayah lain seperti JORR Daan Mogot, Sam-Sat Sudin DKI dan Metro TV dengan sumber gempa Megathrust mempunyai nilai percepatan puncak gempa di permukaan yang berkisar antara 0.22 – 0.26 g, sedangkan untuk sumber gempa Shallow Crustal berkisar antar 0.21 – 0.25 g. Untuk lebih jelasnya percepatan puncak gempa di setiap lapisan untuk setiap titik penyelidikan dapat dilihat pada lampiran. Pada penyelidikan percepatan puncak gempa di permukaan di wilayah Kotamadya Jakarta Barat dengan sumber gempa Megathrust menghasilkan percepatan puncak gempa di permukaan yang lebih besar dibandingkan dengan sumber gempa Shallow Crustal.

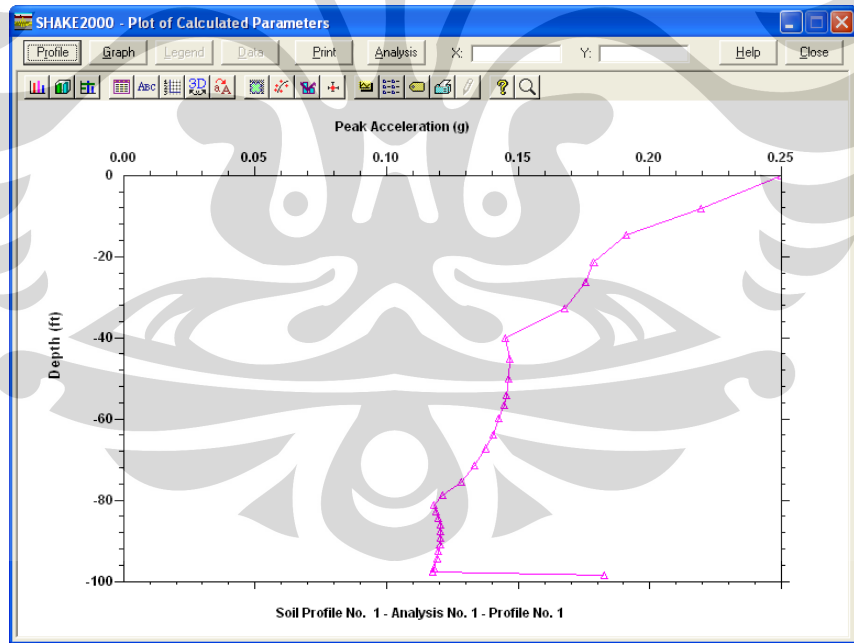
#### **5.2.2.2. Jakarta Selatan**

Hasil percepatan gempa di permukaan untuk wilayah Jakarta Selatan pada enam belas (16) titik wilayah penyelidikan didapatkan hasil sebagai berikut.

Untuk wilayah Kotamadya Jakarta Selatan nilai percepatan puncak gempa di permukaan yang terbesar berada di lokasi Apartemen Kuningan. Pada lokasi penyelidikan Apartemen Kuningan didapatkan hasil percepatan puncak gempa sebesar 0.29 g untuk *input motion* sumber gempa Megathrust, sedangkan untuk *input motion* sumber gempa Shallow Crustal didapatkan nilai percepatan puncak gempa di permukaan sebesar 0.25 g. Hasil ini dapat dilihat pada gambar 5.3 untuk *input motion* sumber gempa Megathrust dan gambar 5.4 untuk *input motion* sumber gempa Shallow Crustal.



**Gambar 5.3** Percepatan gempa di setiap lapisan tanah untuk sumber gempa Megathrust lokasi Apartemen Kuningan



**Gambar 5.4** Percepatan gempa di setiap lapisan tanah untuk sumber gempa Shallow Crustal lokasi Apartemen Kuningan

Sedangkan pada titik lokasi penyelidikan lain di wilayah Kotamadya Jakarta Selatan mempunyai nilai percepatan puncak gempa di permukaan dengan sumber gempa Megathrust berkisar antara 0.2 – 0.28 g, dan untuk sumber gempa

Shallow Crustal berkisar antara 0.19 – 0.24 g. Untuk lebih jelasnya percepatan puncak gempa di setiap lapisan untuk setiap titik penyelidikan dapat dilihat pada lampiran. Pada penyelidikan percepatan puncak gempa di permukaan di wilayah Jakarta Selatan dengan sumber gempa Megathrust tidak selalu lebih besar dibandingkan dengan sumber gempa Shallow Crustal kasus ini terjadi pada wilayah Bapindo, Kemang Village, dan Graha Matra yang lebih jelasnya dapat dilihat pada lampiran.

### 5.2.3. Kesimpulan

Dari hasil percepatan puncak gempa di permukaan wilayah Jakarta Barat dan Jakarta Selatan dapat diperlihatkan dalam tabel 5.7.

**Tabel 5.7** Hasil Percepatan Puncak Gempa di Permukaan Wilayah

#### Jakarta Barat dan Selatan

nama & lokasi			percepatan gempa di permukaan (satuan g)			
			Megathrust		Shallowcrustal	
Jakarta Barat	JORR	Daan mogot	run 1	run 2	run 1	run 2
	SAM-SAT SUDIN	Daan Mogot Km 12	0.25		0.23	
	Stasiun Angke	Jl Tubagus Angke	0.35		0.28	
	Metro TV Tower	Jl Raya Joglo	0.22		0.21	
	RS Graha Kedoya	Jl Panjang Kedoya	0.25		0.21	
Jakarta Selatan	Sucofindo	Pasar Minggu	0.23		0.2	
	Apartemen Kuningan	Jl. Dr. Satrio	0.29		0.25	
	Hotel Clarion	Jl. Dr. Sahardjo	0.27		0.24	
	Bapindo	Jl. Jenderal Sudirman	0.23	0.22	0.24	0.23
	Puri Matari III	JL. HR. Rasuna Said	0.28		0.23	
	Kemang Village	Kemang	0.22		0.22	
	Bank Exim	Jl. Gatot Subroto	0.2		0.19	
	Menara Wikaraga	JL. Jenderal S. Parman	0.27	0.25	0.23	0.25
	Dep Pertanian	Jl. TB. Simatupang	0.23		0.22	
	Asrama UI	Depok	0.24		0.22	
	Graha Matra	Jl. Ampera Raya	0.23		0.23	
	Robert Susanto Office	Jl. TB. Simatupang	0.28		0.23	
	Gedung DIKTI	Pintu 1 Senayan	0.26		0.22	
	Ratu Prabu 3	Jl TB Simatupang	0.27	0.25	0.23	0.22
	Kantor Blue Bird	Jl Mampang Prapatan	0.26	0.21	0.23	0.2
	Plaza Mayestik	Jl. Kyai Maja	0.23		0.22	

Dari hasil ini dapat diambil kesimpulan bahwa sebagian besar nilai percepatan puncak gempa di permukaan untuk sumber gempa Megathrust lebih besar dibandingkan dengan sumber gempa Shallow Crustal. Hal ini disebabkan

karena besar percepatan gempa di permukaan tergantung kepada frekuensi alami tanah dan frekuensi puncak sumber gempa. Jika amplitudo maksimum gelombang gempa terjadi pada frekuensi yang sama atau hampir sama dengan amplitude maksimum frekuensi alami dari tanah maka dapat terjadi amplifikasi. Adapun amplitude puncak dari sumber gempa Megathrust terdapat pada frekuensi sekitar 1.53Hz sedangkan untuk sumber gempa Shallow Crustal terdapat pada frekuensi sekitar 3.23 Hz. Dan untuk frekuensi pada amplitude puncak untuk frekuensi alami tanah dapat dilihat pada tabel 5.8.

Hasil percepatan puncak gempa di permukaan untuk daerah Bapindo, Menara Wikaraga, Ratu Prabu 3, dan Kantor Blue Bird diambil hanya salah satu untuk setiap sumber gempa yaitu nilai yang terbesar. Hal ini dikarenakan untuk keperluan mendesain bangunan tinggi tahan gempa akan digunakan nilai percepatan puncak gempa di permukaan yang paling besar.

**Tabel 5.8** Frekuensi dari amplitude max frekuensi alami tanah

No.	Lokasi	amplification ratio max	frekuensi (Hz)
1	Stasiun Angke	10.72	2.13
2	JORR	11.01	2.13
3	SAM-SAT SUDIN	9.72	2.13
4	Sucofindo	9.90	2.88
5	Apartemen Kuningan	11.58	2.50
6	Hotel Clarion	8.95	2.25
7	Bapindo	12.66	2.75
8	Puri Matari III	7.89	2.13
9	Kemang Village	18.99	3.25
10	Bank Exim	4.50	1.75
11	Menara Wikaraga	15.33	2.88
12	Dep Pertanian	7.97	2.75
13	Asrama UI	9.10	2.63
14	Graha Matra	6.08	2.00
15	Robert Susanto Office	10.35	2.63
16	Gedung DIKTI	7.98	2.63
17	Metro TV	9.05	2.38
18	Ratu Prabu	16.28	2.75
19	Plaza Mayestik	9.86	2.75
20	Kantor Blue Bird	8.78	2.25

### 5.3. Peta Mikrozonasi Gempa DKI Jakarta

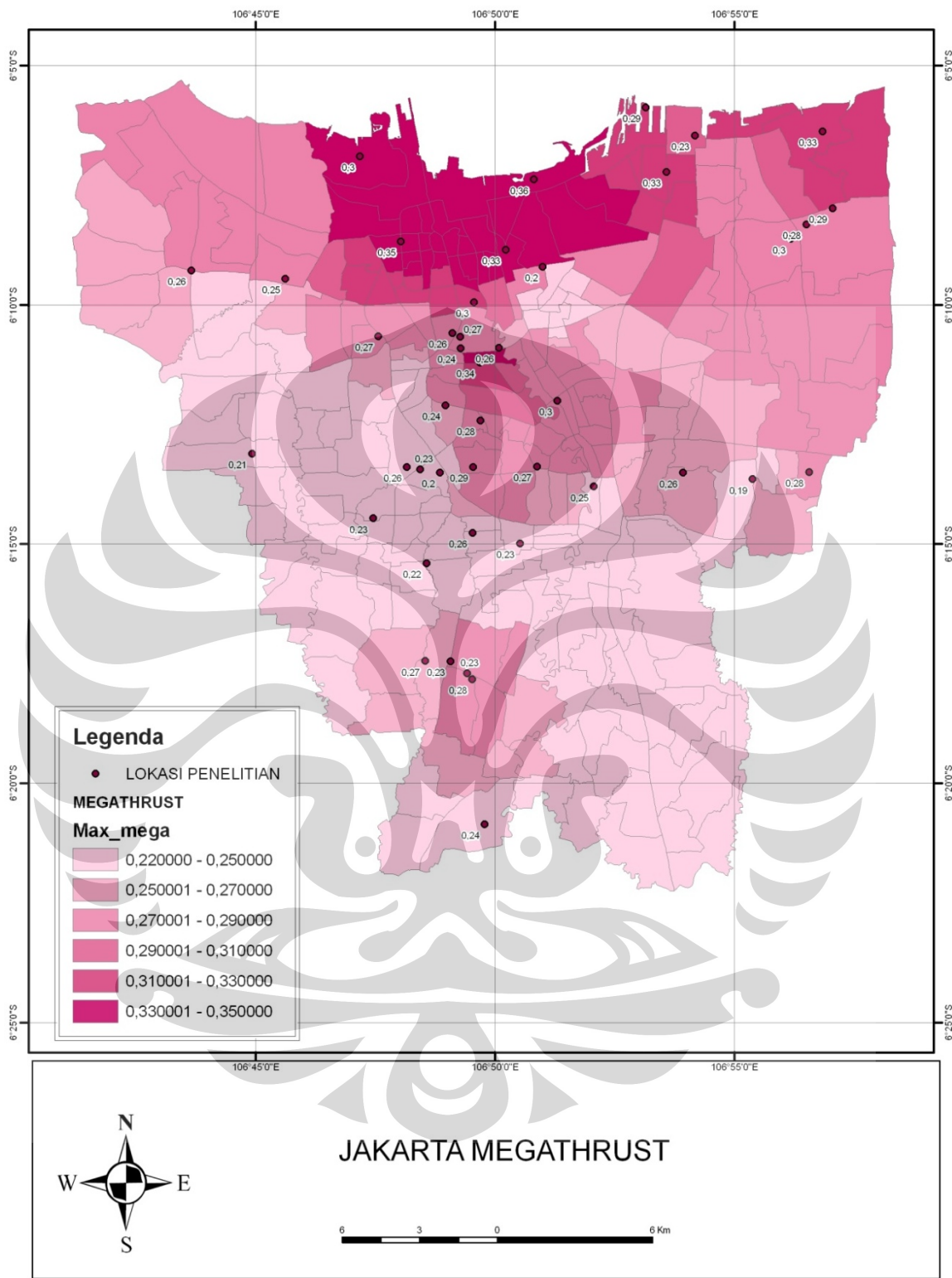
Dari hasil percepatan puncak gempa di permukaan yang didapat di daerah Jakarta Barat dan Selatan dan digabungkan dengan percepatan puncak gempa di permukaan yang didapat oleh peneliti lain di wilayah Jakarta Utara, Jakarta Pusat, dan Jakarta Timur, maka dapat di plot ke dalam peta Jakarta sesuai dengan kordinat titik penyelidikan (tabel 5.9) dengan *tool* bantuan ARC-GIS dan dengan *tool* bantuan SURFER dibuat sebuah kontur percepatan puncak gempa di permukaan. Kontur tersebut kemudian digunakan kembali sebagai layer pada ARC-GIS. Hasil dari peta kontur gempa DKI Jakarta dapat dilihat pada gambar 5.6 untuk sumber gempa Megathrust dan gambar 5.8 untuk sumber gempa Shallow Crustal.

Nilai percepatan puncak gempa di permukaan untuk sumber gempa Megathrust paling besar dengan nilai antara 0.33-0.35 g berada di sebagian besar wilayah Jakarta Utara dan beberapa daerah di wilayah Jakarta Pusat. Untuk wilayah Jakarta Selatan sebagian besar percepatan puncak gempa di permukaan berkisar antara 0.22-0.29 g. Untuk wilayah Jakarta Timur 0.27-0.29 g, hanya bagian utaranya yang berkisar antara 0.29-0.32 g. Untuk wilayah Jakarta Barat berkisar antara 0.22-0.25 g, dan bagian utaranya lebih besar berkisar antara 0.25-0.29 g.

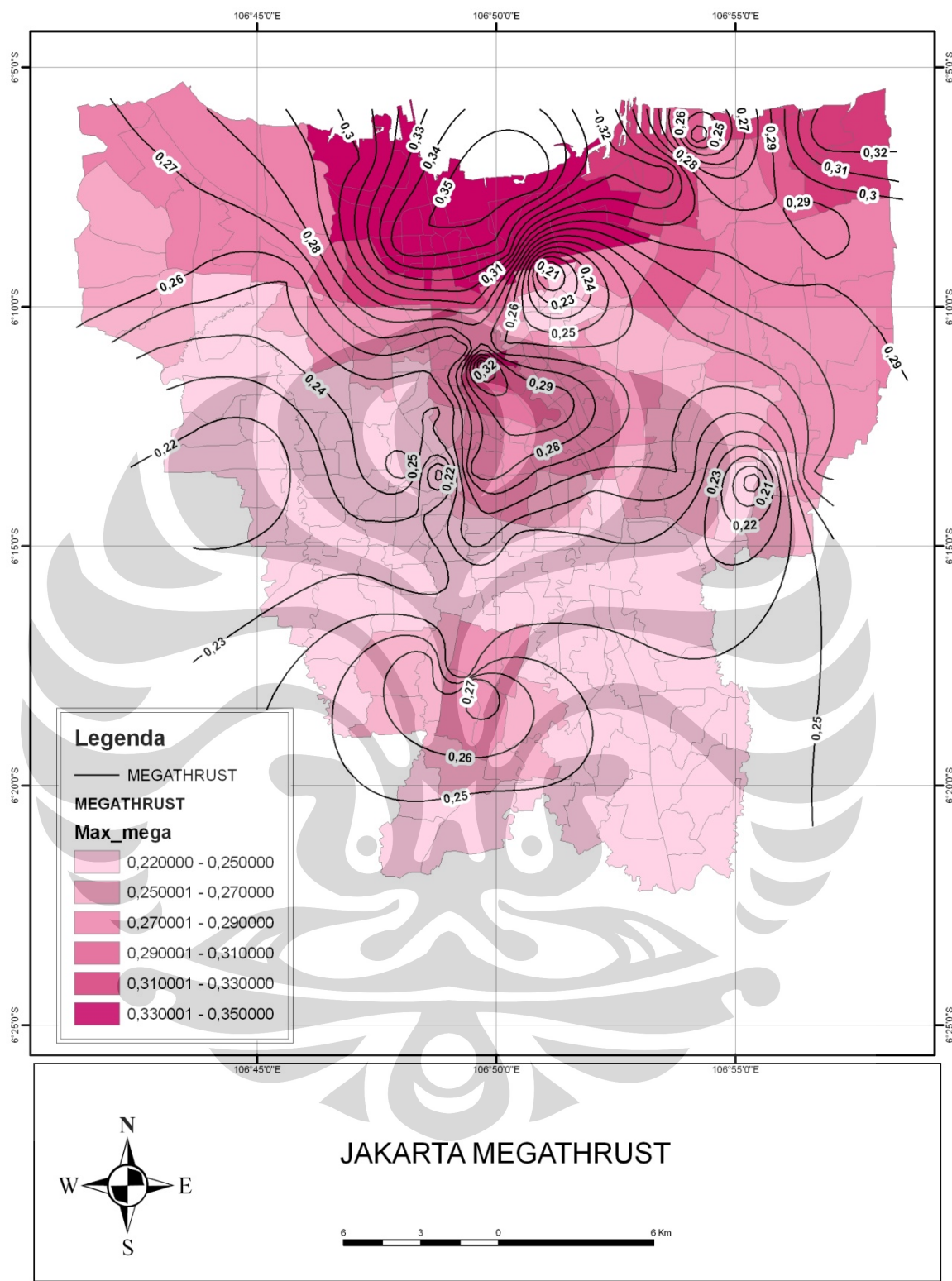
Nilai percepatan puncak gempa di permukaan untuk sumber gempa Shallow Crustal paling besar dengan nilai antara 0.275-0.29 g berada di sebagian besar wilayah Jakarta Utara dan beberapa wilayah Jakarta Timur bagian utara. Untuk wilayah Jakarta Selatan sebagian besar percepatan puncak gempa di permukaan berkisar antara 0.205-0.23 g. Untuk wilayah Jakarta Barat 0.205-0.26 g dan bagian utaranya berkisar antar 0.26-0.275 g. Untuk wilayah Jakarta Pusat sebagian besar daerah berkisar antara 0.23-0.245 g, hanya sebagian kecil di bagian pusat wilayahnya yang berkisar anta 0.26-0.29 g.

**Tabel 5.9** Titik kordinat lokasi penyelidikan

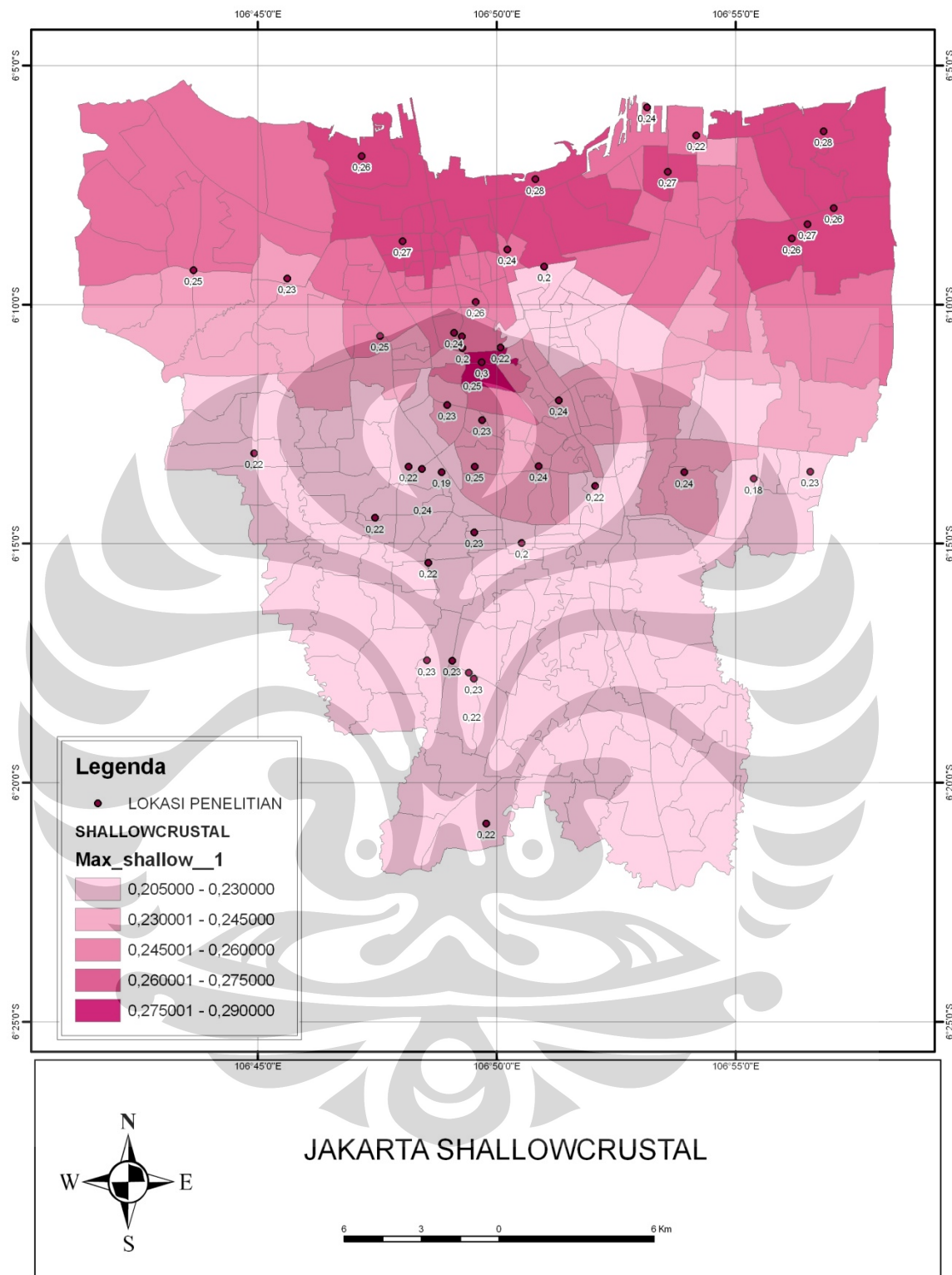
No.	Proyek	Kordinat		Sallowercrustal	Megatrust
1	BI	6°10'53.99" S	106°49'17.07" E	0.2	0.24
2	Apartemen Juanda	6°09'56.50" S	106°49'33.31" E	0.26	0.3
3	Tanki Timbun BBM	6°06'27.37" S	106°54'10.45" E	0.22	0.23
4	Tol Cibitung-Cilincing 33+200	6°07'58.65" S	106°57'03.27" E	0.26	0.29
5	Tol Cibitung-Cilincing 31+675	6°08'19.04" S	106°56'30.23" E	0.27	0.28
6	KBN Cakung	6°08'37.07" S	106°56'10.48" E	0.26	0.3
7	Mall Kelender	6°13'38.45" S	106°55'23.05" E	0.18	0.19
8	Dermaga 108	6°05'52.06" S	106°53'09.04" E	0.24	0.29
9	Perkantoran Otista	6°13'47.67" S	106°52'03.78" E	0.22	0.25
10	BKT 26	6°13'29.71" S	106°56'33.69" E	0.23	0.28
11	Stasiun Angke	6°08'40.47" S	106°48'02.02" E	0.27	0.35
12	Sainath Office	6°09'11.86" S	106°50'59.81" E	0.2	0.2
13	Parkir timur Ancol	6°07'22.61" S	106°50'48.67" E	0.28	0.36
14	KBN Marunda	6°06'22.11" S	106°56'50.63" E	0.28	0.33
15	Grand Treva	6°10'53.52" S	106°50'04.96" E	0.22	0.26
16	Gedung Matraman	6°11'59.95" S	106°51'18.07" E	0.24	0.3
17	Singapore Int'l School	6°11'12.10" S	106°49'41.08" E	0.3	0.34
18	Pelayanan DepHan	6°10'39.92" S	106°49'16.48" E	0.25	0.27
19	Mega Mall Pluit	6°06'53.28" S	106°47'10.56" E	0.26	0.3
20	JORR	6°09'16.45" S	106°43'38.83" E	0.25	0.26
21	SAM-SAT SUDIN	6°09'26.84" S	106°45'37.07" E	0.23	0.25
22	Sucofindo	6°14'59.03" S	106°50'31.22" E	0.2	0.23
23	Apartemen Kuningan	6°13'23.03" S	106°49'32.62" E	0.25	0.29
24	Hotel Clarion	6°13'22.46" S	106°50'52.70" E	0.24	0.27
25	Bapindo	6°13'26.31" S	106°48'26.09" E	0.24	0.23
26	Puri Matari III	6°12'24.75" S	106°49'41.54" E	0.23	0.28
27	Kemang Village	6°15'23.91" S	106°48'33.99" E	0.22	0.22
28	Bank Exim	6°13'29.93" S	106°48'50.79" E	0.19	0.2
29	Menara Wikaraga	6°10'39.38" S	106°47'33.57" E	0.25	0.27
30	Dep Pertanian	6°17'42.05" S	106°49'24.95" E	0.22	0.23
31	Asrama UI	6°20'50.92" S	106°49'46.95" E	0.22	0.24
32	Graha Matra	6°17'26.87" S	106°49'04.17" E	0.23	0.23
33	Robert Susanto Office	6°17'49.11" S	106°49'31.42" E	0.23	0.28
34	Gedung DIKTI	6°13'23.10" S	106°48'09.43" E	0.22	0.26
35	CITY center	6°12'05.70" S	106°48'57.94" E	0.23	0.24
36	Office Tanah Abang	6°10'35.39" S	106°49'06.34" E	0.24	0.26
37	Casablanca East Res	6°13'30.38" S	106°53'55.39" E	0.24	0.26
38	Graha Reformed Mil	6°08'50.61" S	106°50'13.13" E	0.24	0.33
39	Gedung parkir KWK	6°07'12.93" S	106°53'34.9" E	0.27	0.33
40	MetroTV	6°12'66.36" S	106°44'55.26" E	0.22	0.21
41	Ratu Prabu	6°17'26.53" S	106°48'32.34" E	0.23	0.27
42	Plaza Mayestik	6°14'27.48" S	106°47'27.12" E	0.22	0.23
43	Blue Bird	6°14'45.56" S	106°49'31.75" E	0.23	0.26



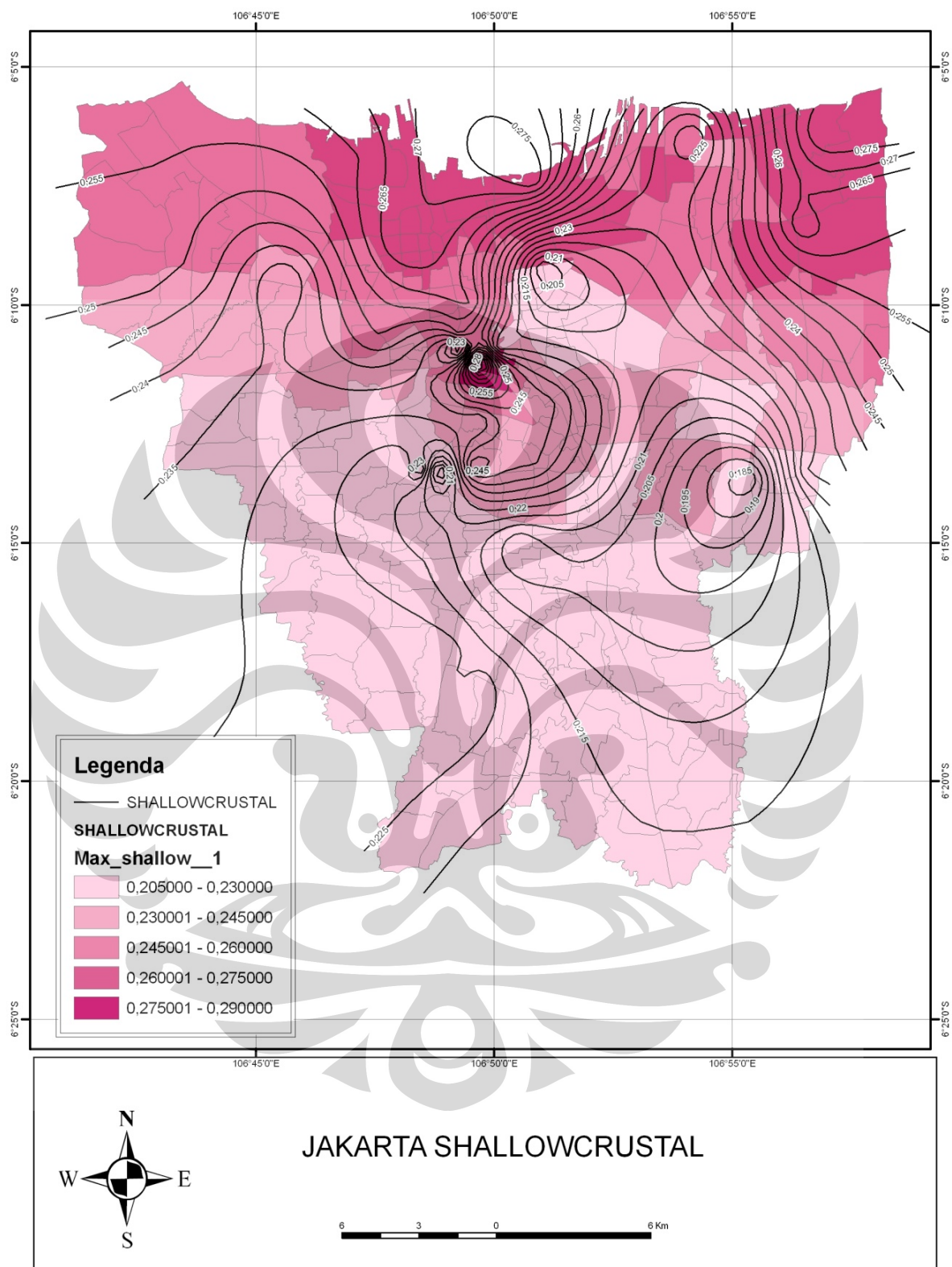
**Gambar 5.5** Peta percepatan puncak gempa di permukaan daerah DKI Jakarta untuk sumber gempa Megathrust dengan periode ulang gempa 500 tahun



**Gambar 5.6** Peta kontur percepatan puncak gempa di permukaan daerah DKI Jakarta untuk sumber gempa Megathrust dengan periode ulang gempa 500 tahun



**Gambar 5.7** Peta percepatan puncak gempa di permukaan daerah DKI Jakarta untuk sumber gempa Shallow Crustal dengan periode ulang gempa 500 tahun



**Gambar 5.8** Peta kontur percepatan puncak gempa di permukaan daerah DKI Jakarta sumber gempa Shallow Crustal dengan periode ulang gempa 500 tahun.

Universitas Indonesia

## **BAB 6** **KESIMPULAN DAN SARAN**

### **6.1. Kesimpulan**

Analisis percepatan gempa di permukaan di wilayah Jakarta Barat dan Jakarta Selatan menggunakan *tool* utama SHAKE 2000. Wilayah penyelidikan percepatan puncak gempa di permukaan dalam penelitian ini berjumlah 16 titik di daerah Jakarta Selatan dan 4 titik di daerah Jakarta Barat. Dari titik-titik hasil analisis percepatan gempa di permukaan wilayah Jakarta Barat dan Jakarta Selatan dengan menggabungkan informasi hasil percepatan puncak gempa di permukaan wilayah Jakarta Pusat, Jakarta Timur dan Jakarta Utara yang dibuat oleh peneliti lain, maka dapat dibuat suatu peta kontur percepatan puncak gempa di permukaan wilayah DKI Jakarta dengan sumber gempa masing-masing.

Dalam melakukan analisis percepatan gempa di permukaan dibutuhkan input data tanah yang dapat menggunakan informasi data *borelog* dan data uji laboratorium. Input data tanah tersebut kemudian diproses bersama dengan *input motion*, dan *input motion* yang digunakan pada penelitian ini adalah hasil data riwayat *time histories* (TH) dengan periode ulang 500 tahun buatan Masyhur Irsyam dkk.

Untuk input tanah terlebih dahulu dilakukan generalisasi data tanah untuk setiap wilayah penyelidikan. Hal ini dikarenakan pada setiap wilayah penyelidikan terdapat beberapa titik bor, sehingga dilakukan generalisasi data agar didapatkan satu informasi data pada satu wilayah penyelidikan. Generalisasi data dilakukan secara manual, dengan memperhatikan beberapa hal yaitu deskripsi tanah, warna tanah, dan nilai N-SPT. Informasi data tanah yang digunakan sebagai input tanah yang didapat dari penyelidikan tanah lapangan adalah deskripsi jenis tanah dan kedalamannya, nilai N-SPT, serta elevasi muka air tanah. Sedangkan informasi yang bisa didapat dari uji laboratorium yang digunakan sebagai input data tanah adalah nilai *Plasticity Index* (PI), dan nilai *unit weight* ( $\gamma$ ).

Untuk *input motion* digunakan dua data riwayat *time histories* (TH) gempa yaitu sumber gempa Megathrust dengan periode gempa 0.2 detik ( $T = 0.2$  detik) dan sumber gempa Shallow Crustal dengan periode gempa 0.2 detik ( $T = 0.2$  detik). Dengan menggunakan dua *input motion* sumber gempa yang berbeda, maka dihasilkan dua percepatan puncak gempa di permukaan untuk setiap wilayah penyelidikan. Adapun nilai percepatan puncak gempa di permukaan terbesar berada di sebagian besar wilayah Jakarta Utara dan sebagian kecil wilayah Jakarta Pusat dengan sumber gempa Megathrust. Sedangkan untuk sumber gempa Shallow Crustal nilai percepatan puncak gempa di permukaan terbesar berada di sebagian besar wilayah Jakarta Utara dan sebagian kecil di utara dari Jakarta Timur.

## 6.2. Saran

Hasil peta kontur percepatan gempa di permukaan ini belumlah sempurna dikarenakan keterbatasan informasi data penyelidikan tanah lapangan yang didapat. Dengan semakin banyak informasi data penyelidikan lapangan yang didapat, maka peta kontur percepatan gempa di permukaan akan menjadi semakin akurat.

Dalam penelitian ini terdapat penggunaan asumsi untuk data yang tidak terdapat pengujian laboratoriumnya, sehingga diharapkan untuk penelitian selanjutnya digunakan data penyelidikan tanah yang lebih lengkap untuk mengurangi asumsi-asumsi yang digunakan.

Terdapat dua input motion buatan Masyhur Irsyam yang belum digunakan dalam proses ground response analysis yaitu sumber gempa Benioff dan sumber gempa Background. Untuk penelitian selanjutnya lebih baik digunakan empat (4) sumber gempa sebagai input motion sehingga memenuhi syarat dalam SNI 03-1726-2002.

## **DAFTAR REFERENSI**

KRAMER, STEVEN L (1996)."Geotechnical Earthquake Engineering," Prentice Hall,Upper Saddle River, New Jersey 07458.

SNI 03-1726-2003."Tata Cara Perencanaan Ketahanan Gempa Untuk Bangunan Gedung,"

Manual For Zonation on Seismic Geotechnical Hazard (1999). Technical Committee For Earthquake Geotechnical Engineering. TC4,ISSMGE.

Irham, Masyhur, dkk. "Gelombang Gempa DKI Jakarta".Proceding Seminar dan Pameran HAKI 2008. "Pengaruh Gempa dan Angin Terhadap Struktur".

M. Das, Braja (1993)." Principles of Soil Dynamics," PWS-KENT. Southern Illinois, University at Carbondale.

<http://www.Jakarta.go.id>

<http://www.idepfoundation.org>

<http://www.bakosurtanal.go.id>

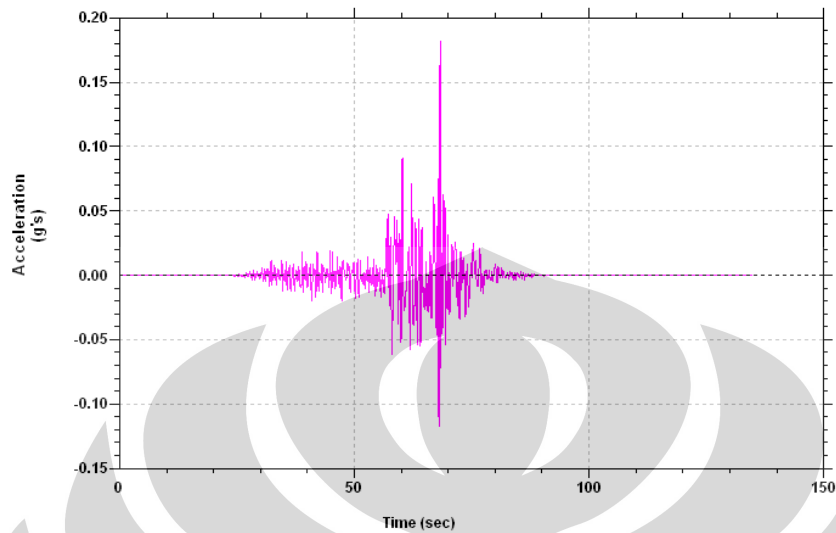
<http://organisasi.org>

<http://elcom.umy.ac.id>

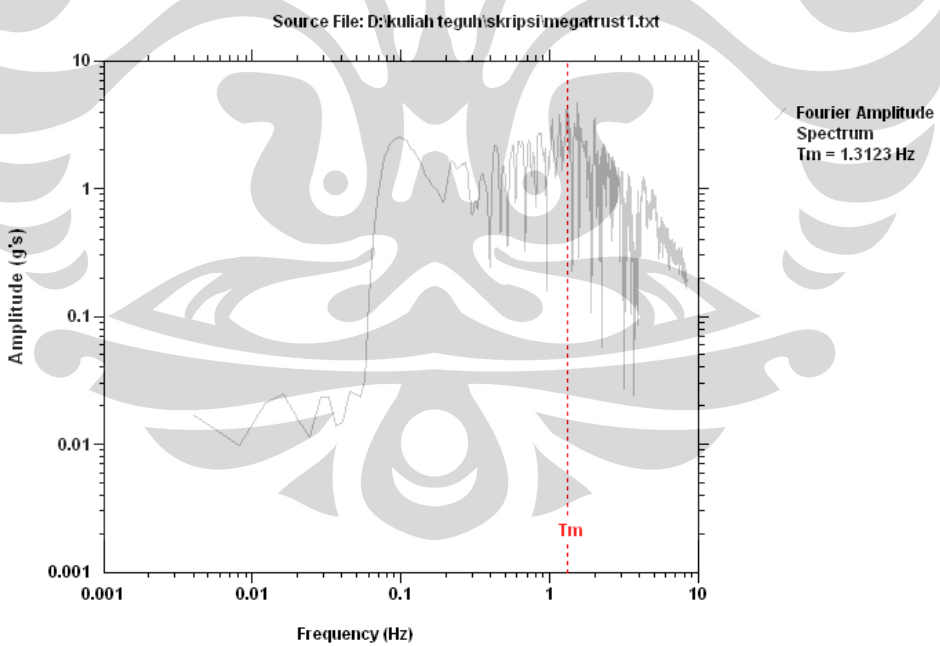
Craig, R.F (1987)." Soil Mechanics," Van Nostroad Reinhold (UK) Co. Ltd.

## LAMPIRAN

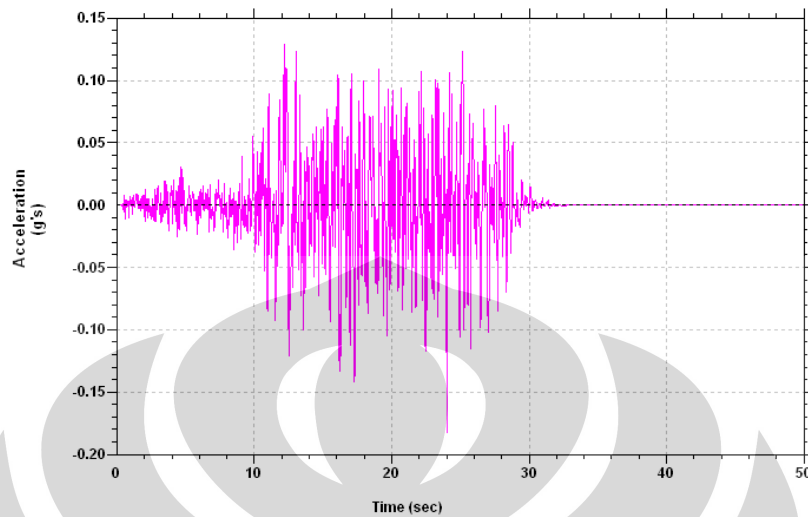
### A. Lampiran input motion



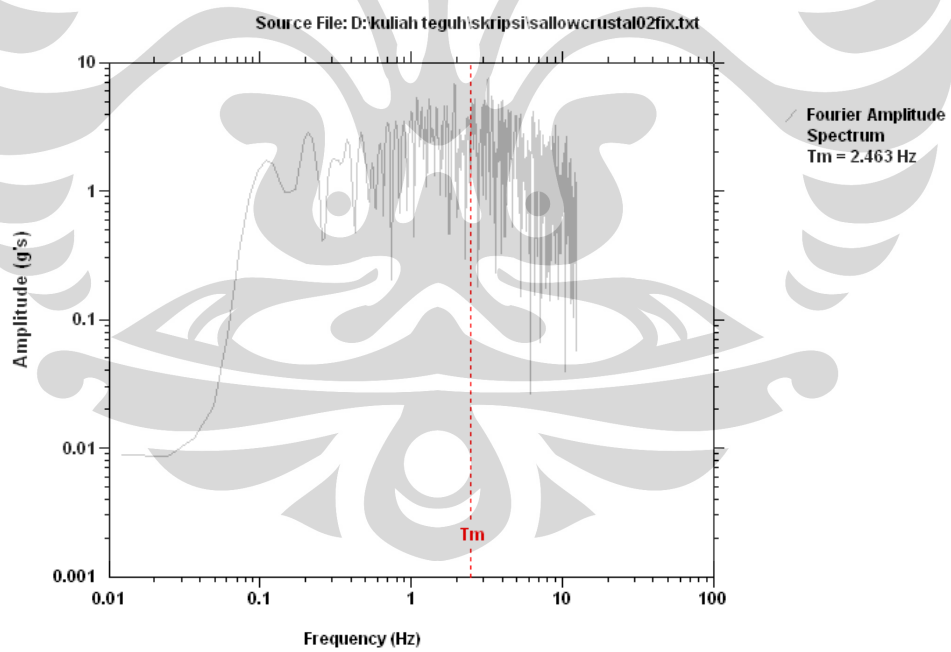
Gambar Input motion sumber gempa Megathrust dalam time domain



Gambar Input motion sumber gempa Megathrust dalam frekuensi domain



Gambar Input motion sumber gempa Shallowcrustal dalam time domain



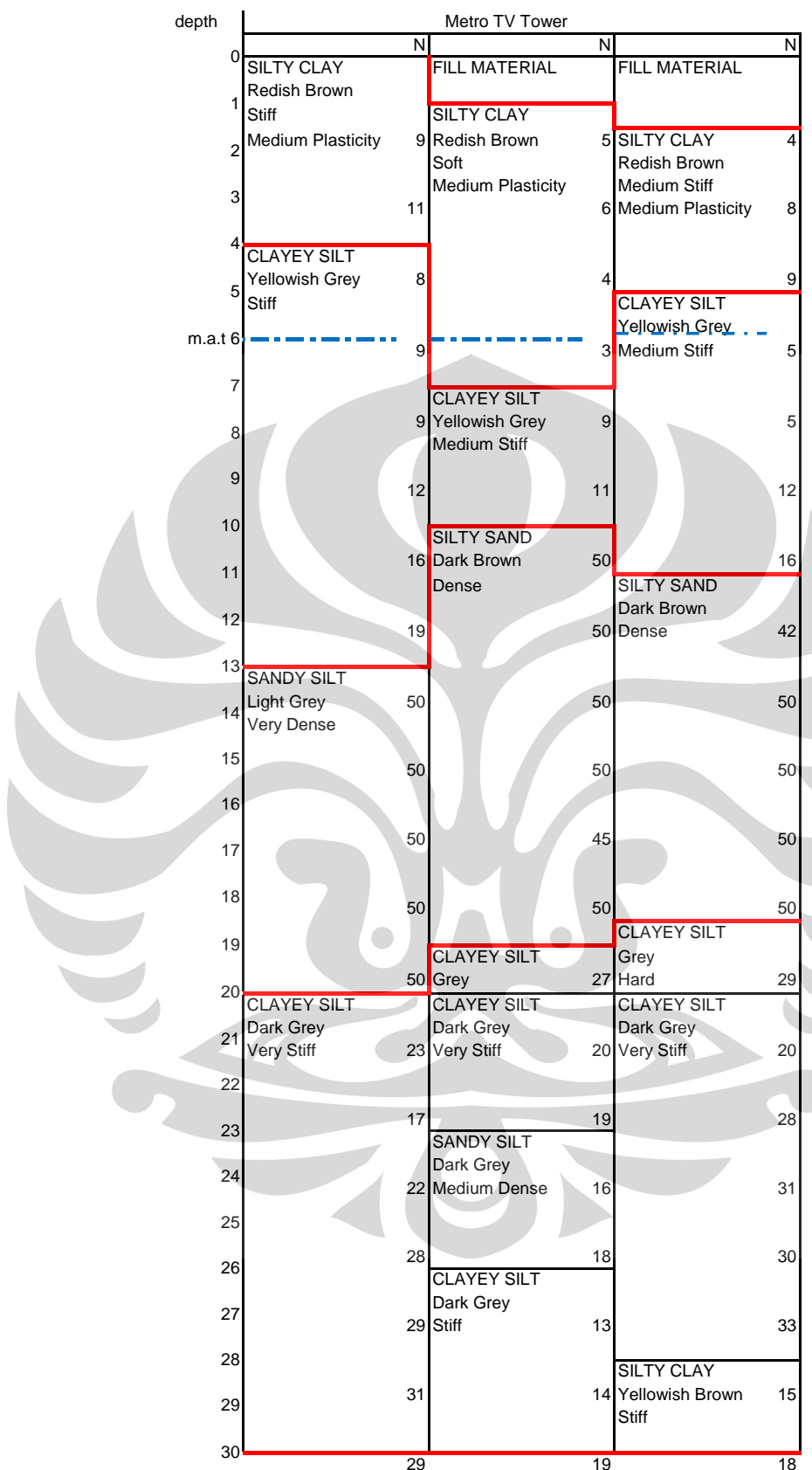
Gambar Input motion sumber gempa Shallowcrustal dalam frekuensi domain

## B. Proses Generalisasi

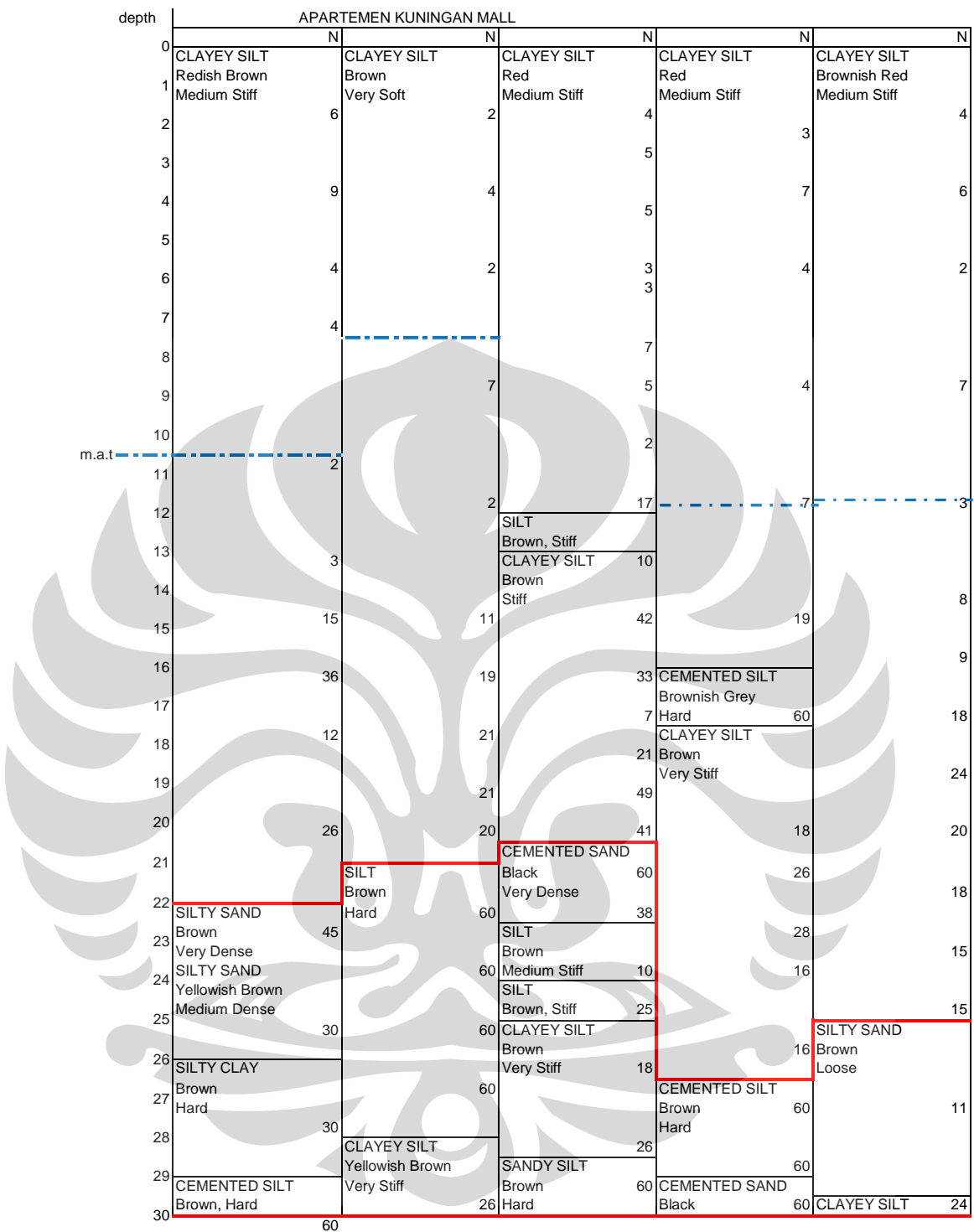
depth	JORR Daan Mogot					
	N	N	N	N	N	N
0	CLAY Brown Soft Low Plasticity	SILTY CLAY Dark Brown Very Soft Medium Plasticity	SILTY CLAY Dark Brown Very Soft High Plasticity	SILTY CLAY Black Soft High Plasticity	SILTY CLAY Light Brown Soft High Plasticity	SILTY CLAY Yellowish Red Soft
1						
2		3		1		5
3	SILTY CLAY Red					SILTY CLAY Yellowish Red 7 Soft
4	Very Stiff High Plasticity	15 SILTY CLAY Dark Grey Soft Medium Plasticity	SILTY CLAY Black Very Soft High Plasticity	5 SILTY CLAY Reddish Grey Very Stiff High Plasticity	SILTY CLAY High Plasticity	7
5						SILTY CLAY Light Grey Soft
6	SANDY CLAY Dark Brown Very Stiff Low Plasticity	10 SILTY CLAY Black Very Soft High Plasticity	3		12	SANDY CLAY Dark Brown Very Stiff
7						
8	SILTY CLAY Greyish Brown Soft High Plasticity	14		4	10	14
9				2		
10		7 SILTY CLAY Light Grey Very Soft High Plasticity		1	12	15
11						CLAY Yellowish Grey Very Hard
12		7		3	13	
13						CLAYEY SAND Brownish Grey Very Dense
14	CEMENTED SAND Brown Very Dense	45		4	27	30
15						SILTY CLAY Yellowish Grey
16		33 SILTY CLAY Light Brown Stiff	13		30	16
17	SILTY CLAY Reddish Grey Very Stiff		14			
18	High Plasticity	16	SILTY CLAY Yellowish Grey	14		18
19						
20	SILTY CLAY Light Grey Stiff	22	Very Stiff Low Plasticity	16	14	16
21	High Plasticity					
22		16		18		17
23				16		
24	SILTY CLAY Yellowish Grey Very Stiff	18		20	27	26
25	Medium Plasticity					CLAY
26		19	SILTY CLAY White to Yellow Medium Hard Low Plasticity	20		23
27				18		17
28		17				SANDY CLAY
29				26		19
30				36	22	44
					37	32

depth	SAMSAT SUDIN	
0	N	N
1	SILTY CLAY Light Brown Firm High Plasticity	CLAY Dark Brown Stiff
2	CLAY Brownish Grey Stiff High Plasticity	SILTY CLAY Brownish Grey Soft High Plasticity
3		
4		6
5	SILTY CLAY Grey Soft	
6	CLAY Redish Grey Firm High Plasticity	SILTY CLAY Light Brown Soft High Plasticity
7		4
8		9
9	SILTY SAND Dark Grey Stiff Non Plasticity	SILTY SAND Dark Grey Medium Dense Non Plasticity
10		13
11		18
12		9
13		
14	SILTY CLAY Light Grey Firm Low Plasticity	19
15		19
16		24
17		17
18		19
19	SILTY CLAY Light Grey Stiff High Plasticity	20
20		11
21		9
22		18
23		19
24		17
25		22
26		19
27		21
28		30
29		14
30		

	STASIUN ANGKE	
0	FILL MATERIAL	N
1	SILTY CLAY	
2	Dark Grey	
2	Very Soft	1
3	High Plasticity	
4	m.a.t	4
4	SILTY SAND	2
5	Yellowish Brown	
5	Soft	
6	SILTY CLAY	
6	Yellowish Grey	2
7	Stiff	
7	Low Plasticity	
8	SILTY CLAY	
8	Reddish Brown	2
9	Soft	
9	Low Plasticity	
10		5
11	SILTY CLAY	
11	Reddish Brown	
12	SILTY CLAY	13
12	Light Brown	
13	Stiff	
13	Low Plasticity	
14		17
15		
16	SILTY CLAY	
16	Light Brown	36
17	Very Hard	
17	Low Plasticity	
18	CEMENTED SAND	
18	Dark Brown	60
19	Very Dense	
19	Non Plasticity	
20		60
21	SILTY CLAY	
21	Light Brown	
22	Very Hard	31
22	Low Plasticity	
23	CLAY	
24	Dark Grey	
24	Very Stiff	
25	Low Plasticity	
26		14
27		
28	SILTY CLAY	
28	Light Brown	23
29	Medium Hard	
29	Medium Plasticity	
30		23



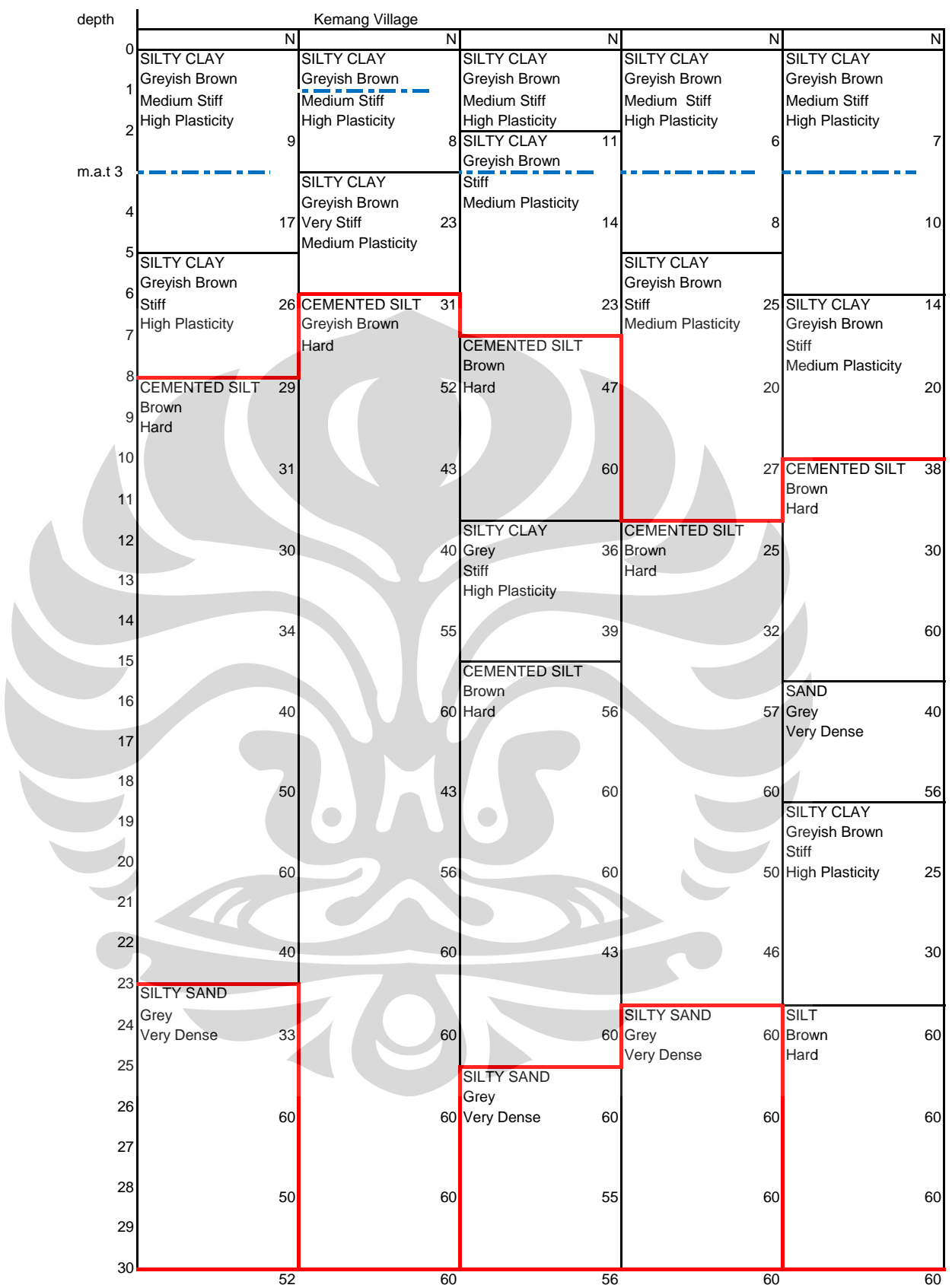
depth	Gedung Sucofindo			
	N	N	N	N
0	GRAVELL	FILL MATERIAL	FILL MATERIAL	CLAY
1	SILTY CLAY Brownish Red, Firm	CLAY	SILTY CLAY Brownish Red	Brownish Red Stiff
2	SILTY CLAY Yellowish Brown Very Stiff	Redish Brown Firm to Stiff	7	15
3				12
4		15	18	
5	CLAY Brownish Red Soft		18	21
6		15		
7	26 SILTY CLAY Yellowish Grey Firm			11
m.a.t 8	SANDY CLAY Brownish Grey Firm			8
9		10		
10			7	15
11			19	
12		11	20	
13				15
14	SILTY CLAY Yellowish Grey, Stiff	18		
15	SANDY CLAY Redish Brown Very Stiff	7		
16	CEMENTED SAND Light Brown Very Stiff	32		
17	CLAYEY FINE SAND Dark Grey Dense to Medium Dense	24	60	60
18	CLAYEY SAND Grey to Black Dense			
19	SANDY CLAY Light Brown Very Stiff	19		
20	GRAVELLY CLAY Brown to Black	60		
21	CEMENTED SAND Medium Dense		60	
22	GRAVELLY SAND Black Dense			
23	GRAVELLY SAND Black Very Dense	60		
24				
25				
26				
27				
28				
29				
30				

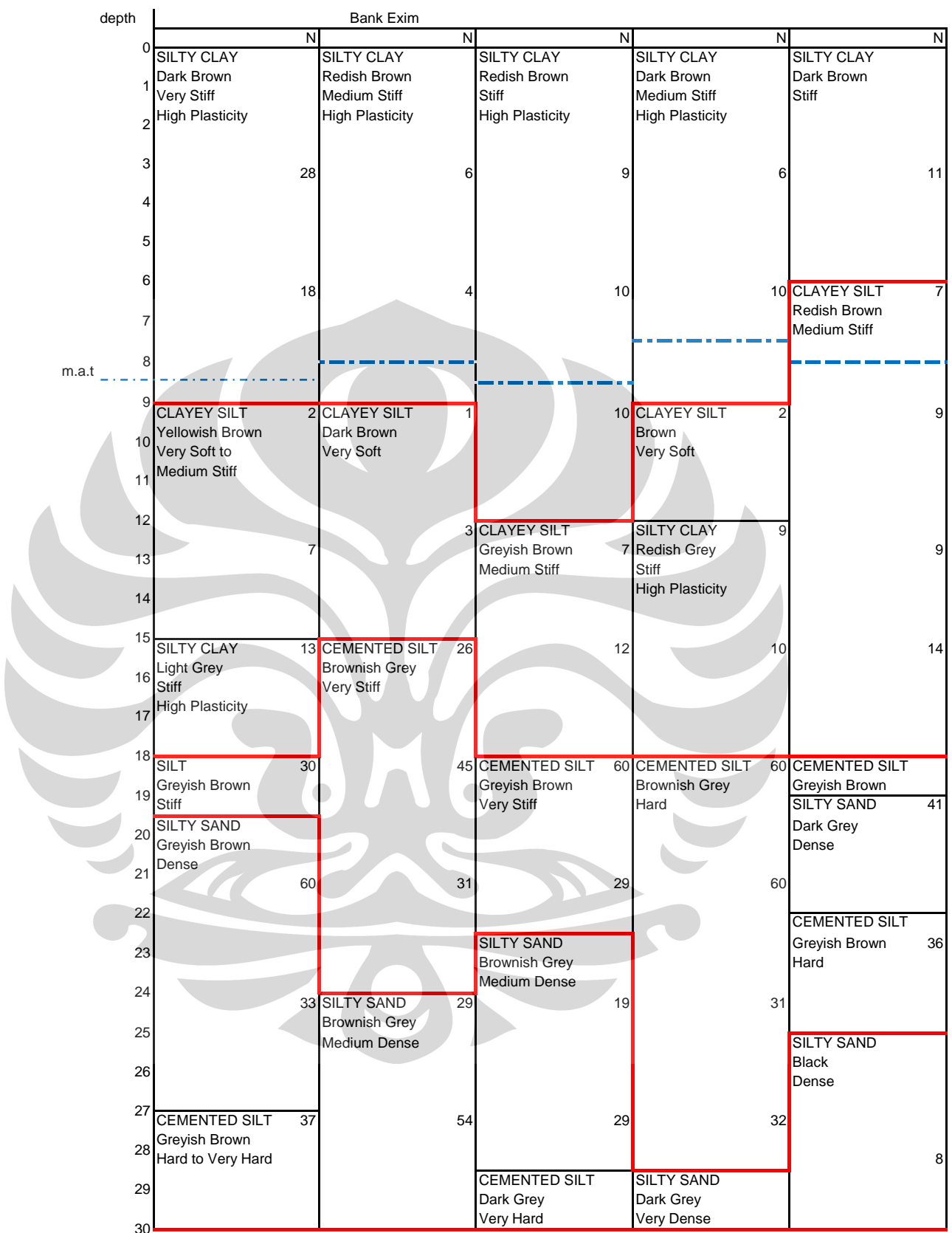


depth	Hotel Clarion		
	N	N	N
0	FILL MATERIAL	ASPHALT	ASPHALT
1	SILTY CLAY	CLAY	CLAY
2	Brown	Brown	Light Brown
3	Soft	Firm	Soft
4	High Plasticity	High Plasticity	High Plasticity
5	SILTY CLAY	SILTY CLAY	CLAY
6	Grey	Yellowish Brown	Light Grey
7	Firm	Stiff	Soft
8	High Plasticity	High Plasticity	Medium Plasticity
9	SILTY CLAY	SILTY CLAY	Light Grey
10	Grey	Light Grey	Soft
11	Firm	Firm	Medium Plasticity
12	High Plasticity	Low Plasticity	Medium Plasticity
13	SANDY SILT	CLAYEY SILT	SILTY SAND
14	Yellowish Brown	Yellowish Brown	Dark Grey
15	Soft	Soft	Firm
16	Medium Plasticity	Low Plasticity	Non Plasticity
17	SILTY SAND	SILTY SILT	SILTY SAND
18	Dark Brown	Dark Brown	Black, Stiff
19	Firm	Soft	SILTY SAND
20	SAND	SILTY SAND	Brown, Stiff
21	Black	Black	CLAYEY SILT
22	Very Dense	Very Dense	Dark Grey, Stiff
23	Non Plasticity	Non Plasticity	SAND
24	SAND	SAND	Black
25	Black	Black	Dense
26	Very Dense	Very Dense	Non Plasticity
27	Non Plasticity	Non Plasticity	60
28			60
29			60
30			20

	Bapindo					
depth	N	N	N	N	N	N
0	CLAYEY SILT Red to Black Medium Stiff	CLAYEY SILT Greyish Brown Stiff	CLAYEY SILT Greyish Brown Stiff	CLAYEY SILT Greyish Brown Soft	CLAYEY SILT Yellowish Red Medium Stiff	CLAYEY SILT Yellowish Red Medium Stiff
1						
2						
3						
4	CLAYEY SILT Brownish Yellow Medium Stiff	CLAYEY SILT Yellowish Grey Stiff				
5						
6	CLAYEY SILT Whitish Yellow Stiff	CLAYEY SILT Yellow to Black Stiff	SANDY SILT Yellowish Brown Dense	SANDY SILT Brown Soft	CLAYEY SILT Grey Medium Stiff	CLAYEY SILT Grey Medium Stiff
7						
8			CLAYEY SILT Yellowish Grey Very Stiff	SILT Brownish Grey Very Stiff		
9						
10	CLAYEY SILT Brownish Grey Hard	CLAYEY SILT Yellowish Grey Hard	SAND Black Dense	CLAYEY SILT Greyish Brown Hard	SANDY SILT Brown Medium Dense	CLAYEY SILT 21 CEMENTED SILT Brownish Grey Hard
11						
12			CEMENTED SAND Greyish Black Very Dense	GRAVELLY SAND Black Very Dense		
13						
14	GRAVELLY SAND Black Very Dense	GRAVELLY SAND Greyish Black Very Dense	SAND Black Dense	GRAVELLY SAND Black Very Dense	SILTY SAND Brown Medium Dense	CLAYEY SILT Brownish Grey Very Stiff
15						
16			CEMENTED SILT Greenish Grey Hard	SAND Black Very Dense	CLAYEY SILT Yellowish Grey Very Dense	CLAYEY SILT Black Very dense
17						
18	CLAYEY SILT Brownish Grey Hard	CLAYEY SILT Greenish Grey Hard	SAND Grey to Black Dense	CLAYEY SILT Greyish Black Hard	CLAYEY SILT Yellowish grey Hard	CLAYEY SILT Yellowish grey Hard
19						
20			CEMENTED SAND Greenish Grey Very Dense	CEMENTED SAND Greenish Grey Very Dense	SANDY SILT Black, Dense	
21	CEMENTED SAND Black	CEMENTED SILT Greenish Grey Hard		SANDY SILT Black Hard	SILT Brownish Grey Hard	SANDY SILT Grey Hard
22						
23	CEMENTED SILT Yellowish Black	CEMENTED SILT Greenish Grey Hard	CEMENTED SAND Grey to Black	SANDY SILT Greyish Black Very Stiff	CLAYEY SILT Brownish Grey Stiff	CEMENTED SAND Black Very Dense
24						
25	CEMENTED SILT Greenish Grey Stiff	CLAYEY SILT Black Stiff	SANDY SILT Grey to Black Very Stiff	CLAYEY SILT Yellowish Grey Very Stiff	CLAYEY SILT Brownish Grey Stiff	
26						
27	CLAYEY SILT Yellowish Grey Hard	CLAYEY SILT Yellowish Grey Very Stiff				
28						
29	CLAYEY SILT Yellowish Grey Very Stiff	CLAYEY SILT Grey, Stiff				
30						

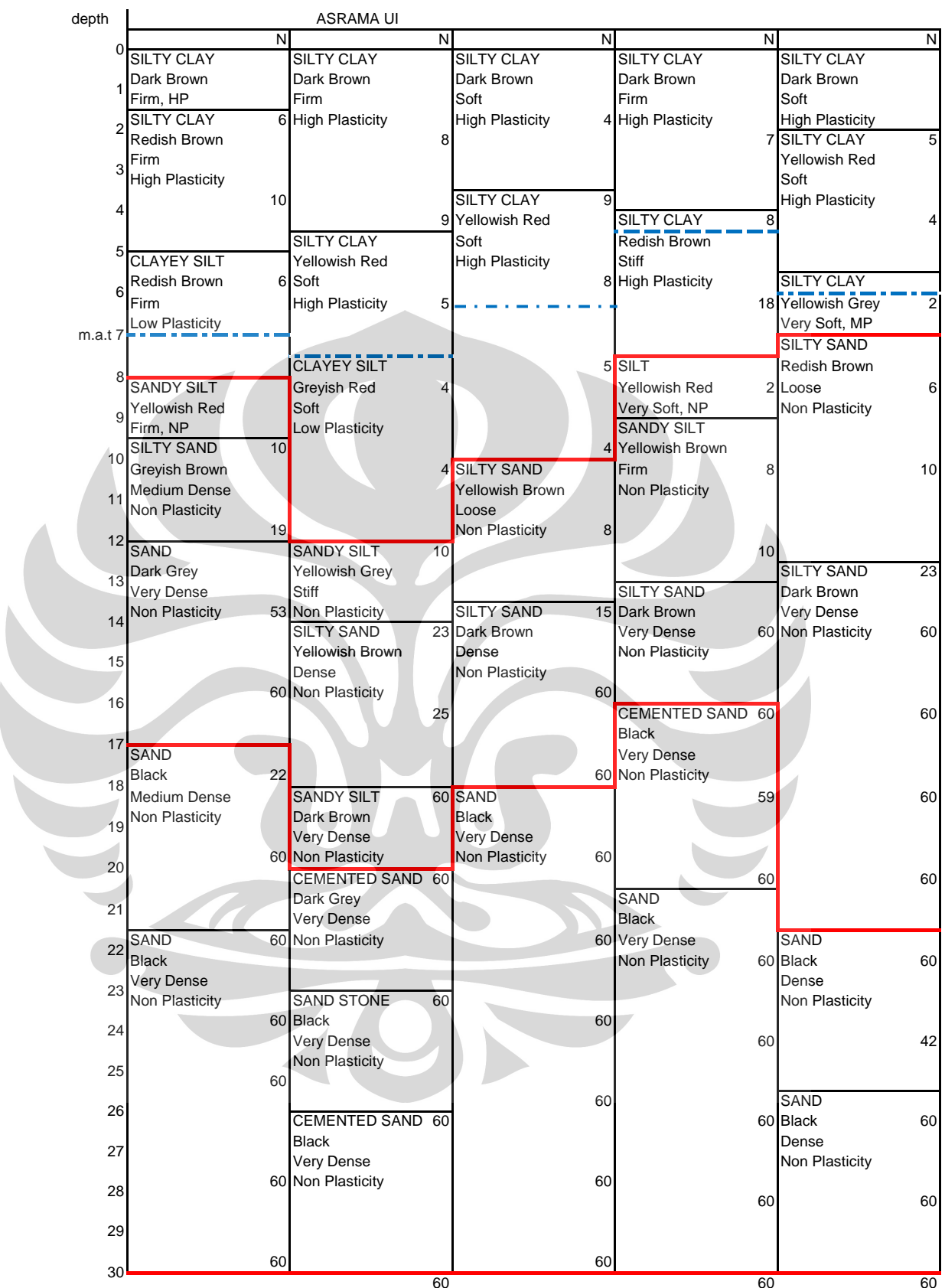
depth	Puri Matari III	
	N	N
0	CLAY	CLAY
1	Dark Brown	Dark Brown
	Firm	Firm
2	CLAY	CLAY
3	Yellowish Grey	Yellowish Grey
	Firm	Firm
4	High Plasticity	High Plasticity
5	SILTY CLAY	CLAYEY SILT
6	Light Brown	Greyish Brown
	Firm	Firm
7	Low Plasticity	Low Plasticity
8	5	4
9	SILTY SAND	SILTY SAND
10	Light Grey	7
	Stiff	
11	Non Plasticity	Non Plasticity
12	13	18
13	SILTY SAND	Black, Stiff
14	Light Grey	SILTY CLAY
15	11	14
16	SILTY CLAY	Stiff
17	Light Grey	Low Plasticity
18	Stiff	12
19	Low Plasticity	
20	SILTY CLAY	SILTY CLAY
21	Light Brown	25
22	Very Hard	Stiff
23	Low Plasticity	SILTY SAND
24	SILTY SAND	18
25	Light Brown	Light Brown
26	Medium Stiff	Stiff
27	Non Plasticity	Compact
28	23	Non Plasticity
29	SAND STONE	17
30	Dark Brown	SILTY CLAY
	Dense	15
23	Dark Grey, Hard	Light Grey
24		Hard
25		19
26		Low Plasticity
27	26	31
28	SAND STONE	22
29	Dark Brown	SAND
30	Dense	60
		Dark Brown
23	SILTY CLAY	Very Dense
24	Dark Grey, Hard	Non Plasticity
25		SILTY CLAY
26		44
27	60	Dark Grey
28		Stiff
29		22
30		SILTY CLAY
		Yellowish Grey
23		18
24		Low Plasticity
25		21

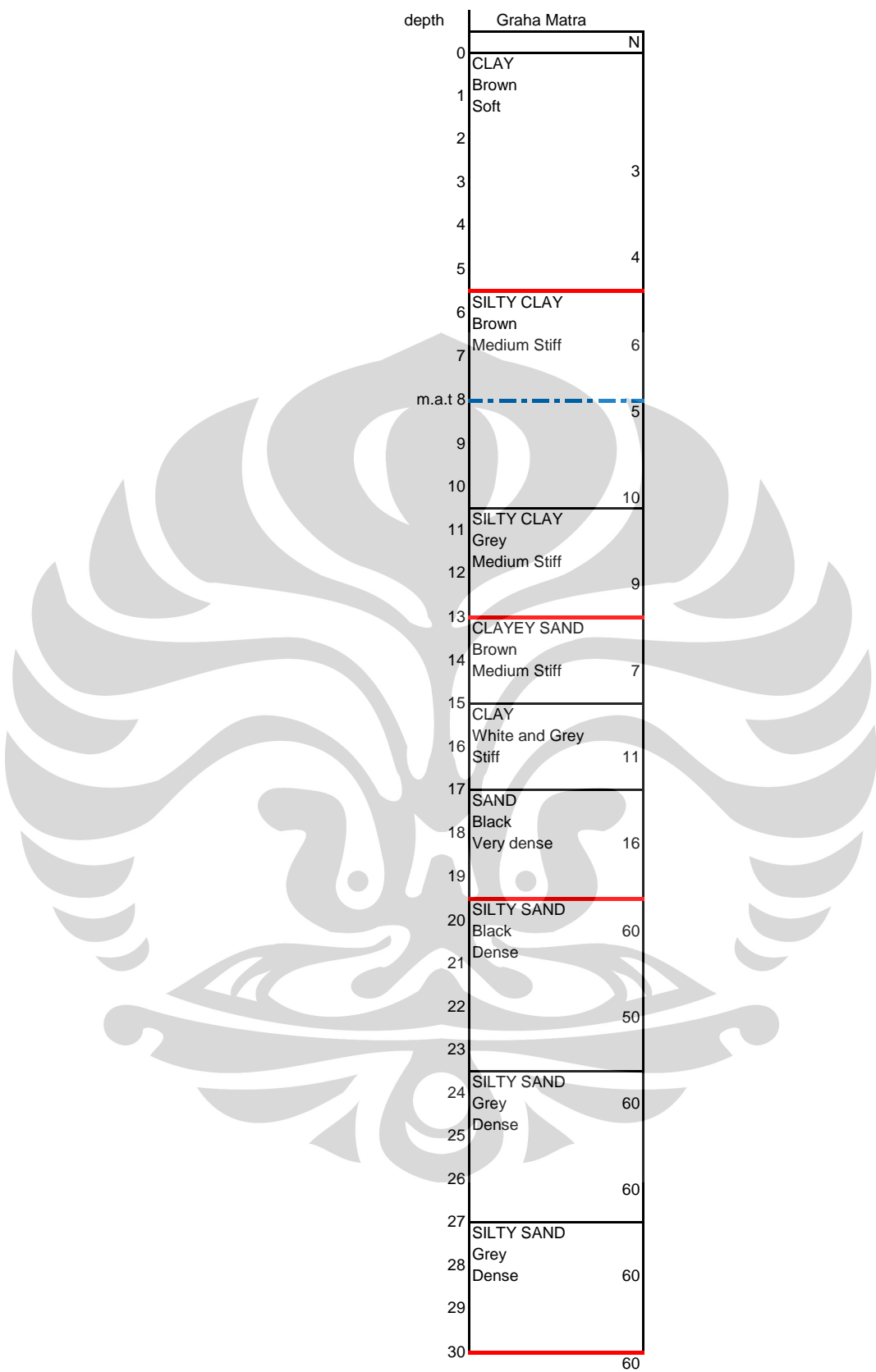




	Menara Wikaraga			
depth	N	N	N	N
0	FILL MATERIAL	FILL MATERIAL	FILL MATERIAL	FILL MATERIAL
1	CLAY	Yellowish Grey	SILTY CLAY	SILTY CLAY
2	Reddish Grey Soft, HP	Firm, HP	Reddish Grey Firm	Yellowish Grey Soft
3	CLAYEY SILT Yellowish Grey	SANDY SILT Dense	Medium Plasticity	High Plasticity
4	Hard Non Plasticity	40	SAND STONE Dark Brown	SILTY SAND Brownish Grey
5			CLAYEY SILT Light Brown	Dense
6			Light Brown Firm	Non Plasticity
7			Stiff	SILTY SAND Dark Brown
8	CEMENTED SILT Yellowish Grey	SILTY SAND Light Brown	Low Plasticity	Dense
9	Hard Non Plasticity	19	CEMENTED SILT Very Dense	25
10			Non Plasticity	23
11	SAND Light Brown Loose	60	CEMENTED SILT Light Grey	
12	Non Plasticity	17	Very Stiff	
13	CLAY Light Grey	60	Non Plasticity	
14	Very Hard Non Plasticity		CEMENTED SILT Medium Plasticity	
15			SILTY SAND Dark Grey	
16			Dense	
17	CEMENTED CLAY Yellowish Grey	SILTY SAND Dark Grey	Non Plasticity	
18	Hard Non Plasticity	31	CEMENTED CLAY Dense	
19			60	
20	SAND Black Loose	47	Dark Grey Very Hard	
21			Low Plasticity	
22	SILTY CLAY Black, Stiff Low Plasticity	27	CEMENTED SILT Light Brown Stiff	
23	SANDY SILT Black	18	CLAY Black	
24	Very Stiff Non Plasticity	29	26 SILTY CLAY Black, Very Stiff Medium Plasticity	
25	CLAY Light Grey	31	SAND Black	
26	Very Stiff Non Plasticity	20	Loose	
27			Non Plasticity	
28	CLAY Grey	28	CEMENTED SILT Light Grey	
29	Very Stiff Non Plasticity	28	Very Hard	
30			Non Plasticity	
31	CEMENTED SILT Light Grey	60	SILTY SAND Black	
32	Very Hard Non Plasticity	36	Very Dense	
33			Non Plasticity	
34			CEMENTED SILT Black	
35			Very Hard	
36			Medium Plasticity	

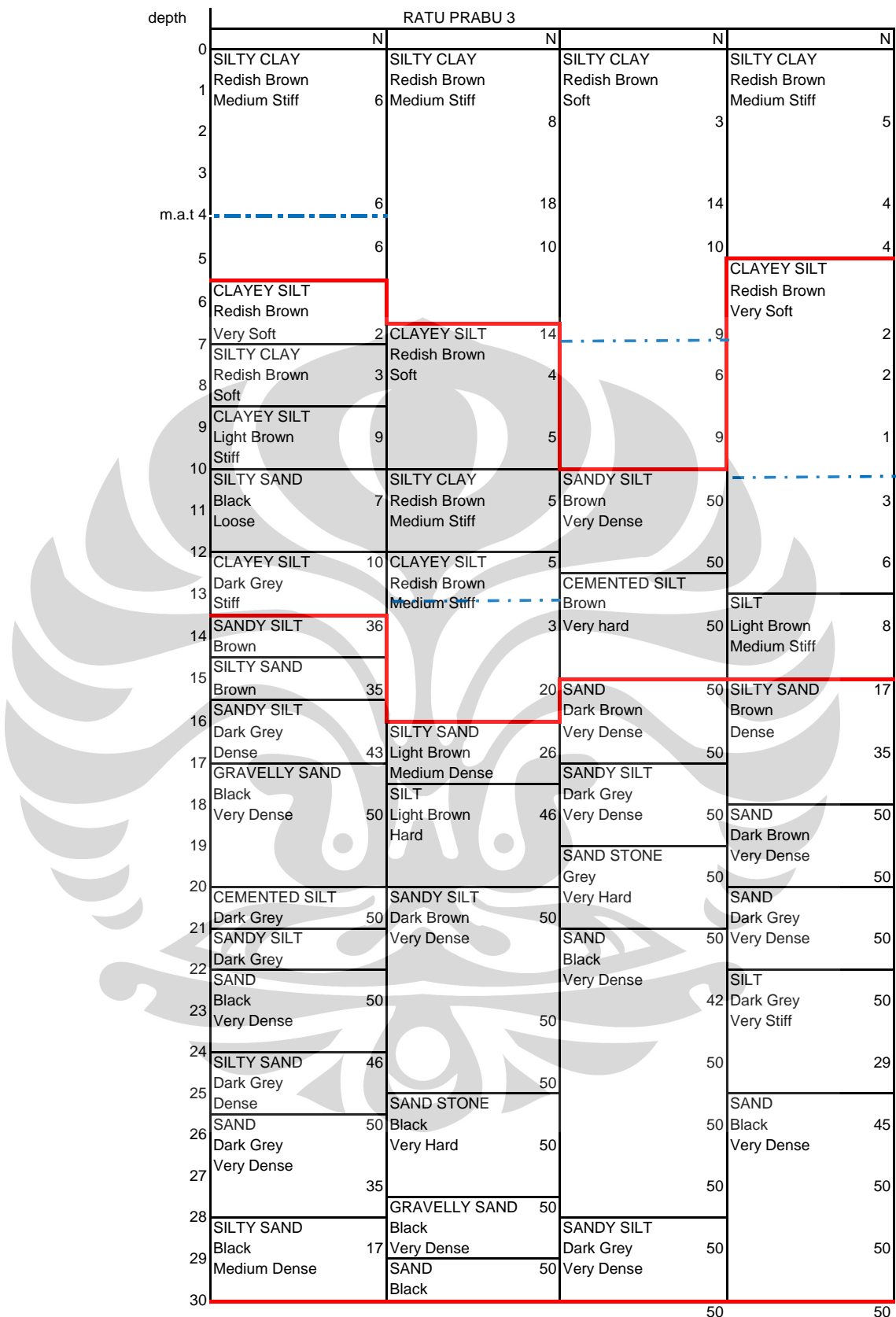
depth	Departemen Pertanian					
	N	N	N	N	N	N
0	SILTY CLAY Redish Brown Soft High Plasticity	SILTY CLAY Redish Brown Soft, High Plasticity	SAND SILTY CLAY Light Brown Medium Stiff	SAND Black, Loose SILTY SAND Dark Brown	SILTY CLAY Redish Brown Medium Stiff High Plasticity	
1				9	Dense Non Plasticity	
2			5	Low Plasticity		
3	SILTY CLAY Yellowish Red Very Soft High Plasticity	4	3			
4		3	13			
m.a.t 5			13	SILTY CLAY Brown Very Stiff Non Plasticity	SILTY SAND Black Loose Non Plasticity	7
6	SANDY SILT Light brown Very Soft Non Plasticity	4	6	23	CLAYEY SILT Brown Hard Non Plasticity	5
7			6	23	CLAYEY SILT Brown Hard Non Plasticity	
8		15	31	48	CLAYEY SILT Light Grey, Very Soft, LP	
9			31	48	SANDY SILT Light Grey Soft	
10	SILTY SAND Light Brown Medium Dense Non Plasticity	11	18	34	SILTY CLAY Brown Hard Low Plasticity	5
11		11	18	34		
12		20	38	49		
13			38	49		
14		18	27	43		
15	CEMENTED SAND Brown Very Dense Non Plasticity	18	27	43		
16		60	22	35		
17		60	22	35		
18	SAND Black Very Dense Non Plasticity	60	51	29	SILTY CLAY Dark Brown Very Hard, LP	60
19		60	51	29		
20		52	56	49		
21			56	49		
22		60	60	60		
23			60	60		
24		60	60	60		
25	CLAY Dark Brown Hard Non Plasticity	44	60	60		
26		44	60	60		
27	CEMENTED SAND Black Very Dense Non Plasticity	52	60	60		
28		52	60	60		
29			60	60		
30			58	58	CLAYEY SAND Dark Grey Very Dense Non Plasticity	43
			60	60		
			40	40	CLAYEY SILT Black Low Plasticity	46
			33	33		
			32	32		
			56	56		

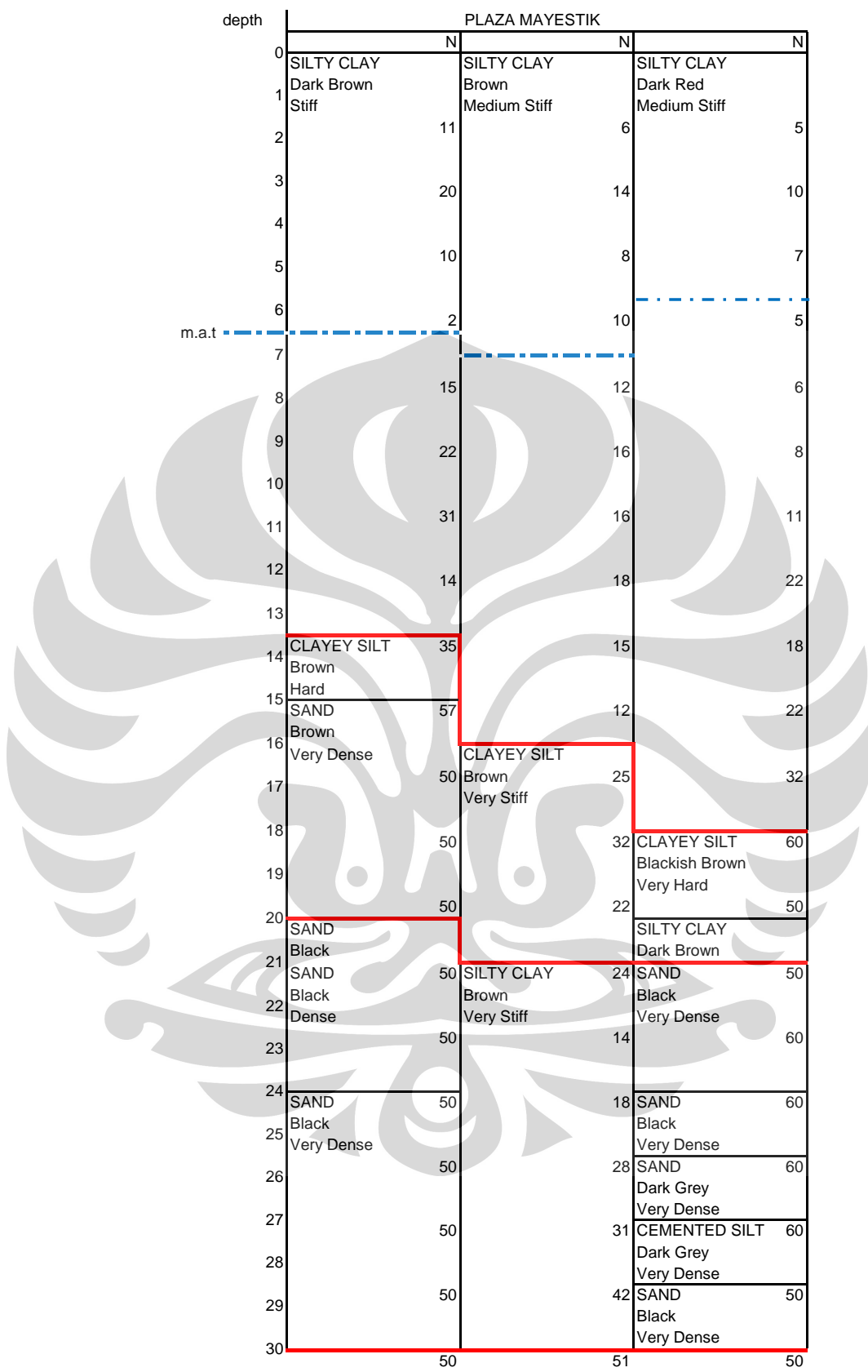


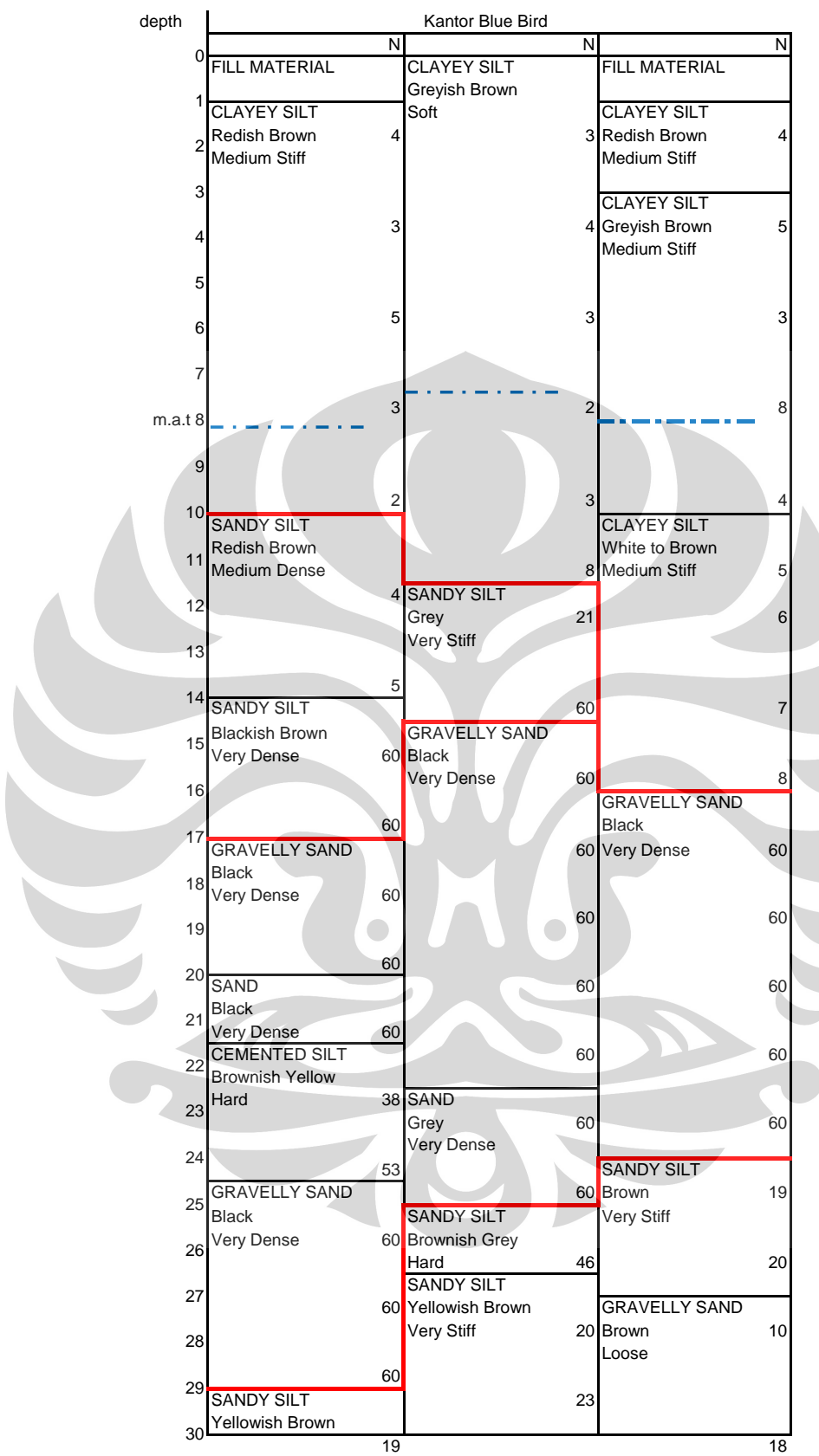


depth	Robert Susanto Office			
	N	N	N	
0	SILTY CLAY Redish Brown Soft High Plasticity	SILTY CLAY Redish Brown Soft High Plasticity	SILTY CLAY Redish Brown Soft High Plasticity	4
1				
2				
3		SILT		2
4		3 Brown Soft		3
m.a.t				
5	SILTY CLAY Greyish Brown	4	SILTY CLAY Yellowish Brown Soft	2
6				
7	SILTY CLAY Redish Brown High Plasticity	SILT Yellowish Brown	SILT Brown Soft	
8	SANDY SILT Brown	11 Yellowish Brown Medium Stiff	SILT 13 Brownish Grey Stiff	
9				
10	SILT Grey Hard	SANDY SILT Yellowish brown Medium Stiff	SANDY SILT Grey Compact	14
11				
12	GRAVELLY SAND Black	60 GRAVELLY SAND Black, Dense	GRAVELLY SAND Black	52
13	Very Dense			
14	SILT Brownish Grey	29 Black	SAND Black	60
15	SILT Brown	57 SAND Yellowish Brown Dense	SILT 60 Yellowish Brown Hard	
16	SAND Grey			
17	SANDY SILT Black	60 SAND Grey	SANDY SILT SAND Grey	60
18	SAND Black	60 Very Dense	SILT 60 Grey	
19	Very Dense			
20	SILT Brownish Grey Hard	60 Very ard	SILT 60 Grey Very Hard	
21				
22	60 SAND Grey	60 SANDY SILT Grey Hard	SANDY SILT Grey Hard	60
23	60 GRAVELLY SAND Black	SILT Grey Hard	SILT Grey Hard	
24	Very Dense	60		44
25	SILT Grey Stiff	25		48
26	SANDY SILT Black Stiff	60 SANDY SILT Grey Very Stiff	SANDY SILT Grey Very Stiff	
27	SAND Black			
28	Very Dense	60 GRAVELLY SAND Black	SANDY SILT Grey, Hard	60
29				
30	Very Dense	60 GRAVELLY SAND	SANDY SILT Grey, Hard	GRAVELLY SAND

	Gedung DIKTI				
depth	N	N	N	N	N
0	FILL MATERIAL	FILL MATERIAL	FILL MATERIAL	FILL MATERIAL	FILL MATERIAL
1	SILTY CLAY Dark Brown Soft High Plasticity	SILTY CLAY Dark Red Soft High Plasticity	SILTY CLAY Red Medium Stiff High Plasticity	SILTY CLAY Yellowish Red Medium Stiff High Plasticity	SILTY CLAY Yellowish Red Soft High Plasticity
2		7	5		14
3					8
4	CLAYEY SILT Yellowish Brown Stiff Low Plasticity	CLAYEY SILT Yellowish Red Very Soft Low Plasticity	CLAYEY SILT Yellowish Red Soft High Plasticity	9	
5		3	2		15
6					7
7					
8	CLAYEY SILT Light Brown Medium Stiff Low Plasticity	SILTY CLAY Yellowish Brown Soft Medium Plasticity	CLAYEY SILT Light Brown Hard Low Plasticity	14	
9		4	6		5
10					
m.a.t					
11	CLAYEY SILT Light Brown Hard Non Plasticity	16	9		41
12					31
13		17			46
14					
15		31			18
16	42	53	35		
17	SILTY SAND Grey Very Dense Non Plasticity	53	SILTY SAND Dark Brown Very Dense Non Plasticity	47	58
18	CLAYEY SAND Dark Brown Very Dense Non Plasticity	58			60
19					51
20					
21	SAND Black Very Dense Non Plasticity	60	CEMENTED SAND Black Very Dense Non Plasticity	60	
22		60			60
23	CEMENTED SAND Yellowish Brown Very Dense Non Plasticity	60			
24	SAND Black Very Dense Non Plasticity	60			
25	GRAVELLY SAND 60	58			
26	SAND Black Very Dense Non Plasticity	60			
27		58			
28	SILTY SAND Light Brown Very Dense Non Plasticity	58			
29		54			
30		60			







### C. Hasil Generalisasi Data Tanah

Tabel Generalisasi data JORR seksi W1

JORR Seksi W1		N-SPT rata-rata	$\gamma$ (T/m <sup>3</sup> )	PI
Kedalaman	jenis tanah			
0 - 3.5	SILTY CLAY	4	1.633	40
3.5 - 13.5	SILTY CLAY	8	1.538	33
13.5 - 30	SILTY CLAY	22	1.65	35

Tabel Generalisasi data Sam-Sat Sudin DKI

SAMSAT SUDIN DKI		N-SPT rata-rata	$\gamma$ (T/M3)	PI
Kedalaman	jenis tanah			
0 - 1.5	SILTY CLAY	2	1.52	-
1.5 - 9.5	SILTY CLAY	6	1.609	38
9.5 - 14	SILTY SAND	13	1.63	-
14 - 19.5	SILTY CLAY	18	1.571	34
19.5 - 30	SILTY CLAY	19	1.69	-

Tabel Generalisasi data Stasiun Angke

Stasiun Angke		N-SPT rata-rata	$\gamma$ (T/m <sup>3</sup> )	PI
Kedalaman	Jenis tanah			
1 - 17.5	SILTY CLAY	11	1.533	37
17.5 - 21	SAND	60	18	-
21 - 30	SILTY CLAY	23	1.73	-

Tabel Generalisasi data Metro TV Tower

Metro TV Tower		N-SPT rata-rata	$\gamma$ (T/m <sup>3</sup> )	PI
Kedalaman	Jenis tanah			
0 - 5	SILTY CLAY	7	1.76	50
5 - 11	CLAYEY SILT	8	1.62	53
11 - 19	SILTY SAND	43	1.8	-
19 - 30	CLAYEY SILT	23	1.76	13

Tabel Generalisasi data Apartemen Kuningan

Apartemen Kuningan Mall				
Kedalaman	jenis tanah	N-SPT	$\gamma$ (T/m <sup>3</sup> )	PI
0 - 23	CLAYEY SILT	14	1.56	33
23 - 29.5	SILT	43	1.488	22
29.5 - 40.5	CLAYEY SILT	37	1.577	29
40.5 - 60	CLAYEY SILT	36	1.808	29

Tabel Generalisasi data Hotel Clarion

Hotel Clarion				
Kedalaman	jenis tanah	N-SPT	$\gamma$ (T/m <sup>3</sup> )	PI
0 - 4.5	SILTY CLAY	6	1.711	30
4.5 - 9	SILTY CLAY	8	1.686	32
9 - 18	SILT	9	1.576	26
18 - 30	SAND	52	1.8	-

Tabel Generalisasi data Bapindo

Bapindo				
Kedalaman	jenis tanah	N-SPT	$\gamma$ (T/m <sup>3</sup> )	PI
0 - 7	CLAYEY SILT	7	1.652	36
7 - 11	CLAYEY SILT	23	1.547	34
11 - 13	CEMENTED CLAYEY SILT	54	1.622	24
13 - 20.5	CEMENTED SAND	45	1.709	18
20.5 - 31	CLAYEY SILT	34	1.846	27

Tabel Generalisasi data Puri Matari III

Puri Matari III				
Kedalaman	jenis tanah	N-SPT	$\gamma$ (T/m <sup>3</sup> )	PI
0 - 10.5	SILTY SAND	11	1.61	-
10.5 - 15	SILTY SAND	25	1.75	-
15 - 19	SILTY SAND	19	1.69	-
19 - 23	SANDY CLAY	23	1.73	-
23 - 24.5	SAND	60	1.8	-
24.5 - 30	SILTY CLAY	33	1.8	-

Tabel Generalisasi data Kemang Village

Kemang Village				
Kedalaman	jenis tanah	N-SPT	$\gamma$ (T/m <sup>3</sup> )	PI
0 - 6.5	SILTY CLAY	14	1.64	35
6.5 - 24.5	CEMENTED SILT	48	1.8	50
24.5 - 30	SILTY CLAY	36	1.8	58.4

Tabel Generalisasi data Bank Exim

Bank Exim				
Kedalaman	jenis tanah	N-SPT	$\sigma_w$ (T/m <sup>3</sup> )	PI
0 - 9	SILTY CLAY	11	1.61	-
9 - 17.5	CLAYEY SILT	8	1.65	41.8
17.5 - 24	CEMENTED SILT	40	1.635	-
24 - 30	SILTY FINE SAND	34	1.635	-

Tabel Generalisasi data Menara Wikaraga

Menara Wikaraga				
Kedalaman	jenis tanah	N-SPT	$\sigma_w$ (T/m <sup>3</sup> )	PI
0 - 3	SILTY CLAY	6	1.56	-
3 - 9	SILT	30	1.57	48
9 - 18.5	SILTY SAND	45	1.609	33
18.5 - 28	CLAY	38	1.591	34
28 - 30	SILT	35	1.548	47

Tabel Generalisasi data Departemen Pertanian

Departemen Pertanian				
Kedalaman	jenis tanah	N-SPT	$\gamma$ (T/m <sup>3</sup> )	PI
0 - 6.5	SILTY CLAY	11	1.449	41
6.5 - 16	SAND	30	1.541	-
16 - 24.5	CEMENTED SAND	51	1.8	-
24.5 - 30	SAND	46	1.8	-

Tabel Generalisasi data Asrama UI

Asrama UI				
Kedalaman	jenis tanah	N-SPT	$\sigma_w$ (T/m <sup>3</sup> )	PI
0 - 7.5	SILTY CLAY	7	1.658	45
7.5 - 13.5	CLAYEY SILT	11	1.571	35
13.5 - 30	SAND	57	1.8	-

Tabel Generalisasi data Graha Matra

Graha Matra				
Kedalaman	jenis tanah	N-SPT	$\sigma_w$ (T/m <sup>3</sup> )	PI
0 - 5.5	CLAY	4	1.54	-
5.5 - 13	SILTY CLAY	8	1.58	-
13 - 19.5	SAND	11	1.61	-
19.5 - 30	CEMENTED SILTY SAND	58	1.8	-

Tabel Generalisasi data Robert Susanto Office

Robert Susanto Office					
Kedalaman	jenis tanah	N-SPT	$\gamma$ (T/m <sup>3</sup> )	PI	
0 - 4.5	SILTY CLAY	3	1.53	-	
4.5 - 10.5	SILT	16	1.66	-	
10.5 - 14	GRAVELLY SAND	54	1.8	-	
14 - 16.5	SILT	47	1.8	-	
16.5 - 18.5	SAND	60	1.8	-	
18.5 - 21	SILT	60	1.8	-	
21 - 23	SANDY SILT	60	1.8	-	
23 - 26	SILT	42	1.8	-	
26 - 28.5	SANDY SILT	60	1.8	-	
28.5 - 30	GRAVELLY SAND	60	1.8	-	

Tabel Generalisasi data Gedung DIKTI

Gedung Dikti					
Kedalaman	jenis tanah	N-SPT	$\gamma$ (T/m <sup>3</sup> )	PI	
0 - 5.5	SILTY CLAY	10	1.663	32	
5.5 - 8.5	CLAYEY SILT	5	1.611	25	
8.5 - 16.5	CLAYEY SILT	33	1.571	-	
16.5 - 30	SAND	57	1.8	-	

Tabel Generalisasi data Ratu Prabu 3

Ratu Prabu 3		N-SPT rata-rata	$\gamma$ (T/M3)	PI
Kedalaman	jenis tanah			
0 - 7	SILTY CLAY	8	1.598	54.5
7 - 15	CLAYEY SILT	5	1.57	45
15 - 30	SILTY SAND	45	1.688	33

Tabel Generalisasi data Plaza Mayestik

Plaza Mayestik		N-SPT rata-rata	$\gamma$ (T/M3)	PI
Kedalaman	jenis tanah			
0 - 16	SILTY CLAY	13	1.553	51
16 - 19	CLAYEY SILT	42	1.599	41
19 - 30	SAND	51	1.8	-

Tabel Generalisasi data Kantor Blue Bird

Kantor Blue Bird		N-SPT rata-rata	$\gamma$ (T/M3)	PI
Kedalaman	jenis tanah			
0 - 12.5	CLAYEY SILT	4	1.627	32
12.5 - 16	SANDY SILT	6	1.548	13
16 - 26	GRAVELLY SAND	58	1.465	-
26 - 30	SANDY SILT	27	1.524	20

#### D. Penggunaan *Modulus Reduction* dan *Damping Curve*

Tabel *Damping Curve* dan *Modulus Reduction* JORR Seksyen W1

jenis tanah	PI	damping	moduli
SILTY CLAY	40	Soil with PI=50 (Vucetic & Dobry, JGE 1/91)	Soil with PI=50 (Vucetic & Dobry, JGE 1/91)
SILTY CLAY	33	Soil with PI=30 (Vucetic & Dobry, JGE 1/91)	Soil with PI=30 (Vucetic & Dobry, JGE 1/91)
SILTY CLAY	35	Soil with PI=30 (Vucetic & Dobry, JGE 1/91)	Soil with PI=30 (Vucetic & Dobry, JGE 1/91)

Tabel *Damping Curve* dan *Modulus Reduction* Sam-Sat Sudin DKI

jenis tanah	PI	damping	moduli
SILTY CLAY	-	Soil with PI=30 (Vucetic & Dobry, JGE 1/91)	Soil with PI=30 (Vucetic & Dobry, JGE 1/91)
SILTY CLAY	38	Soil with PI=30 (Vucetic & Dobry, JGE 1/91)	Soil with PI=30 (Vucetic & Dobry, JGE 1/91)
SILTY SAND	-	Soil with PI=0 (Vucetic & Dobry, JGE 1/91)	Soil with PI=0 (Vucetic & Dobry, JGE 1/91)
SILTY CLAY	34	Soil with PI=30 (Vucetic & Dobry, JGE 1/91)	Soil with PI=30 (Vucetic & Dobry, JGE 1/91)
SILTY CLAY	-	Soil with PI=30 (Vucetic & Dobry, JGE 1/91)	Soil with PI=30 (Vucetic & Dobry, JGE 1/91)

Tabel *Damping Curve* dan *Modulus Reduction* Stasiun Angke

Jenis tanah		damping	moduli
SILTY CLAY		Soil with PI=30 (Vucetic & Dobry, JGE 1/91)	Soil with PI=30 (Vucetic & Dobry, JGE 1/91)
SAND		SAND, Average (Seed & Idriss 1970)	SAND, Average (Seed & Idriss 1970)
SILTY CLAY		Soil with PI=30 (Vucetic & Dobry, JGE 1/91)	Soil with PI=30 (Vucetic & Dobry, JGE 1/91)

Tabel *Damping Curve* dan *Modulus Reduction* Metro TV Tower

Jenis tanah		damping	moduli
SILTY CLAY		Soil with PI=50 (Vucetic & Dobry, JGE 1/91)	Soil with PI=50 (Vucetic & Dobry, JGE 1/91)
CLAYEY SILT		Soil with PI=50 (Vucetic & Dobry, JGE 1/91)	Soil with PI=50 (Vucetic & Dobry, JGE 1/91)
SILTY SAND		Soil with PI=0 (Vucetic & Dobry, JGE 1/91)	Soil with PI=0 (Vucetic & Dobry, JGE 1/91)
CLAYEY SILT		Soil with PI=15 (Vucetic & Dobry, JGE 1/91)	Soil with PI=15 (Vucetic & Dobry, JGE 1/91)

Tabel *Damping Curve* dan *Modulus Reduction* Apartemen Kuningan

jenis tanah	PI	damping	moduli
CLAYEY SILT	33	Soil with PI=30 (Vucetic & Dobry, JGE 1/91)	Soil with PI=30 (Vucetic & Dobry, JGE 1/91)
SILT	22	Soil with PI=15 (Vucetic & Dobry, JGE 1/91)	Soil with PI=15 (Vucetic & Dobry, JGE 1/91)
CLAYEY SILT	29	Soil with PI=30 (Vucetic & Dobry, JGE 1/91)	Soil with PI=30 (Vucetic & Dobry, JGE 1/91)
CLAYEY SILT	29	Soil with PI=30 (Vucetic & Dobry, JGE 1/91)	Soil with PI=30 (Vucetic & Dobry, JGE 1/91)

Tabel *Damping Curve* dan *Modulus Reduction* Hotel Clarion

jenis tanah	PI	damping	moduli
SILTY CLAY	30	Soil with PI=30 (Vucetic & Dobry, JGE 1/91)	Soil with PI=30 (Vucetic & Dobry, JGE 1/91)
SILTY CLAY	32	Soil with PI=30 (Vucetic & Dobry, JGE 1/91)	Soil with PI=30 (Vucetic & Dobry, JGE 1/91)
SILT	26	Soil with PI=30 (Vucetic & Dobry, JGE 1/91)	Soil with PI=30 (Vucetic & Dobry, JGE 1/91)
SAND	-	SAND, Average (Seed & Idriss 1970)	SAND, Average (Seed & Idriss 1970)

Tabel Damping Curve dan Modulus Reduction Bapindo (1)

jenis tanah	PI	damping	moduli
CLAYEY SILT	36	Soil with PI=30 (Vucetic & Dobry, JGE 1/91)	Soil with PI=30 (Vucetic & Dobry, JGE 1/91)
CLAYEY SILT	34	Soil with PI=30 (Vucetic & Dobry, JGE 1/91)	Soil with PI=30 (Vucetic & Dobry, JGE 1/91)
CEMENTED CLAYEY SILT	24	Soil with PI=30 (Vucetic & Dobry, JGE 1/91)	Soil with PI=30 (Vucetic & Dobry, JGE 1/91)
CEMENTED SAND	18	Soil with PI=15 (Vucetic & Dobry, JGE 1/91)	Soil with PI=15 (Vucetic & Dobry, JGE 1/91)
CLAYEY SILT	27	Soil with PI=30 (Vucetic & Dobry, JGE 1/91)	Soil with PI=30 (Vucetic & Dobry, JGE 1/91)

Tabel Damping Curve dan Modulus Reduction Bapindo (2)

jenis tanah	PI	damping	moduli
CLAYEY SILT	36	Soil with PI=30 (Vucetic & Dobry, JGE 1/91)	Soil with PI=30 (Vucetic & Dobry, JGE 1/91)
CLAYEY SILT	34	Soil with PI=30 (Vucetic & Dobry, JGE 1/91)	Soil with PI=30 (Vucetic & Dobry, JGE 1/91)
CEMENTED CLAYEY SILT	24	Soil with PI=30 (Vucetic & Dobry, JGE 1/91)	Soil with PI=30 (Vucetic & Dobry, JGE 1/91)
CEMENTED SAND	18	SAND, Average (Seed & Idriss 1970)	SAND, Average (Seed & Idriss 1970)
CLAYEY SILT	27	Soil with PI=30 (Vucetic & Dobry, JGE 1/91)	Soil with PI=30 (Vucetic & Dobry, JGE 1/91)

Tabel Damping Curve dan Modulus Reduction Puri Matari III

jenis tanah	PI	damping	moduli
SILTY SAND	-	Soil with PI=0 (Vucetic & Dobry, JGE 1/91)	Soil with PI=0 (Vucetic & Dobry, JGE 1/91)
SILTY SAND	-	Soil with PI=0 (Vucetic & Dobry, JGE 1/91)	Soil with PI=0 (Vucetic & Dobry, JGE 1/91)
SILTY SAND	-	Soil with PI=0 (Vucetic & Dobry, JGE 1/91)	Soil with PI=0 (Vucetic & Dobry, JGE 1/91)
SANDY CLAY	-	Soil with PI=15 (Vucetic & Dobry, JGE 1/91)	Soil with PI=15 (Vucetic & Dobry, JGE 1/91)
SAND	-	SAND, Average (Seed & Idriss 1970)	SAND, Average (Seed & Idriss 1970)
SILTY CLAY	-	Soil with PI=15 (Vucetic & Dobry, JGE 1/91)	Soil with PI=15 (Vucetic & Dobry, JGE 1/91)

Tabel Damping Curve dan Modulus Reduction Kemang Village

jenis tanah	PI	damping	moduli
SILTY CLAY	35	Soil with PI=30 (Vucetic & Dobry, JGE 1/91)	Soil with PI=30 (Vucetic & Dobry, JGE 1/91)
CEMENTED SILT	50	Soil with PI=50 (Vucetic & Dobry, JGE 1/91)	Soil with PI=50 (Vucetic & Dobry, JGE 1/91)
SILTY CLAY	58.4	Soil with PI=50 (Vucetic & Dobry, JGE 1/91)	Soil with PI=50 (Vucetic & Dobry, JGE 1/91)

Tabel Damping Curve dan Modulus Reduction Bank Exim

jenis tanah	PI	damping	moduli
SILTY CLAY	-	Soil with PI=30 (Vucetic & Dobry, JGE 1/91)	Soil with PI=30 (Vucetic & Dobry, JGE 1/91)
CLAYEY SILT	42	Soil with PI=50 (Vucetic & Dobry, JGE 1/91)	Soil with PI=50 (Vucetic & Dobry, JGE 1/91)
CEMENTED SILT	-	Soil with PI=15 (Vucetic & Dobry, JGE 1/91)	Soil with PI=15 (Vucetic & Dobry, JGE 1/91)
SILTY FINE SAND	-	Soil with PI=0 (Vucetic & Dobry, JGE 1/91)	Soil with PI=0 (Vucetic & Dobry, JGE 1/91)

Tabel Damping Curve dan Modulus Reduction Menara Wikaraga (1)

jenis tanah	PI	damping	moduli
SILTY CLAY	-	Soil with PI=30 (Vucetic & Dobry, JGE 1/91)	Soil with PI=30 (Vucetic & Dobry, JGE 1/91)
SILT	48	Soil with PI=50 (Vucetic & Dobry, JGE 1/91)	Soil with PI=50 (Vucetic & Dobry, JGE 1/91)
SILTY SAND	33	Soil with PI=30 (Vucetic & Dobry, JGE 1/91)	Soil with PI=30 (Vucetic & Dobry, JGE 1/91)
CLAY	34	Soil with PI=30 (Vucetic & Dobry, JGE 1/91)	Soil with PI=30 (Vucetic & Dobry, JGE 1/91)
SILT	47	Soil with PI=50 (Vucetic & Dobry, JGE 1/91)	Soil with PI=50 (Vucetic & Dobry, JGE 1/91)

Tabel Damping Curve dan Modulus Reduction Menara Wikaraga (2)

jenis tanah	PI	damping	moduli
SILTY CLAY	-	Soil with PI=30 (Vucetic & Dobry, JGE 1/91)	Soil with PI=30 (Vucetic & Dobry, JGE 1/91)
SILT	48	Soil with PI=50 (Vucetic & Dobry, JGE 1/91)	Soil with PI=50 (Vucetic & Dobry, JGE 1/91)
SILTY SAND	-	Soil with PI=0 (Vucetic & Dobry, JGE 1/91)	Soil with PI=0 (Vucetic & Dobry, JGE 1/91)
CLAY	34	Soil with PI=30 (Vucetic & Dobry, JGE 1/91)	Soil with PI=30 (Vucetic & Dobry, JGE 1/91)
SILT	47	Soil with PI=50 (Vucetic & Dobry, JGE 1/91)	Soil with PI=50 (Vucetic & Dobry, JGE 1/91)

Tabel Damping Curve dan Modulus Reduction Departemen Pertanian

jenis tanah	PI	damping	moduli
SILTY CLAY	41	Soil with PI=50 (Vucetic & Dobry, JGE 1/91)	Soil with PI=50 (Vucetic & Dobry, JGE 1/91)
SAND	-	SAND, Average (Seed & Idriss 1970)	SAND, Average (Seed & Idriss 1970)
CEMENTED SAND	-	SAND, Average (Seed & Idriss 1970)	SAND, Average (Seed & Idriss 1970)
SAND	-	SAND, Average (Seed & Idriss 1970)	SAND, Average (Seed & Idriss 1970)

Tabel Damping Curve dan Modulus Reduction Asrama UI

jenis tanah	PI	damping	moduli
SILTY CLAY	45	Soil with PI=50 (Vucetic & Dobry, JGE 1/91)	Soil with PI=50 (Vucetic & Dobry, JGE 1/91)
CLAYEY SILT	35	Soil with PI=30 (Vucetic & Dobry, JGE 1/91)	Soil with PI=30 (Vucetic & Dobry, JGE 1/91)
SAND	-	SAND, Average (Seed & Idriss 1970)	SAND, Average (Seed & Idriss 1970)

Tabel Damping Curve dan Modulus Reduction Graha Matra

jenis tanah	PI	damping	moduli
CLAY	-	Soil with PI=30 (Vucetic & Dobry, JGE 1/91)	Soil with PI=30 (Vucetic & Dobry, JGE 1/91)
SILTY CLAY	-	Soil with PI=30 (Vucetic & Dobry, JGE 1/91)	Soil with PI=30 (Vucetic & Dobry, JGE 1/91)
SAND	-	SAND, Average (Seed & Idriss 1970)	SAND, Average (Seed & Idriss 1970)
CEMENTED SILTY SAND	-	Soil with PI=0 (Vucetic & Dobry, JGE 1/91)	Soil with PI=0 (Vucetic & Dobry, JGE 1/91)

Tabel Damping Curve dan Modulus Reduction Robert Susanto Office

jenis tanah	PI	damping	moduli
SILTY CLAY	-	Soil with PI=30 (Vucetic & Dobry, JGE 1/91)	Soil with PI=30 (Vucetic & Dobry, JGE 1/91)
SILT	-	Soil with PI=15 (Vucetic & Dobry, JGE 1/91)	Soil with PI=15 (Vucetic & Dobry, JGE 1/91)
GRAVELLY SAND	-	SAND, Average (Seed & Idriss 1970)	SAND, Average (Seed & Idriss 1970)
SILT	-	Soil with PI=15 (Vucetic & Dobry, JGE 1/91)	Soil with PI=15 (Vucetic & Dobry, JGE 1/91)
SAND	-	SAND, Average (Seed & Idriss 1970)	SAND, Average (Seed & Idriss 1970)
SILT	-	Soil with PI=15 (Vucetic & Dobry, JGE 1/91)	Soil with PI=15 (Vucetic & Dobry, JGE 1/91)
SANDY SILT	-	Soil with PI=0 (Vucetic & Dobry, JGE 1/91)	Soil with PI=0 (Vucetic & Dobry, JGE 1/91)
SILT	-	Soil with PI=15 (Vucetic & Dobry, JGE 1/91)	Soil with PI=15 (Vucetic & Dobry, JGE 1/91)
SANDY SILT	-	Soil with PI=0 (Vucetic & Dobry, JGE 1/91)	Soil with PI=0 (Vucetic & Dobry, JGE 1/91)
GRAVELLY SAND	-	SAND, Average (Seed & Idriss 1970)	SAND, Average (Seed & Idriss 1970)

Tabel Damping Curve dan Modulus Reduction Gedung DIKTI

jenis tanah	PI	damping	moduli
SILTY CLAY	32	Soil with PI=30 (Vucetic & Dobry, JGE 1/91)	Soil with PI=30 (Vucetic & Dobry, JGE 1/91)
CLAYEY SILT	25	Soil with PI=30 (Vucetic & Dobry, JGE 1/91)	Soil with PI=30 (Vucetic & Dobry, JGE 1/91)
CLAYEY SILT	-	Soil with PI=0 (Vucetic & Dobry, JGE 1/91)	Soil with PI=0 (Vucetic & Dobry, JGE 1/91)
SAND	-	SAND, Average (Seed & Idriss 1970)	SAND, Average (Seed & Idriss 1970)

Tabel Damping Curve dan Modulus Reduction Ratu Prabu 3 (1)

jenis tanah	damping	moduli
SILTY CLAY	Soil with PI=50 (Vucetic & Dobry, JGE 1/91)	Soil with PI=50 (Vucetic & Dobry, JGE 1/91)
CLAYEY SILT	Soil with PI=50 (Vucetic & Dobry, JGE 1/91)	Soil with PI=50 (Vucetic & Dobry, JGE 1/91)
SILTY SAND	Soil with PI=30 (Vucetic & Dobry, JGE 1/91)	Soil with PI=30 (Vucetic & Dobry, JGE 1/91)

Tabel Damping Curve dan Modulus Reduction Ratu Prabu 3 (2)

jenis tanah	damping	moduli
SILTY CLAY	Soil with PI=50 (Vucetic & Dobry, JGE 1/91)	Soil with PI=50 (Vucetic & Dobry, JGE 1/91)
CLAYEY SILT	Soil with PI=50 (Vucetic & Dobry, JGE 1/91)	Soil with PI=50 (Vucetic & Dobry, JGE 1/91)
SILTY SAND	Soil with PI=0 (Vucetic & Dobry, JGE 1/91)	Soil with PI=0 (Vucetic & Dobry, JGE 1/91)

Tabel Damping Curve dan Modulus Reduction Plaza Mayestik

jenis tanah	damping	moduli
SILTY CLAY	Soil with PI=50 (Vucetic & Dobry, JGE 1/91)	Soil with PI=50 (Vucetic & Dobry, JGE 1/91)
CLAYEY SILT	Soil with PI=50 (Vucetic & Dobry, JGE 1/91)	Soil with PI=50 (Vucetic & Dobry, JGE 1/91)
SAND	SAND, Average (Seed & Idriss 1970)	SAND, Average (Seed & Idriss 1970)

Tabel Damping Curve dan Modulus Reduction Kantor Blue Bird (1)

jenis tanah	damping	moduli
CLAYEY SILT	Soil with PI=30 (Vucetic & Dobry, JGE 1/91)	Soil with PI=30 (Vucetic & Dobry, JGE 1/91)
SANDY SILT	Soil with PI=15 (Vucetic & Dobry, JGE 1/91)	Soil with PI=15 (Vucetic & Dobry, JGE 1/91)
GRAVELLY SAND	SAND, Average (Seed & Idriss 1970)	SAND, Average (Seed & Idriss 1970)
SANDY SILT	Soil with PI=15 (Vucetic & Dobry, JGE 1/91)	Soil with PI=15 (Vucetic & Dobry, JGE 1/91)

Tabel Damping Curve dan Modulus Reduction Kantor Blue Bird (2)

jenis tanah	damping	moduli
CLAYEY SILT	Soil with PI=30 (Vucetic & Dobry, JGE 1/91)	Soil with PI=30 (Vucetic & Dobry, JGE 1/91)
SANDY SILT	Soil with PI=0 (Vucetic & Dobry, JGE 1/91)	Soil with PI=0 (Vucetic & Dobry, JGE 1/91)
GRAVELLY SAND	SAND, Average (Seed & Idriss 1970)	SAND, Average (Seed & Idriss 1970)
SANDY SILT	Soil with PI=0 (Vucetic & Dobry, JGE 1/91)	Soil with PI=0 (Vucetic & Dobry, JGE 1/91)

## E. Input Data Tanah

Tabel Input tanah JORR seksi W1

JORR Seksi W1			m.a.t = 0.8 m			
Kedalaman	Lapisan	Jenis	Tebal (m)	$\gamma$ (KN/m <sup>3</sup> )	N-SPT	$K_0$
1.75	1	1	1.75	16.33	3	2.08
3.5	2	1	1.75	16.33	4	1.85
3.75	3	2	0.25	15.38	4	1.68
4.75	4	2	1	15.38	9	2.39
5.75	5	2	1	15.38	9	2.14
6.75	6	2	1	15.38	6	1.72
7.75	7	2	1	15.38	7	1.70
8.75	8	2	1	15.38	11	1.99
9.75	9	2	1	15.38	7	1.54
10.75	10	2	1	15.38	8	1.54
11.75	11	2	1	15.38	8	1.51
13.5	12	2	1.75	15.38	16	2.05
13.75	13	3	0.25	16.5	16	1.77
14.75	14	3	1	16.5	30	2.40
15.75	15	3	1	16.5	22	1.98
16.75	16	3	1	16.5	20	1.84
17.75	17	3	1	16.5	16	1.61
18.75	18	3	1	16.5	16	1.57
19.75	19	3	1	16.5	15	1.48
20.75	20	3	1	16.5	19	1.62
21.75	21	3	1	16.5	18	1.55
22.75	22	3	1	16.5	16	1.44
23.75	23	3	1	16.5	22	1.62
24.75	24	3	1	16.5	21	1.59
25.75	25	3	1	16.5	22	1.56
26.75	26	3	1	16.5	18	1.40
27.75	27	3	1	16.5	23	1.54
28.75	28	3	1	16.5	28	1.68
29.75	29	3	1	16.5	31	1.73
30	30	3	0.25	16.5	29	1.66

Tabel Input tanah Sam-Sat Sudin DKI

SAMSAT SUDIN DKI			mat = 5.5 m			
Kedalaman	Lapisan	Jenis	Tebal (m)	$\gamma$ (KN/m <sup>3</sup> )	N-SPT	Ko
1.5	1	1	1.5	15.2	2	1.85
2.25	2	2	0.75	16.09	6	1.97
3.25	3	2	1	16.09	7	1.76
5	4	2	1.75	16.09	5	1.21
7	5	2	2	16.09	4	0.92
9.5	6	2	2.5	16.09	7	1.14
11	7	3	1.5	16.3	10	1.25
14	8	3	3	16.3	14	1.40
15	9	4	1	15.71	19	1.64
16.25	10	4	1.25	15.71	24	1.80
17.25	11	4	1	15.71	14	1.35
19.5	12	4	2.25	15.71	20	1.54
21	13	5	1.5	16.9	10	1.00
22.75	14	5	1.75	16.9	19	1.32
23.75	15	5	1	16.9	17	1.24
25	16	5	1.25	16.9	22	1.39
27	17	5	2	16.9	20	1.29
29	18	5	2	16.9	22	1.32
30	19	5	1	16.9	22	1.29

Tabel Input tanah Stasiun Angke

Stasiun Angke			mat = 4 m			
Kedalaman	lapisan	Jenis	Tebal (m)	$\gamma$ (KN/m <sup>3</sup> )	N-SPT	Ko
4	1	1	4	15.33	1	0.80
7	2	1	3	15.33	2	0.75
10	3	1	3	15.33	2	0.73
13	4	1	3	15.33	6	1.14
15	5	1	2	15.33	17	1.80
17.5	6	1	2.5	15.33	36	2.47
21	7	2	3.5	18	60	2.53
23	8	3	2	18	31	1.72
27.5	9	3	4.5	17.3	14	1.20
30	10	3	2.5	17.3	23	1.37

Tabel Input Tanah Metro TV Tower

Metro TV Tower			mat = 5.93 m			
Kedalaman	Lapisan	Jenis	Tebal (m)	$\gamma$ (KN/m <sup>3</sup> )	N-SPT	Ko
2.25	1	1	2.25	17.6	6	2.43
3.75	2	1	1.5	17.6	8	1.75
5	3	1	1.25	17.6	7	1.33
6.75	4	2	1.75	16.2	6	1.08
8.25	5	2	1.5	16.2	7	1.14
9.75	6	2	1.5	16.2	12	1.41
11	7	2	1.25	16.2	16	1.59
12.75	8	3	1.75	18	46	2.41
14.25	9	3	1.5	18	50	2.41
15.75	10	3	1.5	18	50	2.33
17.25	11	3	1.5	18	48	2.22
18.75	12	3	1.5	18	50	2.19
19	13	3	0.25	18	28	1.61
21.75	14	4	2.75	17.6	21	1.38
23.25	15	4	1.5	17.6	18	1.23
24.75	16	4	1.5	17.6	27	1.46
26.25	17	4	1.5	17.6	29	1.50
27.75	18	4	1.5	17.6	31	1.51
29.25	19	4	1.5	17.6	15	1.01
30	20	4	0.75	17.6	19	1.13

Tabel Input tanah Apartemen Kuningan

Apartemen Kuningan			mat = 10.15 m			
Kedalaman	Lapisan	Jenis	Tebal (m)	$\gamma$ (KN/m3)	N-SPT	Ko
2.5	1	1	2.5	15.6	4	1.95
4.5	2	1	2	15.6	6	1.49
6.5	3	1	2	15.6	3	0.83
8	4	1	1.5	15.6	6	0.97
10	5	1	2	15.6	6	0.89
12.25	6	1	2.25	15.6	6	0.86
13.75	7	1	1.5	15.6	7	0.85
15.25	8	1	1.5	15.6	19	1.42
16.5	9	1	1.25	15.6	29	1.73
17.25	10	1	0.75	15.6	28	1.68
18.25	11	1	1	15.6	20	1.38
19.5	12	1	1.25	15.6	35	1.82
20.5	13	1	1	15.6	25	1.51
21.75	14	1	1.25	15.6	36	1.80
23	15	2	1.25	14.88	43	1.99
24	16	2	1	14.88	25	1.51
24.75	17	2	0.75	14.88	20	1.33
25.25	18	2	0.5	14.88	45	1.98
25.75	19	2	0.5	14.88	16	1.18
26.25	20	2	0.5	14.88	18	1.24
26.75	21	2	0.5	14.88	60	2.25
27.25	22	2	0.5	14.88	36	1.72
27.75	23	2	0.5	14.88	30	1.58
28.25	24	2	0.5	14.88	27	1.47
28.75	25	2	0.5	14.88	60	2.21
29.5	26	2	0.75	14.88	60	2.19
29.75	27	3	0.25	15.77	37	1.62
30	28	3	0.25	15.77	60	2.07

Tabel Input tanah Hotel Clarion

Hotel Clarion			mat = 9.5 m			
Kedalaman	Lapisan	Jenis	Tebal (m)	$\gamma$ (KN/m <sup>3</sup> )	N-SPT	Ko
2.25	1	1	2.25	17.11	6	2.47
3.25	2	1	1	17.11	4	1.29
4.5	3	1	1.25	17.11	8	1.53
5.25	4	2	0.75	16.86	9	1.46
6.5	5	2	1.25	16.86	2	0.63
7.75	6	2	1.25	16.86	2	0.57
8.25	7	2	0.5	16.86	16	1.52
9	8	2	0.75	16.86	6	0.90
9.75	9	3	0.75	15.76	3	0.63
10.5	10	3	0.75	15.76	3	0.62
11.5	11	3	1	15.76	6	0.86
12.5	12	3	1	15.76	6	0.84
13.5	13	3	1	15.76	4	0.68
14.25	14	3	0.75	15.76	6	0.82
15.25	15	3	1	15.76	7	0.87
16.75	16	3	1.5	15.76	18	1.36
18	17	3	1.25	15.76	60	2.45
18.5	18	4	0.5	18	24	1.39
19.5	19	4	1	18	60	2.18
20.5	20	4	1	18	44	1.82
21.5	21	4	1	18	60	2.11
22.5	22	4	1	18	56	2.00
23.5	23	4	1	18	60	2.05
24.5	24	4	1	18	56	1.94
25.5	25	4	1	18	60	1.99
26.5	26	4	1	18	60	1.97
27.5	27	4	1	18	60	1.94
28.5	28	4	1	18	40	1.56
29.5	29	4	1	18	60	1.89
30	30	4	0.5	18	53	1.76

Tabel Input tanah Bapindo

Bapindo			m.a.t = 4.1 m			
Kedalaman	Lapisan	Jenis	Tebal (m)	$\gamma$ (KN/m <sup>3</sup> )	N-SPT	Ko
2	1	1	2	16.52	5	2.43
4	2	1	2	16.52	5	1.45
5.75	3	1	1.75	16.52	10	1.65
7	4	1	1.25	16.52	9	1.43
9.25	5	2	2.25	15.47	25	2.22
11	6	2	1.75	15.47	38	2.56
13	7	3	2	16.22	43	2.58
13.5	8	4	0.5	17.09	53	2.77
14.75	9	4	1.25	17.09	44	2.31
16.25	10	4	1.5	17.09	46	2.28
18	11	4	1.75	17.09	42	2.10
20.5	12	4	2.5	17.09	48	2.14
21	13	5	0.5	18.46	54	2.21
22.25	14	5	1.25	18.46	51	2.11
23.75	15	5	1.5	18.46	57	2.17
25.25	16	5	1.5	18.46	17	1.16
27	17	5	1.75	18.46	28	1.44
28.75	18	5	1.75	18.46	21	1.22
30	19	5	1.25	18.46	20	1.16

Tabel Input tanah Puri Matari III

Puri Matari III			m.a.t = 11 m			
Kedalaman	Lapisan	Jenis	Tebal (m)	$\gamma$ (KN/m <sup>3</sup> )	N-SPT	Ko
5.75	1	1	5.75	16.1	4	1.30
6.5	2	1	0.75	16.1	5	0.99
7.25	3	1	0.75	16.1	7	1.11
8	4	1	0.75	16.1	9	1.20
8.75	5	1	0.75	16.1	16	1.52
9.5	6	1	0.75	16.1	13	1.31
10.5	7	1	1	16.1	14	1.30
11	8	2	0.5	17.5	26	1.64
11.75	9	2	0.75	17.5	12	1.09
12.5	10	2	0.75	17.5	11	1.03
13.25	11	2	0.75	17.5	25	1.54
14	12	2	0.75	17.5	60	2.35
15	13	2	1	17.5	18	1.27
15.5	14	3	0.5	16.9	26	1.54
16.25	15	3	0.75	16.9	17	1.23
17	16	3	0.75	16.9	23	1.41
17.75	17	3	0.75	16.9	20	1.30
19	18	3	1.25	16.9	22	1.35
19.25	19	4	0.25	17.3	15	1.08
20	20	4	0.75	17.3	14	1.04
20.75	21	4	0.75	17.3	19	1.20
21.5	22	4	0.75	17.3	23	1.30
22.25	23	4	0.75	17.3	31	1.50
23	24	4	0.75	17.3	26	1.36
23.75	25	5	0.75	18	60	1.99
24.5	26	5	0.75	18	60	1.97
25.25	27	6	0.75	18	44	1.67
26	28	6	0.75	18	60	1.93
27.25	29	6	1.25	18	22	1.15
28.75	30	6	1.5	18	16	0.97
30	31	6	1.25	18	21	1.09

Tabel Input tanah Kemang Village

Kemang Village			m.a.t = 1.3 m			
Kedalaman	Lapisan	Jenis	Tebal (m)	$\gamma$ (KN/m <sup>3</sup> )	N-SPT	Ko
3	1	1	3	16.4	6	2.35
5	2	1	2	16.4	20	3.16
6.5	3	1	1.5	16.4	33	3.57
9	4	2	2.5	18	38	3.16
11	5	2	2	18	45	3.08
13	6	2	2	18	38	2.60
15	7	2	2	18	49	2.77
17	8	2	2	18	50	2.63
19	9	2	2	18	49	2.48
21	10	2	2	18	48	2.33
23	11	2	2	18	46	2.17
24.5	12	2	1.5	18	58	2.35
27	13	3	2.5	18	56	2.23
29	14	3	2	18	50	2.03
30	15	3	1	18	45	1.89

Tabel Input tanah Bank Exim

Bank Exim			m.a.t = 8 m			
Kedalaman	Lapisan	jenis	Tebal (m)	$\gamma$ (KN/m <sup>3</sup> )	N-SPT	Ko
4.5	1	1	4.5	16.1	12	2.54
9	2	1	4.5	16.1	10	1.33
10.5	3	2	1.5	16.5	4	0.70
12.25	4	2	1.75	16.5	6	0.87
13.75	5	2	1.5	16.5	8	0.95
17.5	6	2	3.75	16.5	15	1.27
18.5	7	3	1	16.35	49	2.21
20	8	3	1.5	16.35	41	1.99
21.75	9	3	1.75	16.35	45	2.03
24	10	3	2.25	16.35	36	1.77
24.5	11	4	0.5	16.35	28	1.53
26	12	4	1.5	16.35	42	1.85
27.5	13	4	1.5	16.35	37	1.71
29	14	4	1.5	16.35	8	0.78

30	15	4	1	16.35	50	1.91
----	----	---	---	-------	----	------

Tabel Input tanah Menara Wikaraga

Menara Wikaraga			m.a.t = 9.9 m			
Kedalaman	Lapisan	jenis	Tebal (m)	$\gamma$ (KN/m <sup>3</sup> )	N-SPT	Ko
3	1	1	3	15.6	8	2.58
4.5	2	2	1.5	15.6	7	1.53
6.5	3	2	2	15.6	4	0.88
9	4	2	2.5	15.6	7	1.05
10.5	5	3	1.5	16.09	29	1.94
12.5	6	3	2	16.09	33	1.94
14.5	7	3	2	16.09	13	1.18
16.25	8	3	1.75	16.09	11	1.06
18.5	9	3	2.25	16.09	35	1.83
19.25	10	4	0.75	15.91	21	1.39
20.75	11	4	1.5	15.91	60	2.32
22.25	12	4	1.5	15.91	21	1.35
23.75	13	4	1.5	15.91	29	1.55
25.25	14	4	1.5	15.91	60	2.19
26.75	15	4	1.5	15.91	52	2.00
28	16	4	1.25	15.91	47	1.88
30	17	5	2	15.48	56	2.06

Tabel Input tanah Departemen Pertanian

Dep Pertanian			m.a.t = 5.5 m				
Kedalaman	Lapisan	Jenis	Tebal (m)	$\gamma$ (KN/m <sup>3</sup> )	N-SPT	Ko	
3	1	1	3	14.49	6	2.32	
5	2	1	2	14.49	6	1.80	
6.5	3	1	1.5	14.49	9	1.93	
9	4	2	2.5	15.41	25	2.65	
11	5	2	2	15.41	17	1.98	
13	6	2	2	15.41	33	2.54	
16	7	2	3	15.41	37	2.42	
17	8	3	1	18	44	2.37	
19	9	3	2	18	46	2.29	
21	10	3	2	18	53	2.34	
23	11	3	2	18	55	2.28	
24.5	12	3	1.5	18	56	2.23	
27	13	4	2.5	18	54	2.08	
29	14	4	2	18	55	2.03	
30	15	4	1	18	52	1.94	

Tabel Input tanah Asrama UI

Asrama UI			m.a.t = 6.35 m			
Kedalaman	Lapisan	Jenis	Tebal (m)	$\gamma$ (KN/m <sup>3</sup> )	N-SPT	Ko
1.75	1	1	1.75	16.58	5	2.59
2.75	2	1	1	16.58	7	1.87
3.75	3	1	1	16.58	10	1.85
4.75	4	1	1	16.58	7	1.39
5.75	5	1	1	16.58	7	1.25
7.5	6	1	1.75	16.58	8	1.18
7.75	7	2	0.25	15.71	6	1.00
8.5	8	2	0.75	15.71	4	0.84
9.25	9	2	0.75	15.71	10	1.31
9.75	10	2	0.5	15.71	4	0.81
10.75	11	2	1	15.71	7	1.08
11.75	12	2	1	15.71	14	1.44
13.5	13	2	1.75	15.71	14	1.44
13.75	14	3	0.25	18	34	1.96
14.75	15	3	1	18	48	2.29
15.75	16	3	1	18	60	2.51
16.75	17	3	1	18	48	2.21
17.75	18	3	1	18	41	1.99
18.75	19	3	1	18	60	2.36
19.75	20	3	1	18	60	2.32
20.75	21	3	1	18	60	2.28
21.75	22	3	1	18	60	2.24
22.5	23	3	0.75	18	60	2.21
23.25	24	3	0.75	18	60	2.18
23.75	25	3	0.5	18	60	2.16
24.5	26	3	0.75	18	51	1.97
25.25	27	3	0.75	18	60	2.11
25.75	28	3	0.5	18	60	2.09
26.75	29	3	1	18	60	2.07
27.75	30	3	1	18	60	2.04
28.75	31	3	1	18	60	2.01
29.75	32	3	1	18	60	1.98
30	33	3	0.25	18	60	1.97

Tabel Input tanah Graha Matra

Graha Matra			m.a.t = 8 m			
Kedalaman	lapisan	Jenis	Tebal (m)	$\gamma$ (KN/m <sup>3</sup> )	N-SPT	Ko
3.5	1	1	3.5	15.4	3	1.47
5.5	2	1	2	15.4	4	1.06
7.25	3	2	1.75	15.8	6	1.08
9	4	2	1.75	15.8	5	0.88
11	5	2	2	15.8	10	1.19
13	6	2	2	15.8	9	1.08
15	7	3	2	16.1	7	0.91
17	8	3	2	16.1	11	1.10
19.5	9	3	2.5	16.1	16	1.28
21	10	4	1.5	18	60	2.20
23	11	4	2	18	50	1.95
25	12	4	2	18	60	2.07
27	13	4	2	18	60	2.02
29	14	4	2	18	60	1.96
30	15	4	1	18	60	1.92

Tabel Input tanah Robert Susanto Office

Robert Susanto Office			m.a.t = 4.4 m			
Kedalaman	Lapisan	Jenis	Tebal (m)	$\gamma$ (KN/m <sup>3</sup> )	N-SPT	Ko
2	1	1	2	15.30	4	2.16
3	2	1	1	15.30	2	1.01
4.5	3	1	1.5	15.30	3	1.01
6.5	4	2	2	16.60	3	0.85
8.25	5	2	1.75	16.60	11	1.52
9.25	6	2	1	16.60	15	1.67
10.5	7	2	1.25	16.60	13	1.52
11.25	8	3	0.75	18.00	49	2.69
12.75	9	3	1.5	18.00	57	2.83
14	10	3	1.25	18.00	50	2.53
16.5	11	4	2.5	18.00	59	2.63
17.25	12	5	0.75	18.00	60	2.56
18.5	13	5	1.25	18.00	60	2.50
21	14	6	2.5	18.00	60	2.41
21.75	15	7	0.75	18.00	60	2.33
23	16	7	1.25	18.00	60	2.29
24.75	17	8	1.75	18.00	49	2.02
26	18	8	1.25	18.00	40	1.78
27.5	19	9	1.5	18.00	60	2.13
28.5	20	9	1	18.00	60	2.09
30	21	10	1.5	18.00	60	2.05

Tabel Input tanah Gedung DIKTI

Gedung Dikti			m.a.t = 9.7 m			
Kedalaman	Lapisan	jenis	Tebal (m)	$\gamma$ (KN/m <sup>3</sup> )	N-SPT	Ko
1.75	1	1	1.75	16.63	7	3.06
2.5	2	1	0.75	16.63	13	2.68
3.5	3	1	1	16.63	7	1.59
4.25	4	1	0.75	16.63	9	1.65
4.75	5	1	0.5	16.63	15	1.98
5.5	6	1	0.75	16.63	3	0.83
6.25	7	2	0.75	16.11	8	1.28
6.75	8	2	0.5	16.11	7	1.14
8.5	9	2	1.75	16.11	6	0.98
9.5	10	3	1	15.71	5	0.79
10.5	11	3	1	15.71	16	1.42
12	12	3	1.5	15.71	27	1.81
13.5	13	3	1.5	15.71	32	1.90
14.5	14	3	1	15.71	31	1.85
15.5	15	3	1	15.71	32	1.84
16.5	16	3	1	15.71	56	2.40
17.5	17	4	1	18	55	2.15
18.5	18	4	1	18	54	2.08
19.5	19	4	1	18	59	2.16
20.5	20	4	1	18	60	2.13
21.25	21	4	0.75	18	60	2.11
21.75	22	4	0.5	18	60	2.09
22.5	23	4	0.75	18	60	2.07
23.25	24	4	0.75	18	59	2.03
23.75	25	4	0.5	18	60	2.03
24.5	26	4	0.75	18	58	1.98
25.25	27	4	0.75	18	59	1.97
25.75	28	4	0.5	18	60	1.97
26.5	29	4	0.75	18	58	1.92
27.25	30	4	0.75	18	59	1.93
27.75	31	4	0.5	18	60	1.92
28.5	32	4	0.75	18	54	1.81
29.25	33	4	0.75	18	49	1.71
29.75	34	4	0.5	18	60	1.87
30	35	4	0.25	18	53	1.75

Tabel Input tanah Ratu Prabu 3

Ratu Prabu 3			mat = 8.08 m			
Kedalaman	Lapisan	Jenis	Tebal (m)	$\gamma$ (KN/m <sup>3</sup> )	N-SPT	Ko
2.5	1	1	2.5	15.98	6	2.32
4	2	1	1.5	15.98	11	1.99
5.5	3	1	1.5	15.98	8	1.39
7	4	1	1.5	15.98	7	1.15
8.25	5	2	1.25	15.7	4	0.77
9.75	6	2	1.5	15.7	6	0.94
11.25	7	2	1.5	15.7	5	0.83
12.75	8	2	1.5	15.7	7	0.96
14.25	9	2	1.5	15.7	6	0.82
15	10	2	0.75	15.7	24	1.69
17.25	11	3	2.25	16.88	35	1.88
18.75	12	3	1.5	16.88	49	2.16
20.25	13	3	1.5	16.88	50	2.13
21.75	14	3	1.5	16.88	50	2.08
23.25	15	3	1.5	16.88	47	1.98
24.75	16	3	1.5	16.88	48	1.95
26.25	17	3	1.5	16.88	50	1.95
27.75	18	3	1.5	16.88	50	1.91
30	19	3	2.25	16.88	50	1.87

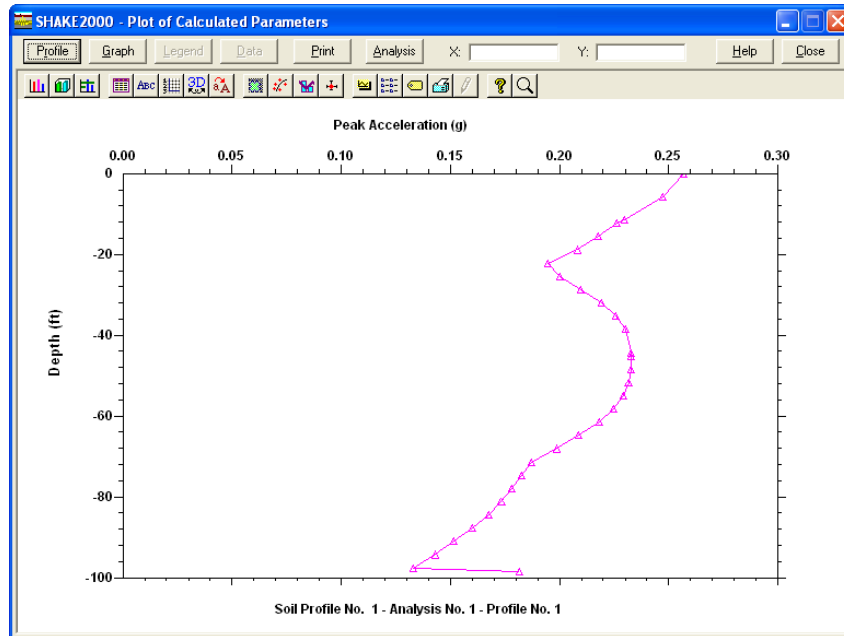
Tabel Input Tanah Plaza Mayestik

Plaza Mayestik			mat = 6.42 m			
Kedalaman	Lapisan	Jenis	Tebal (m)	$\gamma$ (KN/m <sup>3</sup> )	N-SPT	Ko
2.25	1	1	2.25	15.33	7	2.88
3.75	2	1	1.5	15.33	15	2.49
5.25	3	1	1.5	15.33	8	1.54
6.75	4	1	1.5	15.33	6	1.10
8.25	5	1	1.5	15.33	14	1.59
9.75	6	1	1.5	15.33	19	1.82
11.25	7	1	1.5	15.33	14	1.48
12.75	8	1	1.5	15.33	18	1.66
14.25	9	1	1.5	15.33	17	1.54
15.75	10	1	1.5	15.33	17	1.52
16	11	1	0.25	15.33	29	1.93
18.75	12	2	2.75	15.99	55	2.53
19	13	2	0.25	15.99	50	2.35
21.75	14	3	2.75	18	50	2.07
23.25	15	3	1.5	18	50	2.00
24.75	16	3	1.5	18	50	1.95
26.25	17	3	1.5	18	50	1.91
27.75	18	3	1.5	18	55	1.96
29.25	19	3	1.5	18	50	1.83
30	20	3	0.75	18	50	1.81

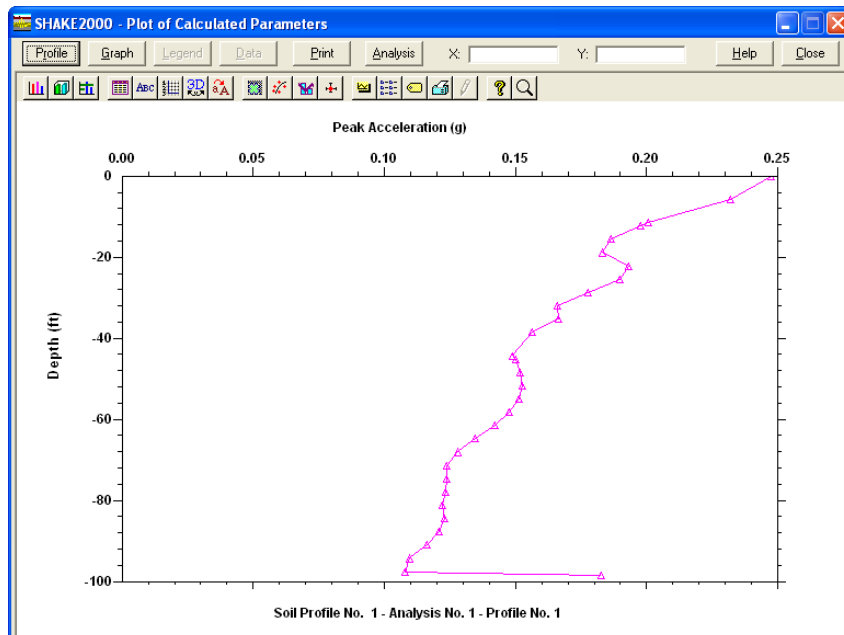
Tabel Input Tanah Kantor Blue Bird

Kantor Blue Bird			mat = 7.83 m			
Kedalaman	Lapisan	Jenis	Tebal (m)	$\gamma$ (KN/m <sup>3</sup> )	N-SPT	Ko
2.5	1	1	2.5	16.27	4	1.88
4.5	2	1	2	16.27	4	1.17
6.5	3	1	2	16.27	4	0.89
8.5	4	1	2	16.27	4	0.83
10.25	5	1	1.75	16.27	3	0.65
11.75	6	1	1.5	16.27	6	0.87
12.5	7	1	0.75	16.27	6	0.87
14.75	8	2	2.25	15.48	6	0.87
16	9	2	1.25	15.48	60	2.68
17.75	10	3	1.75	14.65	60	2.73
19.25	11	3	1.5	14.65	60	2.67
20.75	12	3	1.5	14.65	60	2.61
22.25	13	3	1.5	14.65	60	2.56
23.75	14	3	1.5	14.65	53	2.36
25.25	15	3	1.5	14.65	57	2.39
26	16	3	0.75	14.65	53	2.29
28.25	17	4	2.25	15.24	15	1.15
29.5	18	4	1.25	15.24	23	1.40
30	19	4	0.5	15.24	19	1.24

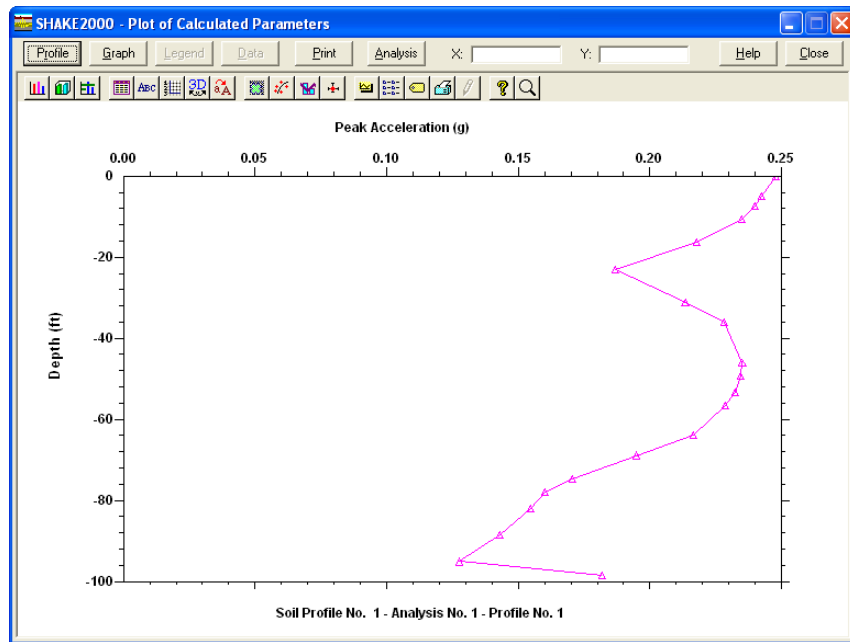
## F. Output Percepatan Gempa Muka Tanah di Setiap Lapisan Tanah



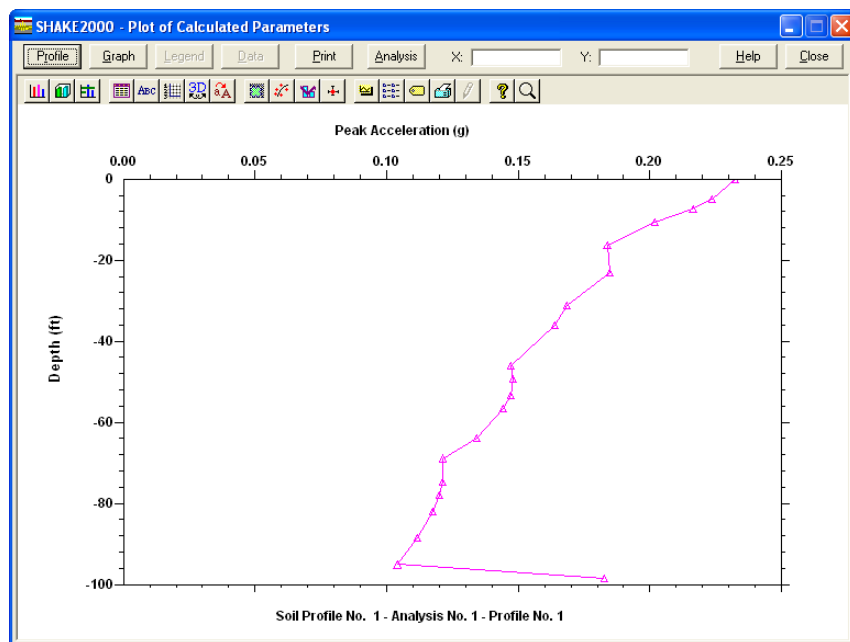
Gambar Percepatan gempa di setiap lapisan tanah untuk sumber gempa  
Megathrust lokasi JORR seksi W1



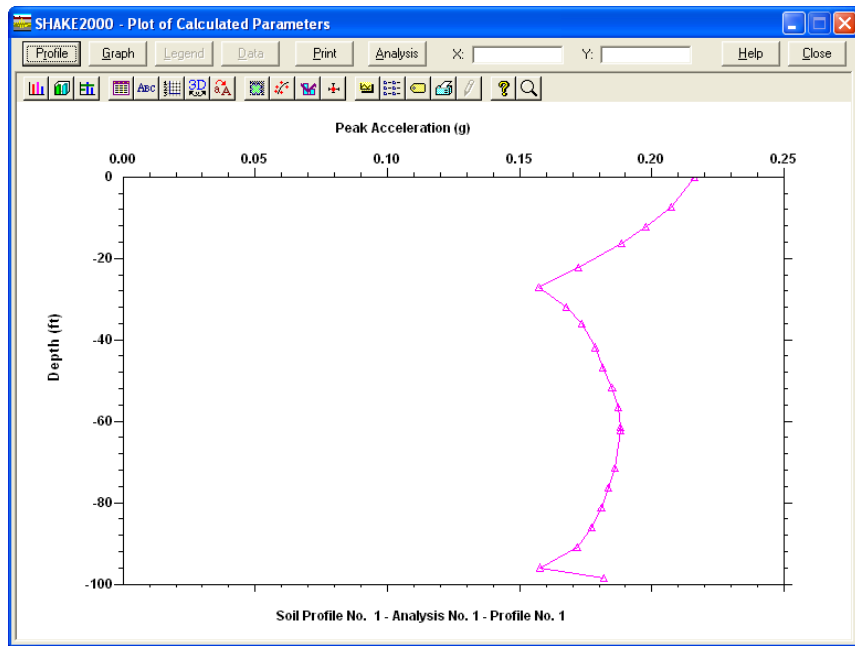
Gambar Percepatan gempa di setiap lapisan tanah untuk sumber gempa Shallow  
Crustal lokasi JORR seksi W1



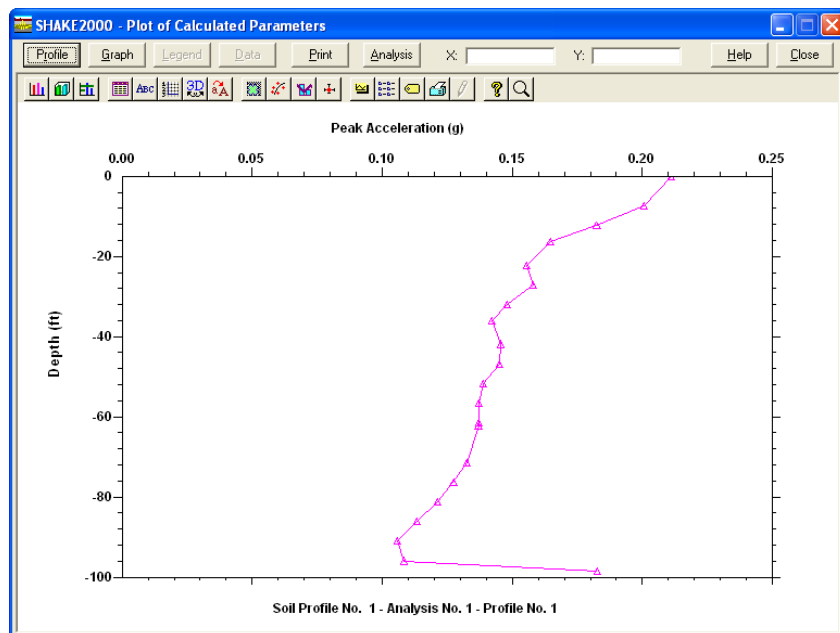
Gambar Percepatan gempa di setiap lapisan tanah untuk sumber gempa  
Megathrust lokasi Sam-Sat Sudin DKI



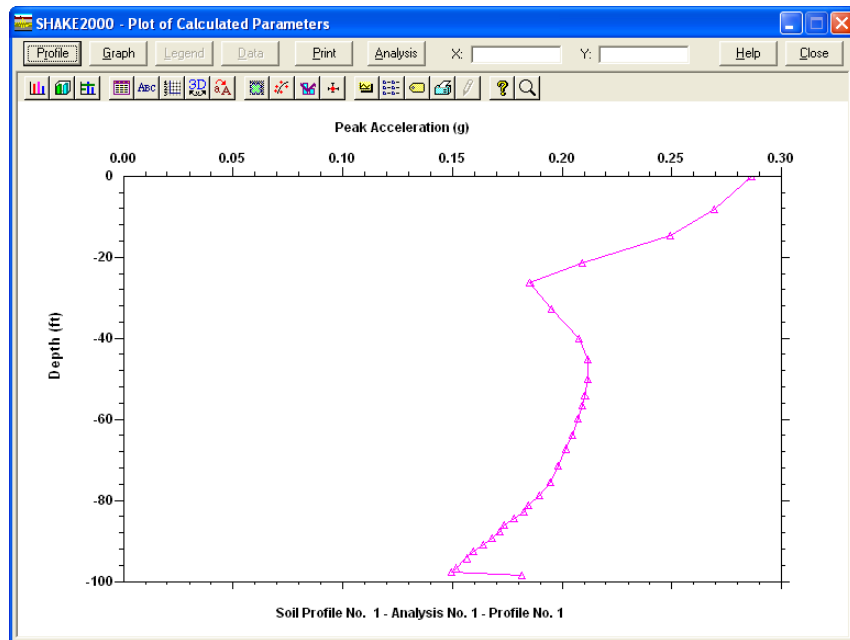
Gambar Percepatan gempa di setiap lapisan tanah untuk sumber gempa Shallow  
Crustal lokasi Sam-Sat Sudin DKI



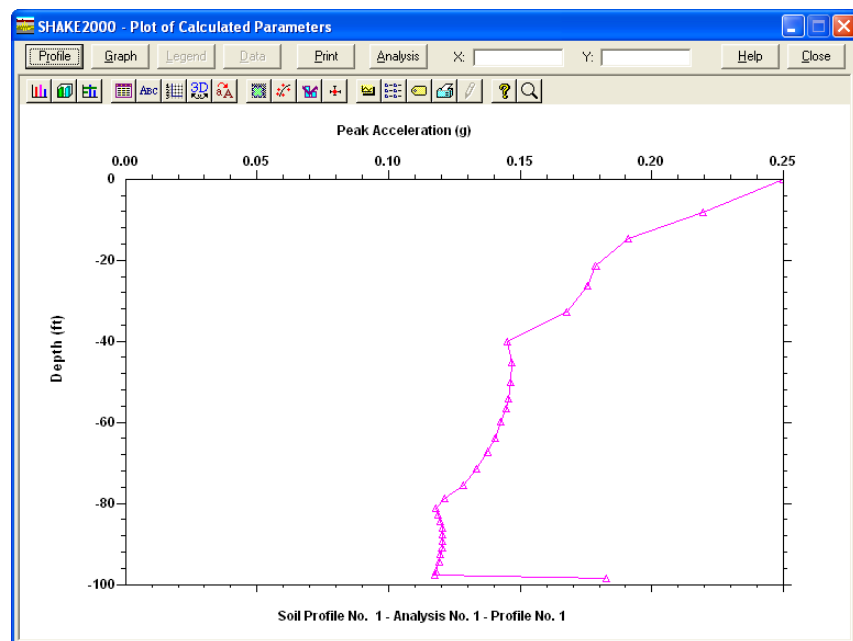
Gambar Percepatan gempa di setiap lapisan tanah untuk sumber gempa  
Megathrust lokasi Metro TV Tower



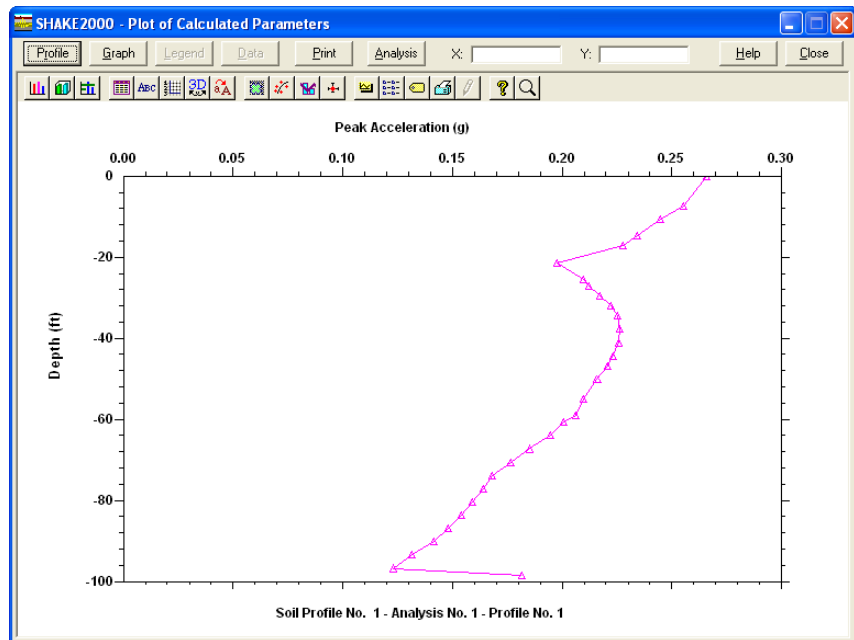
Gambar Percepatan gempa di setiap lapisan tanah untuk sumber gempa Shallow  
Crustal lokasi Metro TV Tower



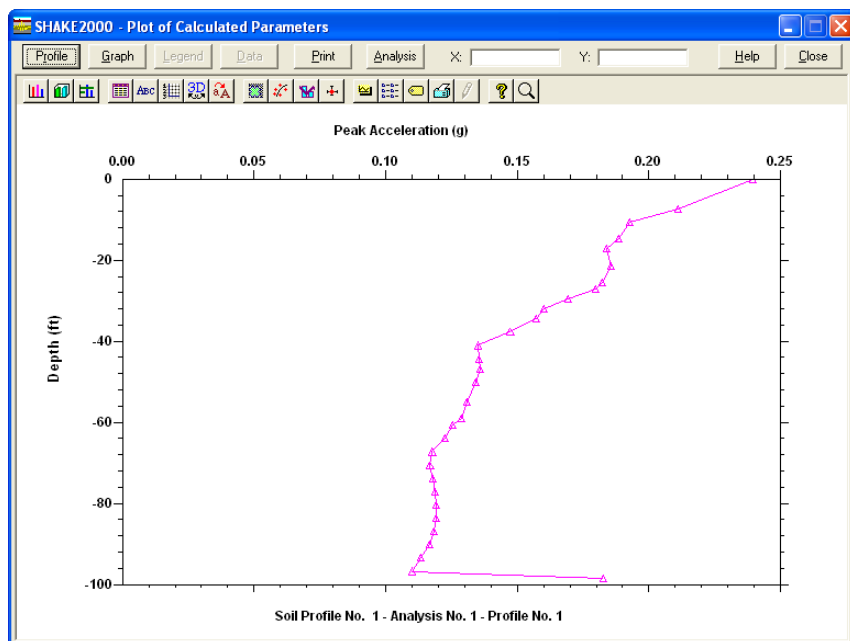
Gambar Percepatan gempa di setiap lapisan tanah untuk sumber gempa  
Megathrust lokasi Apartemen Kuningan



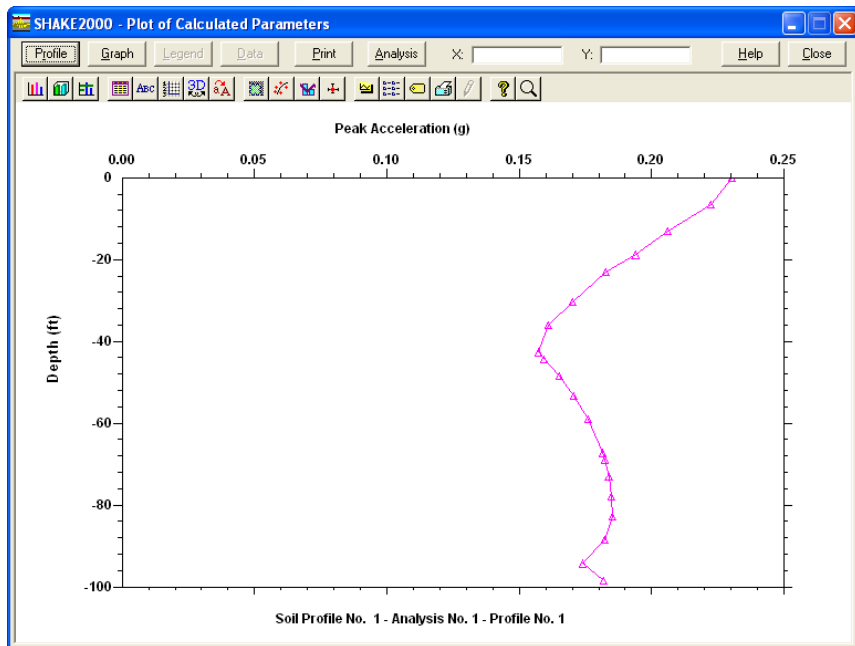
Gambar Percepatan gempa di setiap lapisan tanah untuk sumber gempa Shallow  
Crustal lokasi Apartemen Kuningan



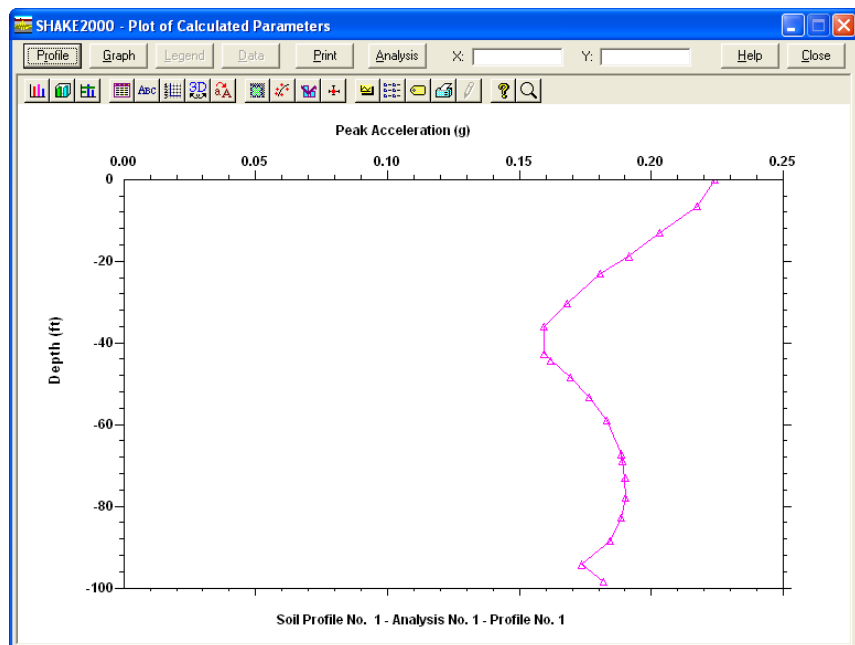
Gambar Percepatan gempa di setiap lapisan tanah untuk sumber gempa  
Megathrust lokasi Hotel Clarion



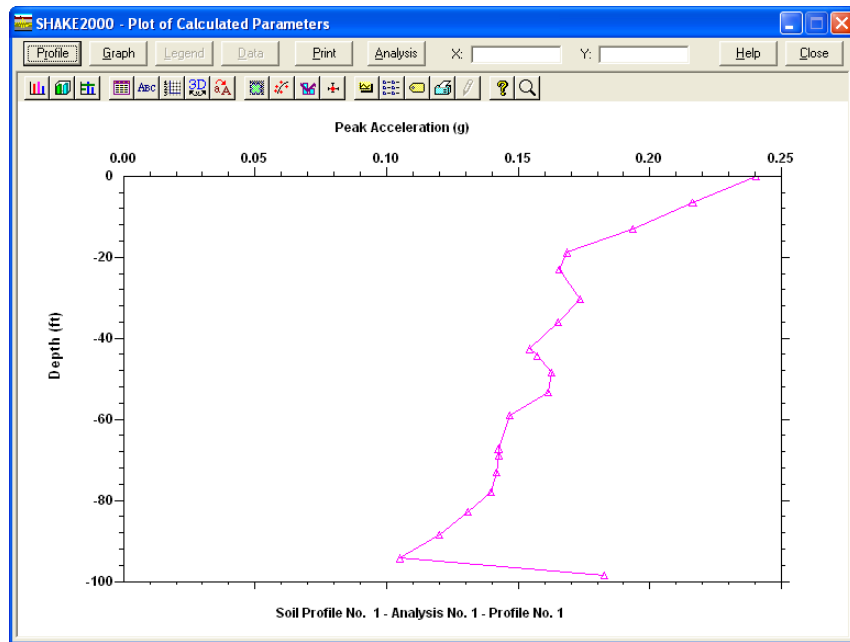
Gambar Percepatan gempa di setiap lapisan tanah untuk sumber gempa Shallow  
Crustal lokasi Hotel Clarion



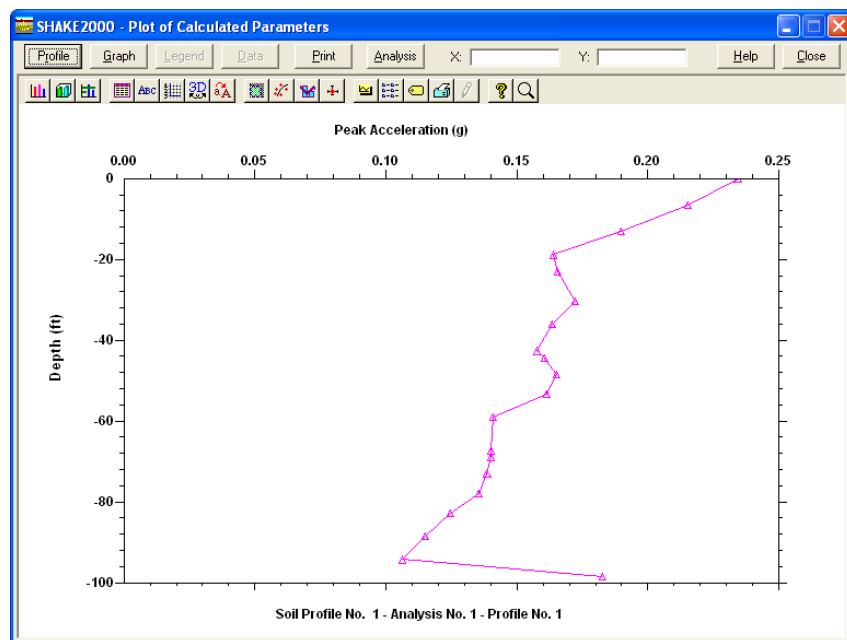
Gambar Percepatan gempa di setiap lapisan tanah untuk sumber gempa  
Megathrust input tanah 1, lokasi Bapindo



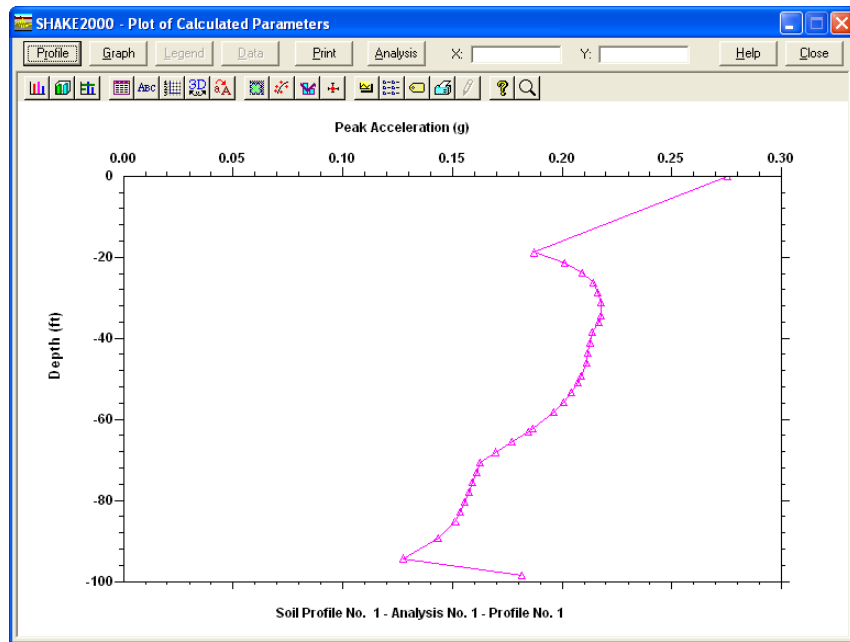
Gambar Percepatan gempa di setiap lapisan tanah untuk sumber gempa  
Megathrust input tanah 2, lokasi Bapindo



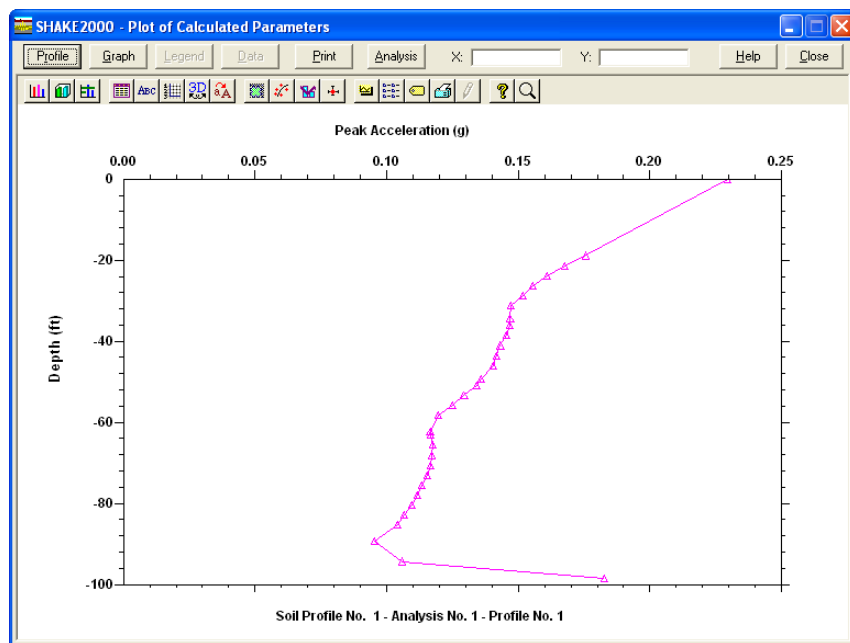
Gambar Percepatan gempa di setiap lapisan tanah untuk sumber gempa Shallow Crustal input tanah 1, lokasi Bapindo



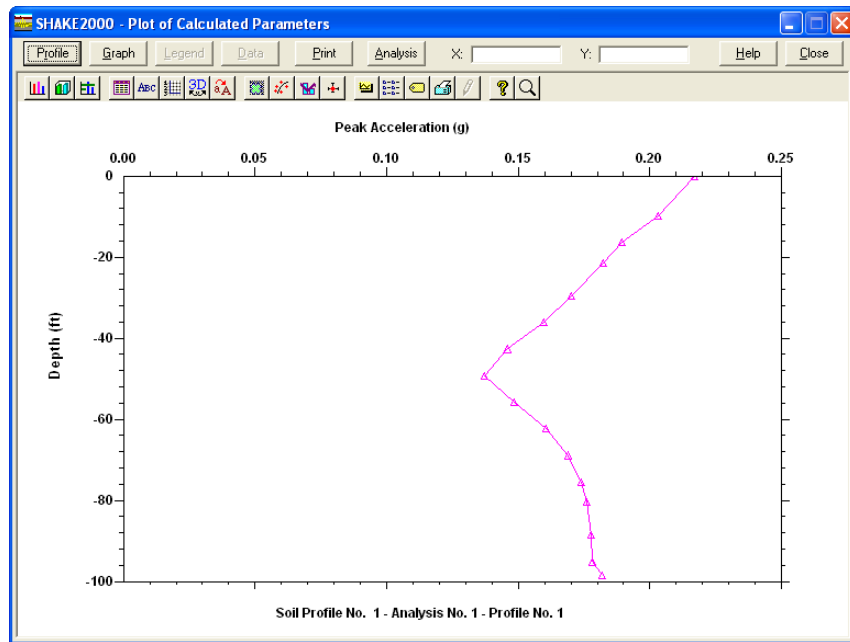
Gambar Percepatan gempa di setiap lapisan tanah untuk sumber gempa Shallow Crustal input tanah 2, lokasi Bapindo



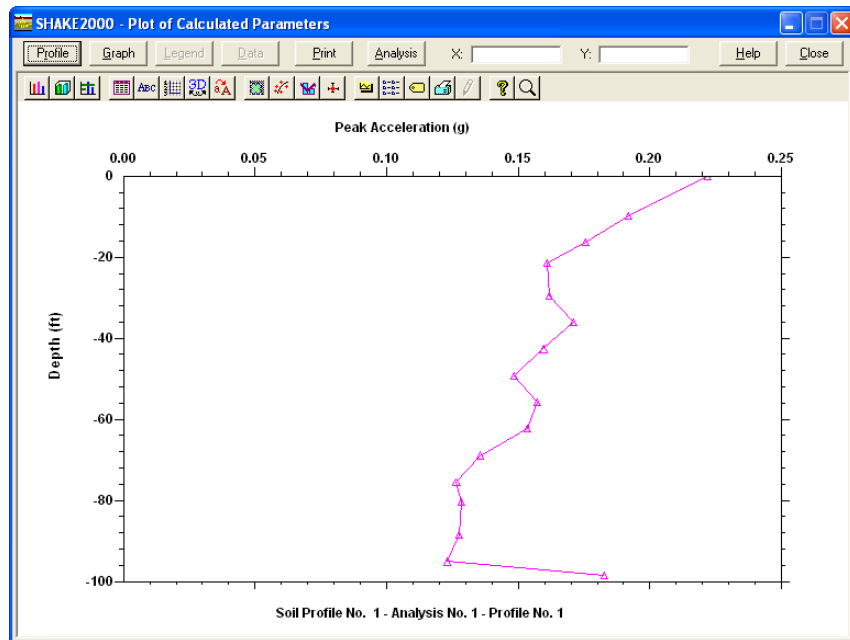
Gambar Percepatan gempa di setiap lapisan tanah untuk sumber gempa  
Megathrust lokasi Puri Matari III



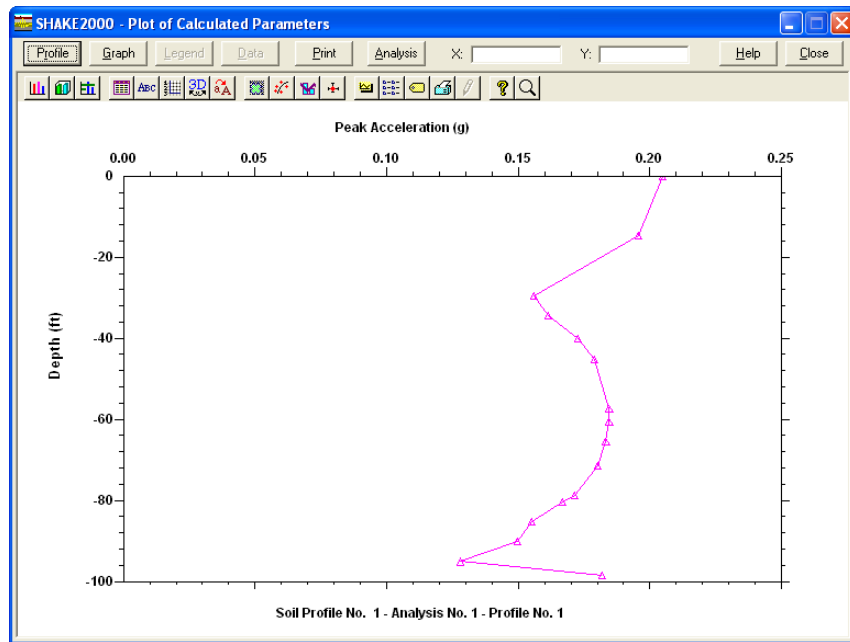
Gambar Percepatan gempa di setiap lapisan tanah untuk sumber gempa Shallow  
Crustal lokasi Puri Matari III



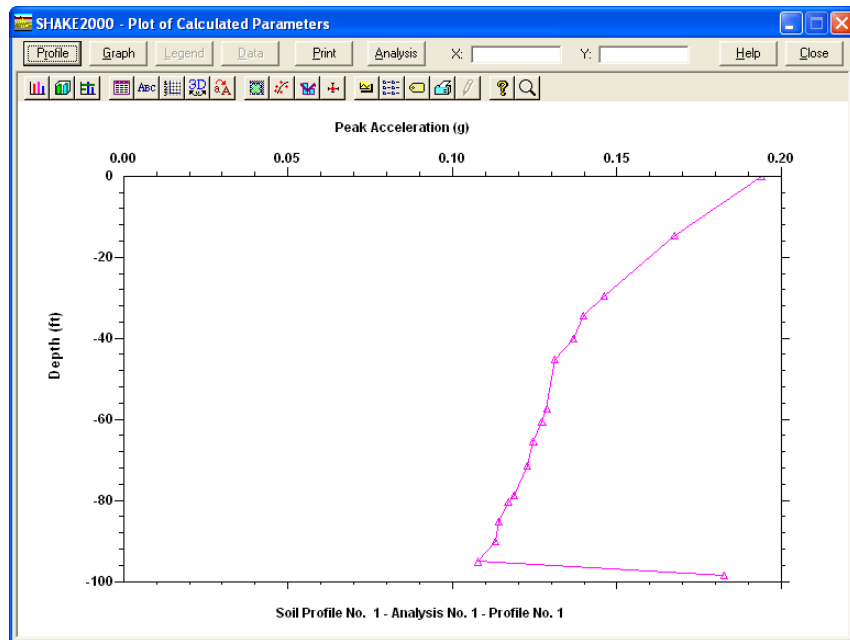
Gambar Percepatan gempa di setiap lapisan tanah untuk sumber gempa  
Megathrust lokasi Kemang Village



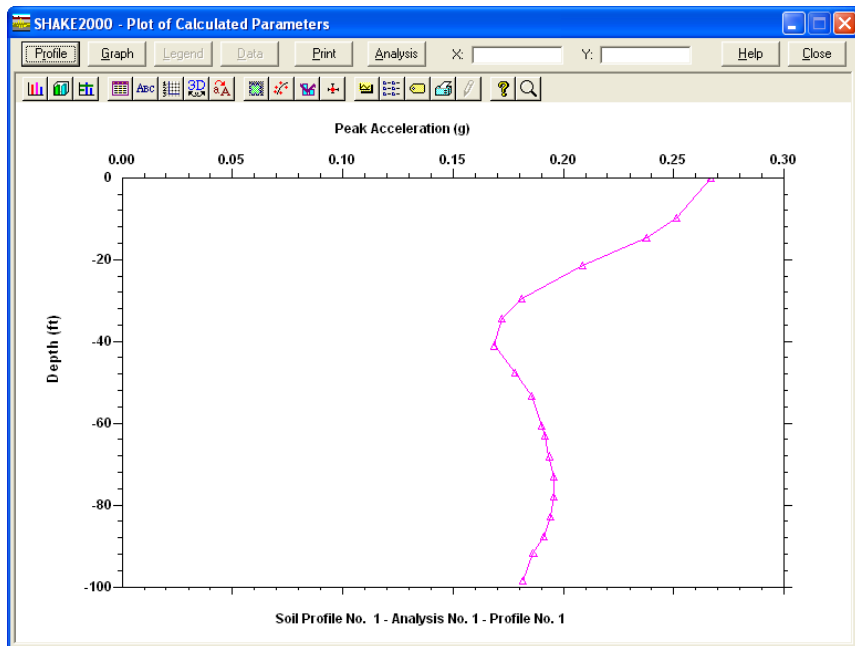
Gambar Percepatan gempa di setiap lapisan tanah untuk sumber gempa Shallow  
Crustal lokasi Kemang Village



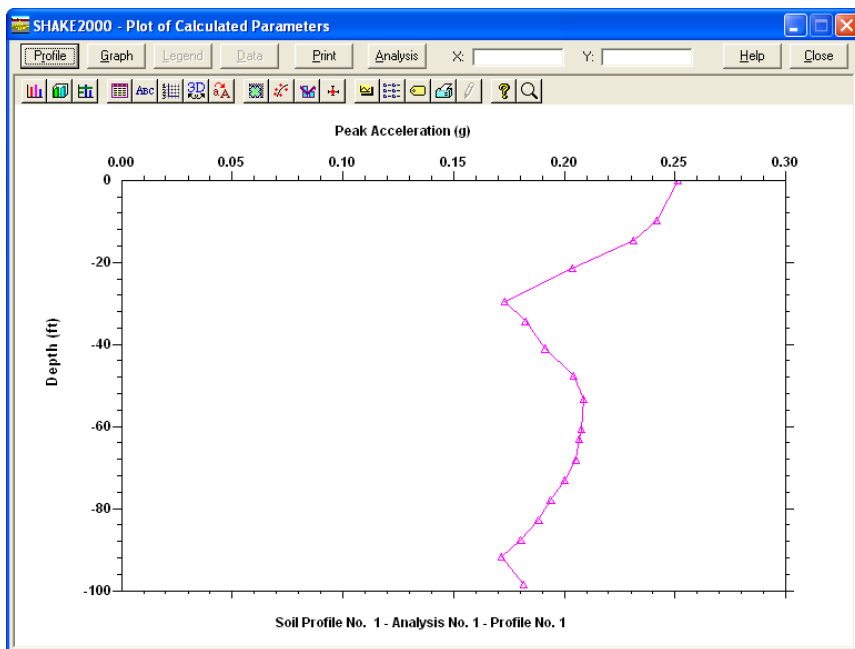
Gambar Percepatan gempa di setiap lapisan tanah untuk sumber gempa  
Megathrust lokasi Bank Exim



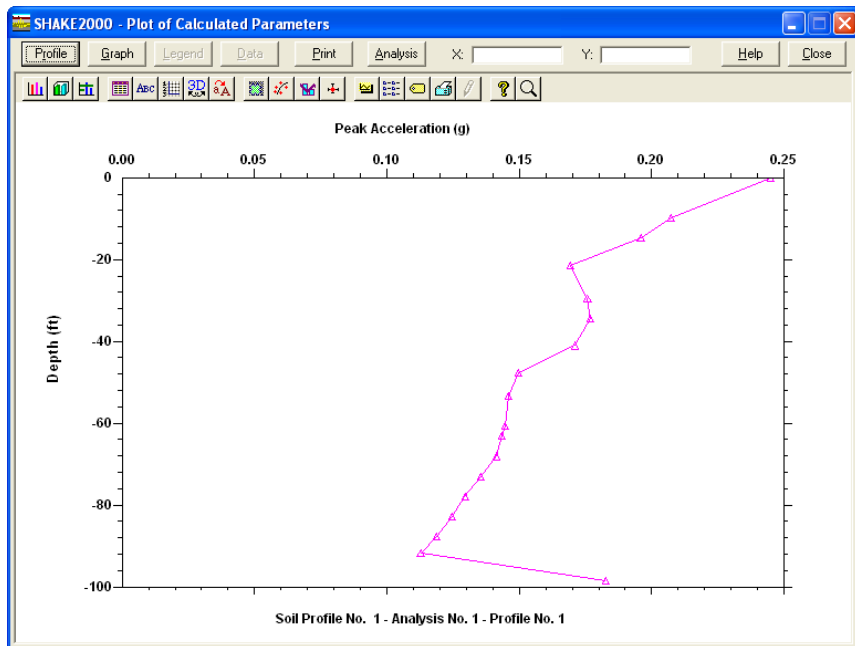
Gambar Percepatan gempa di setiap lapisan tanah untuk sumber gempa Shallow  
Crustal lokasi Bank Exim



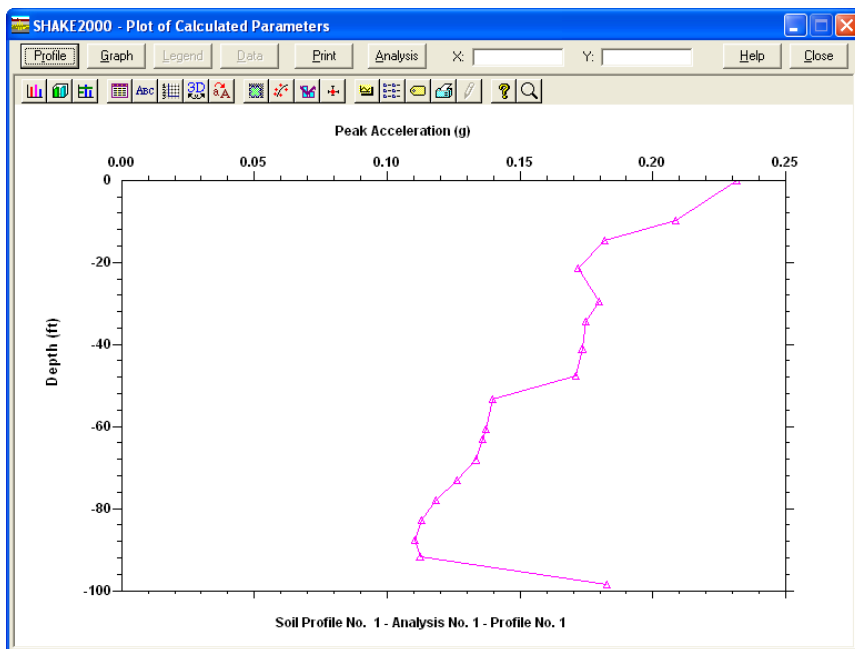
Gambar Percepatan gempa di setiap lapisan tanah untuk sumber gempa  
Megathrust input tanah 1, lokasi Menara Wikaraga



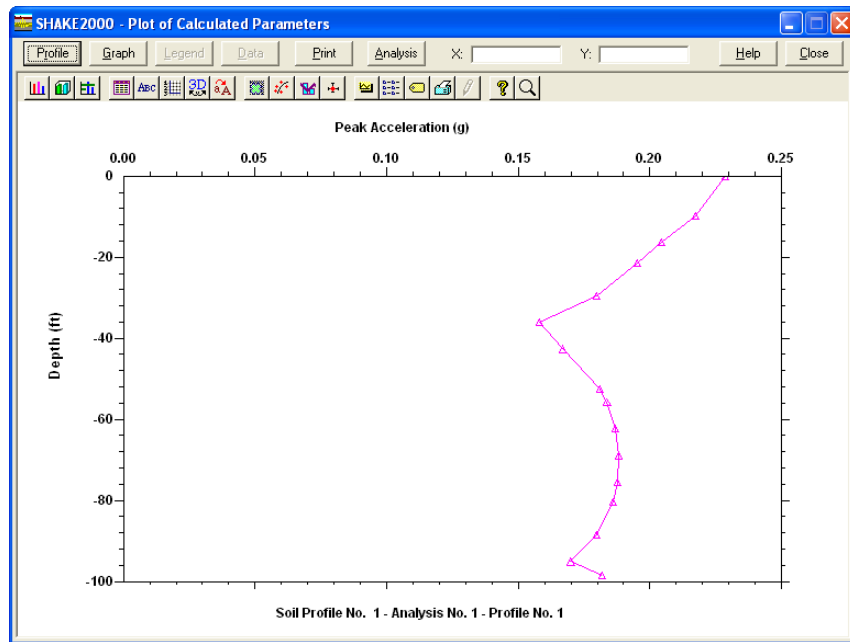
Gambar Percepatan gempa di setiap lapisan tanah untuk sumber gempa  
Megathrust input tanah 2, lokasi Menara Wikaraga



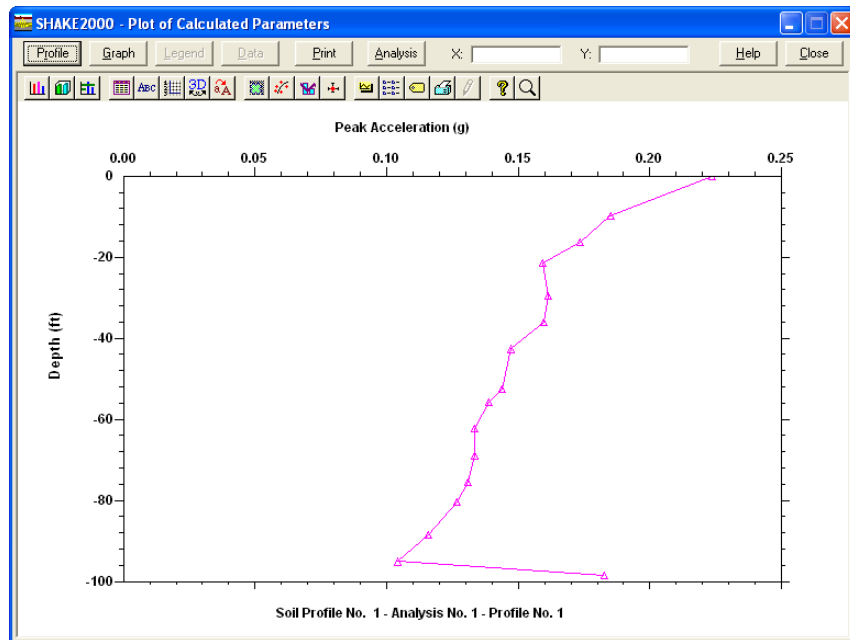
Gambar Percepatan gempa di setiap lapisan tanah untuk sumber gempa Shallow Crustal input tanah 1, lokasi Menara Wikaraga



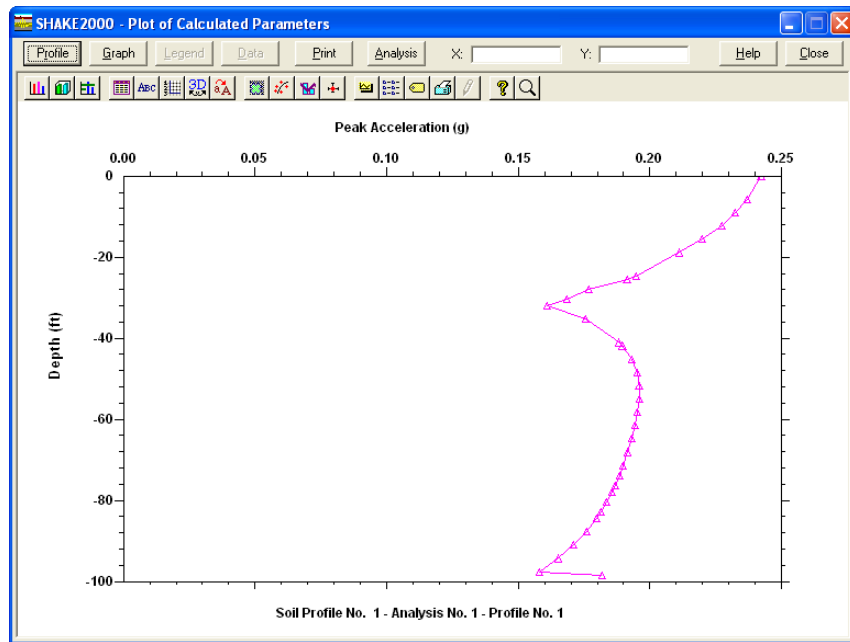
Gambar Percepatan gempa di setiap lapisan tanah untuk sumber gempa Shallow Crustal input tanah 2, lokasi Menara Wikaraga



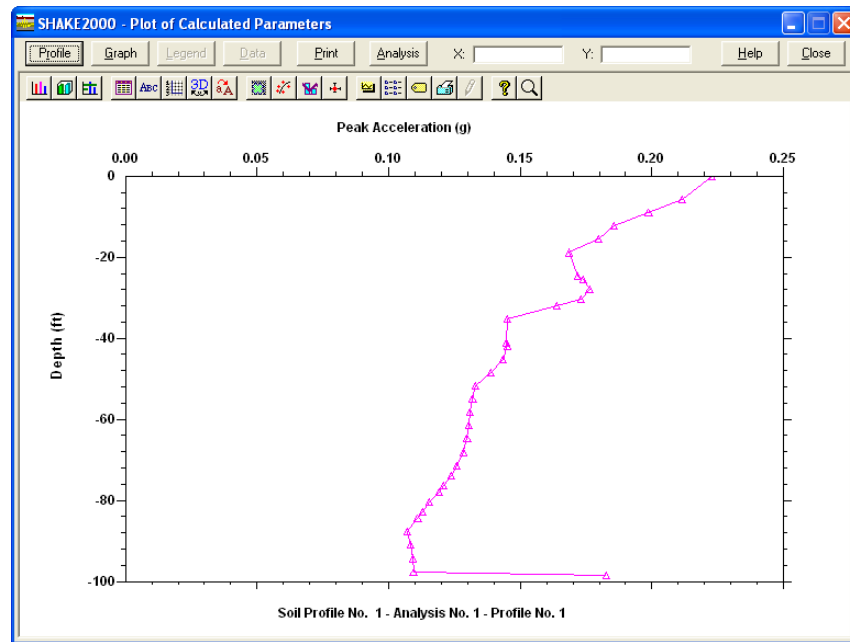
Gambar Percepatan gempa di setiap lapisan tanah untuk sumber gempa  
Megathrust lokasi Departemen Pertanian



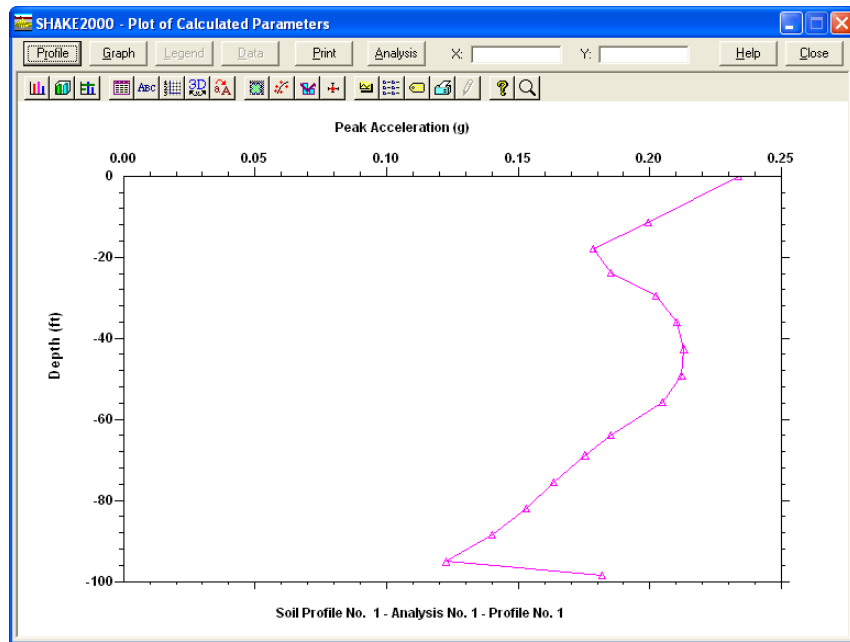
Gambar Percepatan gempa di setiap lapisan tanah untuk sumber gempa Shallow  
Crustal lokasi Departemen Pertanian



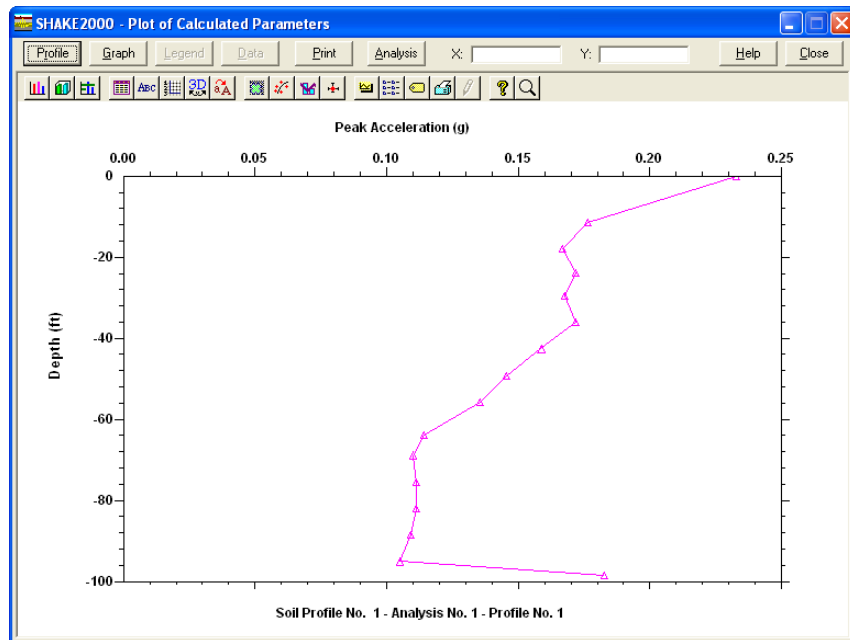
Gambar Percepatan gempa di setiap lapisan tanah untuk sumber gempa  
Megathrust lokasi Asrama UI



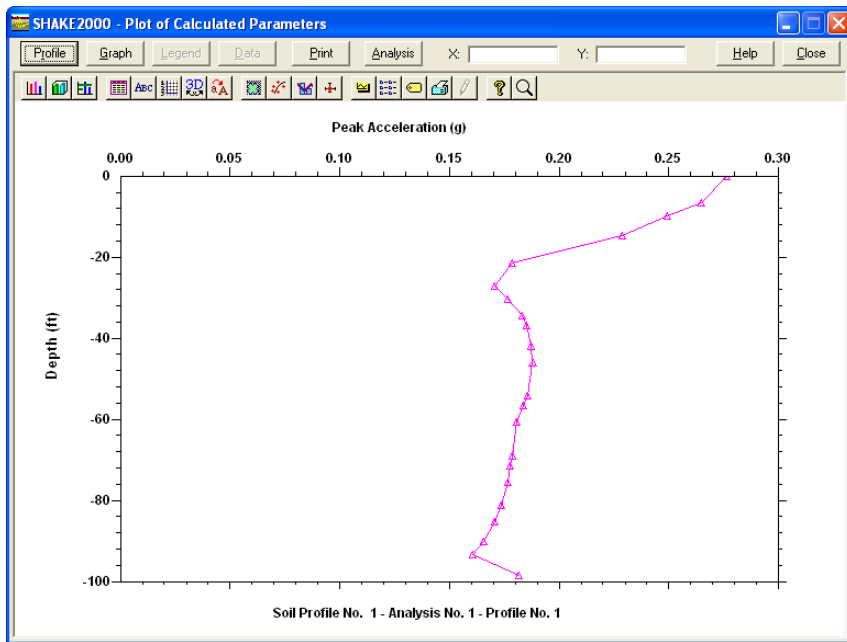
Gambar Percepatan gempa di setiap lapisan tanah untuk sumber gempa Shallow  
Crustal lokasi Asrama UI



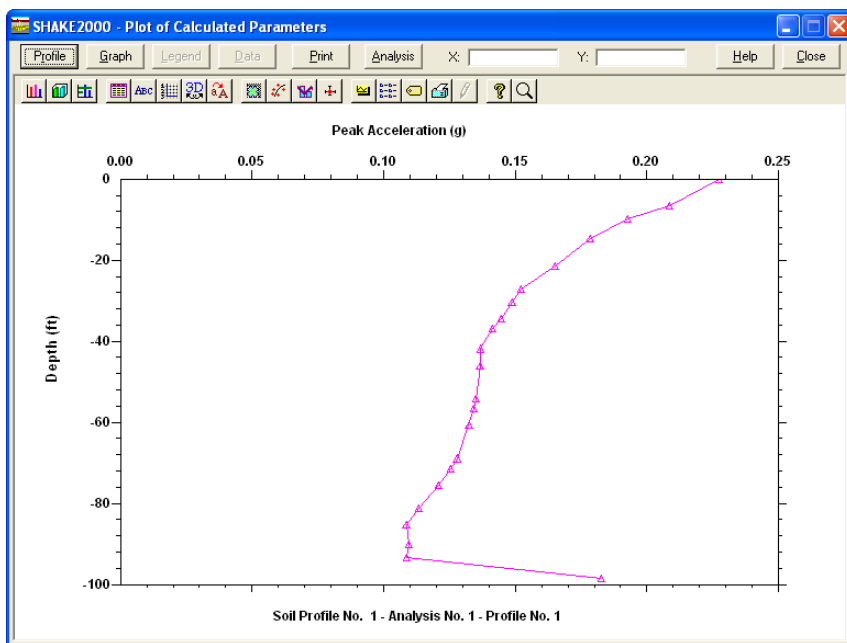
Gambar Percepatan gempa di setiap lapisan tanah untuk sumber gempa  
Megathrust lokasi Graha Matra



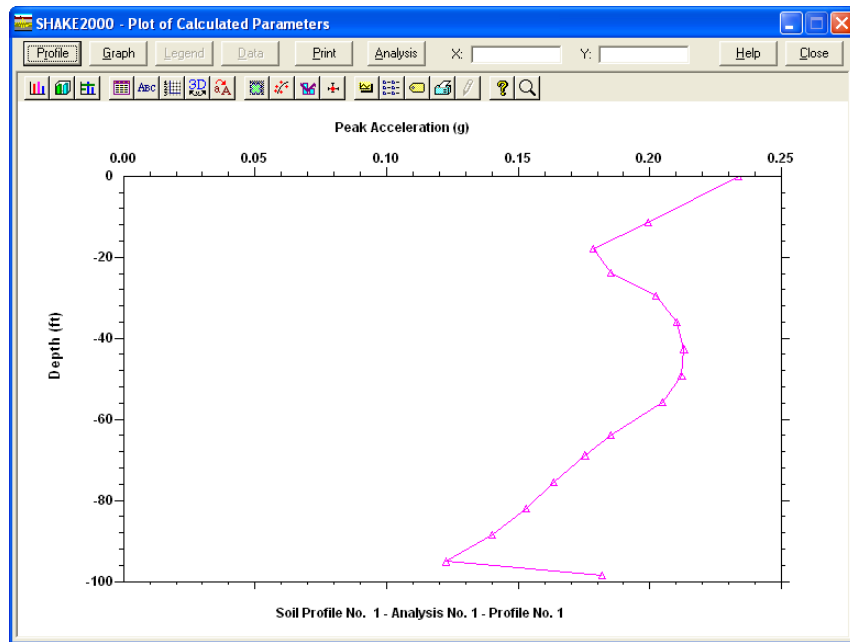
Gambar Percepatan gempa di setiap lapisan tanah untuk sumber gempa Shallow  
Crustal lokasi Graha Matra



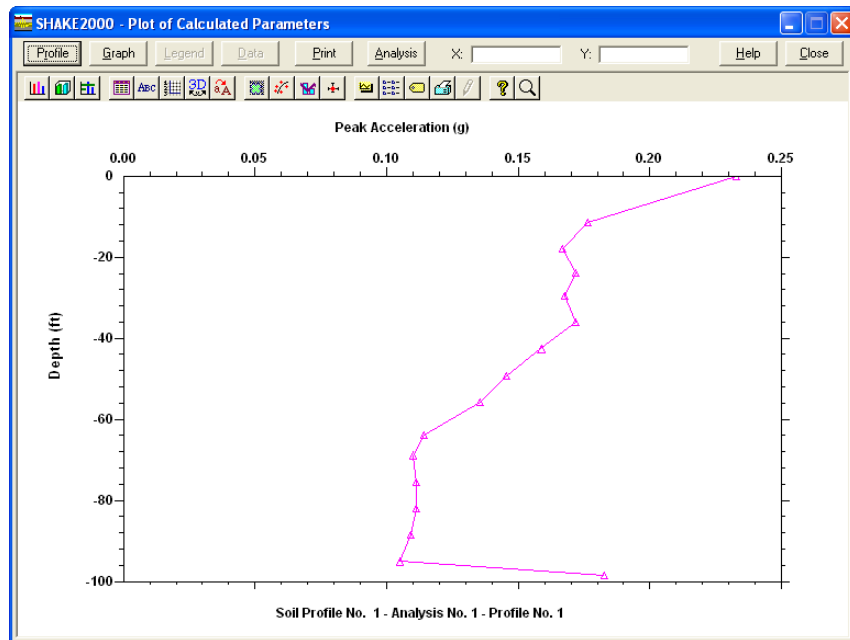
Gambar Percepatan gempa di setiap lapisan tanah untuk sumber gempa  
Megathrust lokasi Robert Susanto Office



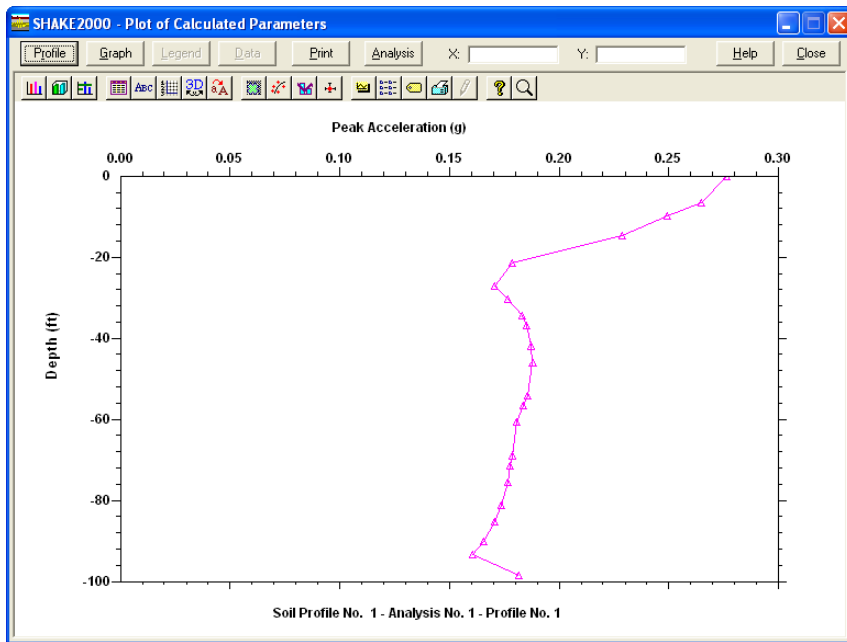
## Gambar Percepatan gempa di setiap lapisan tanah untuk sumber gempa Shallow Crustal lokasi Robert Susanto Office



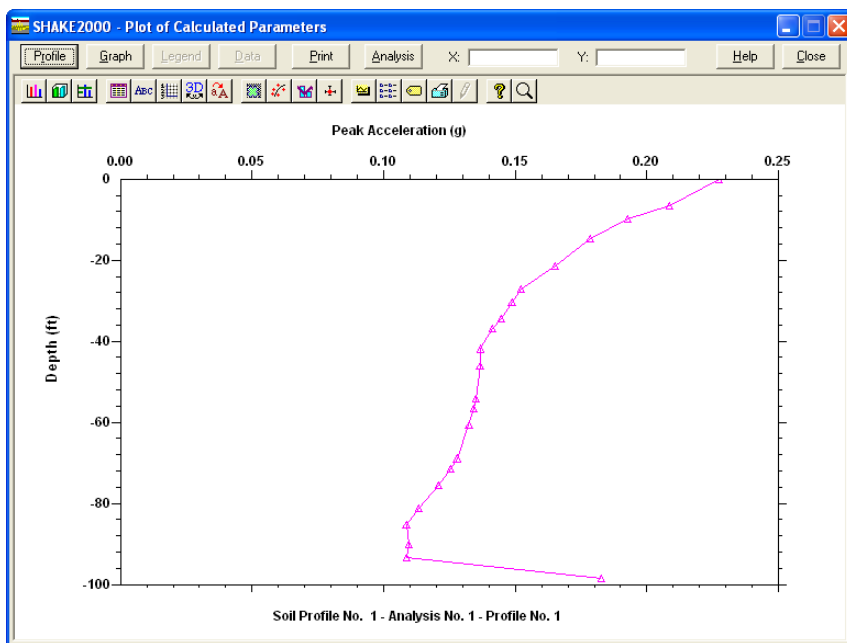
Gambar Percepatan gempa di setiap lapisan tanah untuk sumber gempa  
Megathrust lokasi Graha Matra



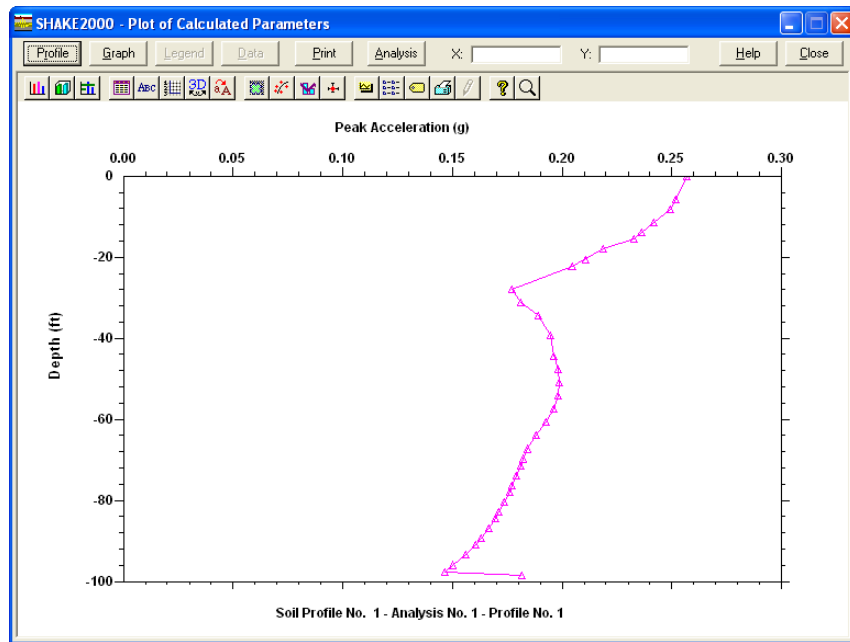
Gambar Percepatan gempa di setiap lapisan tanah untuk sumber gempa Shallow  
Crustal lokasi Graha Matra



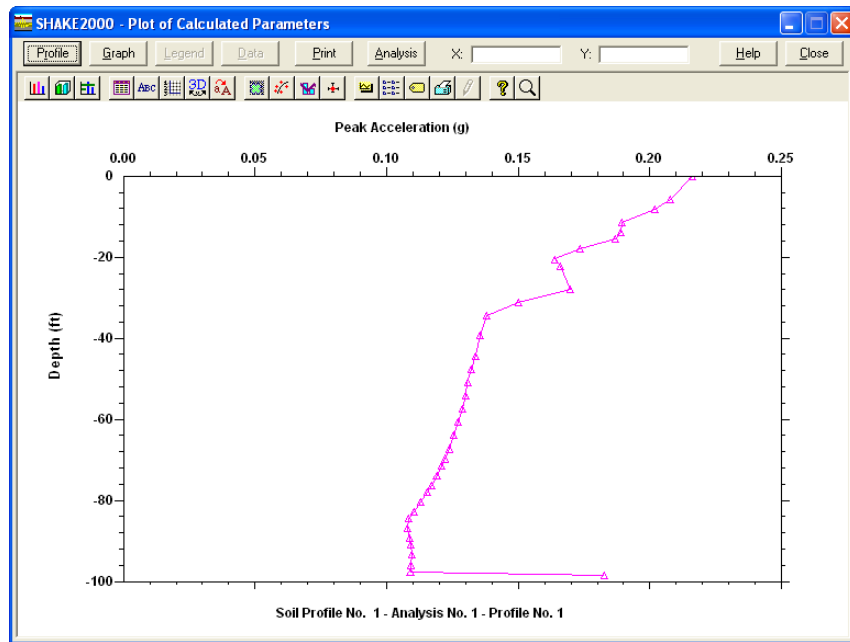
Gambar Percepatan gempa di setiap lapisan tanah untuk sumber gempa  
Megathrust lokasi Robert Susanto Office



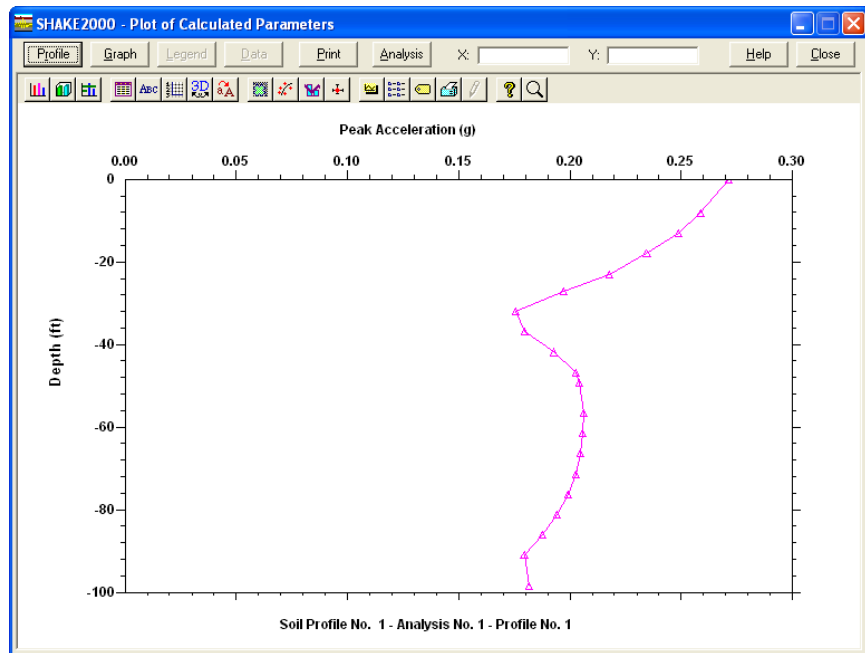
Gambar Percepatan gempa di setiap lapisan tanah untuk sumber gempa Shallow Crustal lokasi Robert Susanto Office



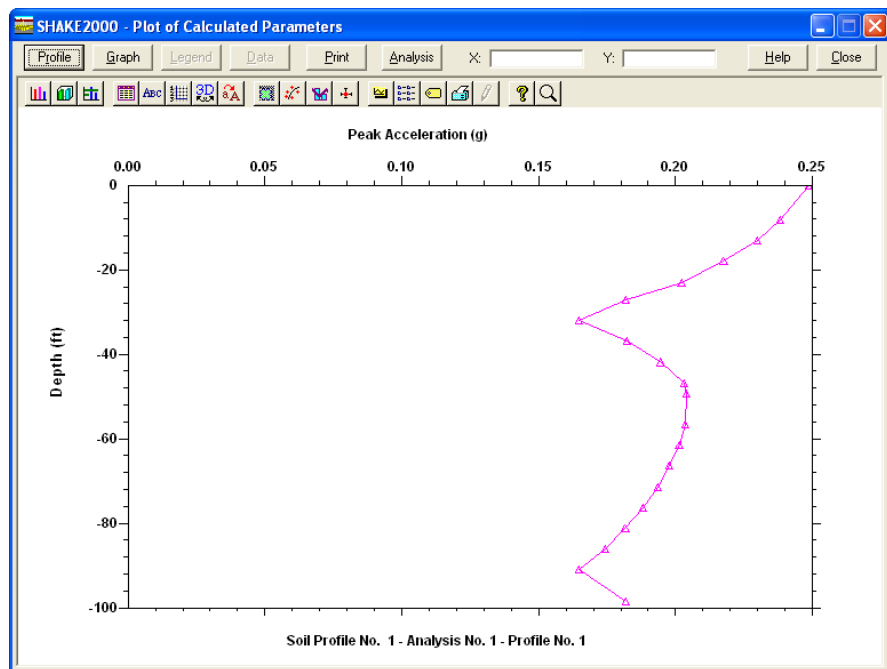
Gambar Percepatan gempa di setiap lapisan tanah untuk sumber gempa  
Megathrust lokasi Gedung DIKTI



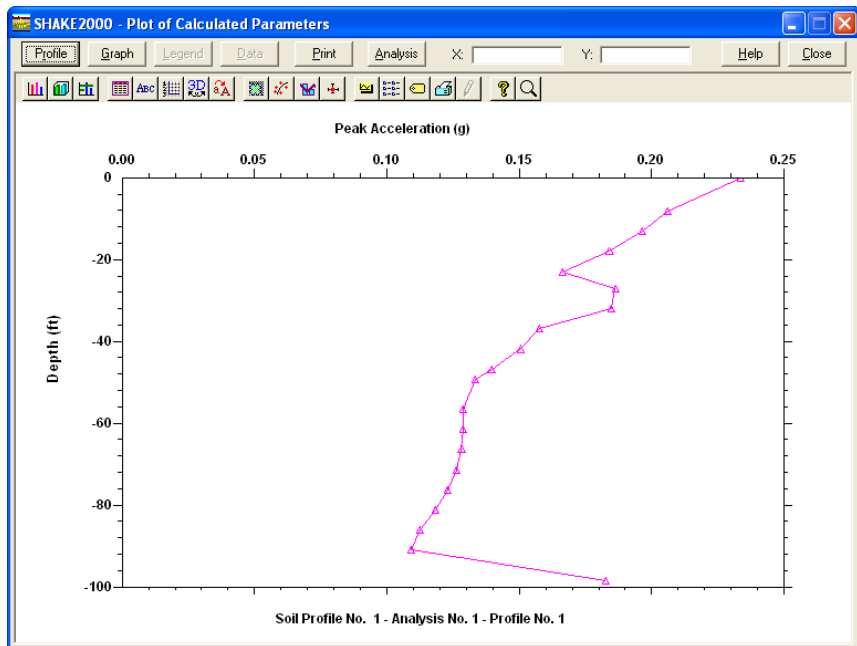
Gambar Percepatan gempa di setiap lapisan tanah untuk sumber gempa Shallow  
Crustal lokasi Gedung DIKTI



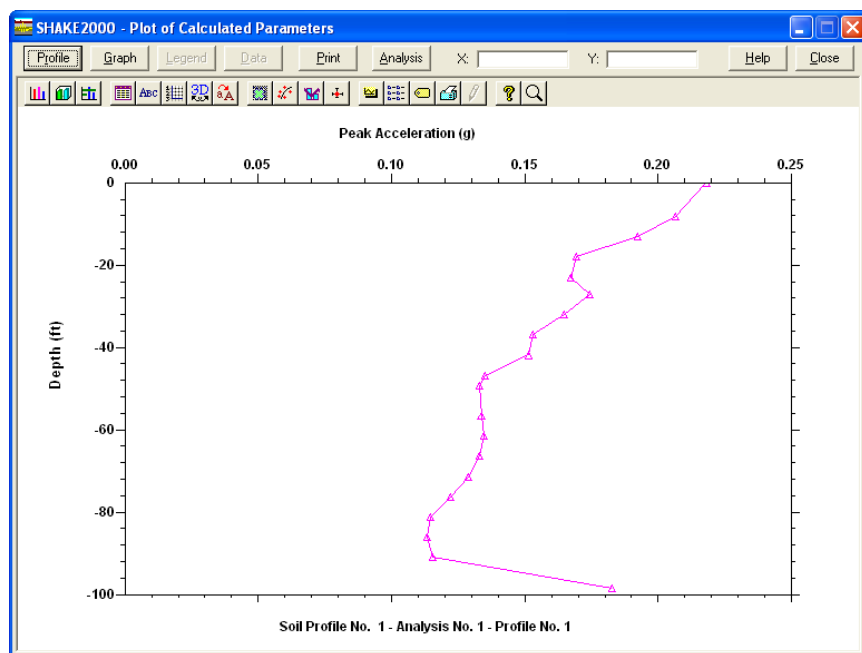
Gambar Percepatan gempa di setiap lapisan tanah untuk sumber gempa  
Megathrust lokasi Ratu Prabu 3 (1)



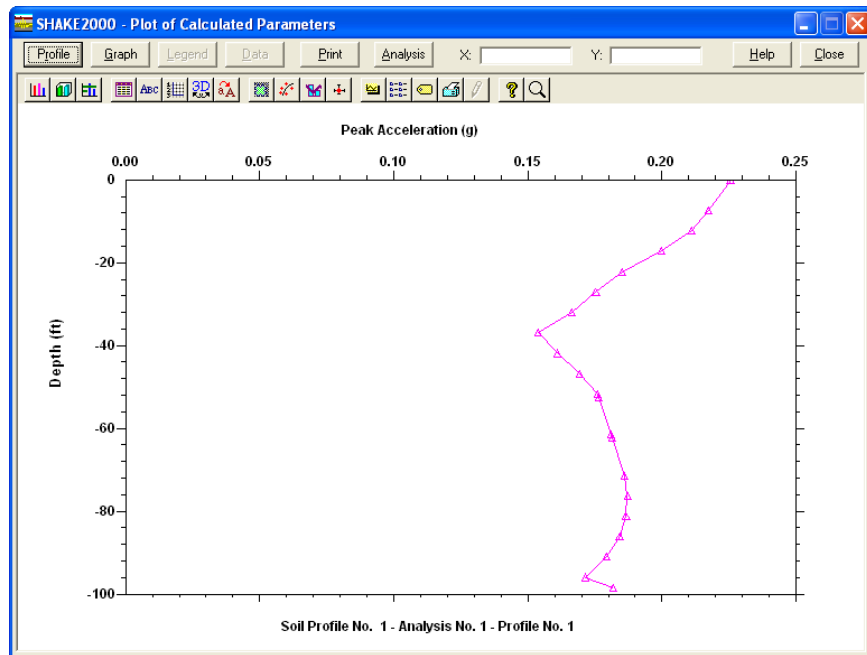
Gambar Percepatan gempa di setiap lapisan tanah untuk sumber gempa  
Megathrust lokasi Ratu Prabu 3 (2)



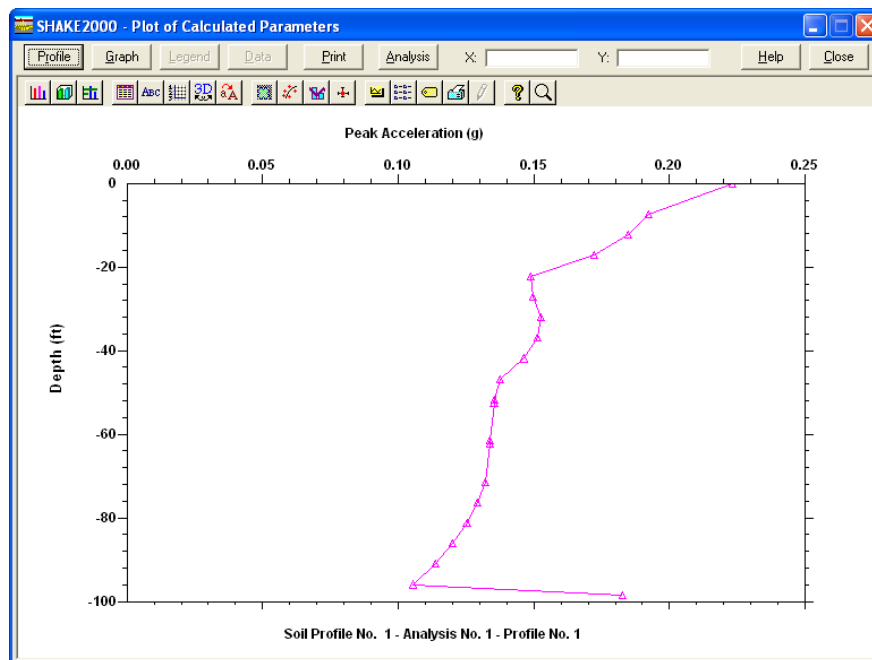
Gambar Percepatan gempa di setiap lapisan tanah untuk sumber gempa Shallow Crustal lokasi Ratu Prabu 3 (1)



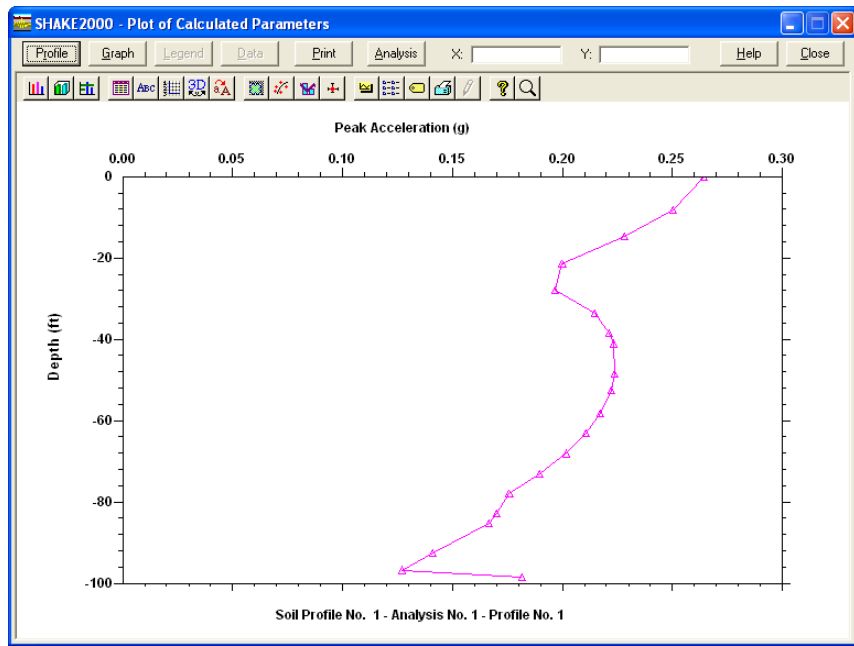
Gambar Percepatan gempa di setiap lapisan tanah untuk sumber gempa Shallow Crustal lokasi Ratu Prabu 3 (2)



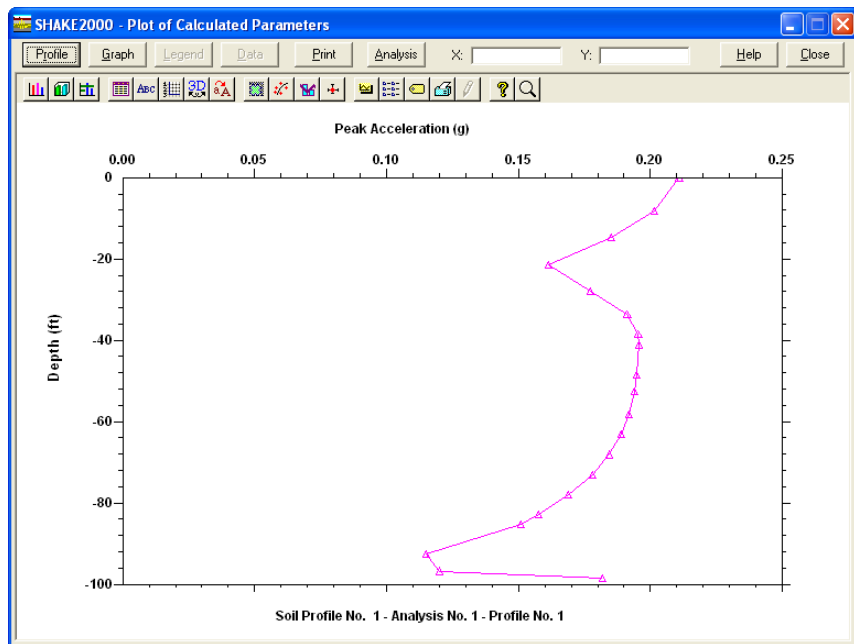
Gambar Percepatan gempa di setiap lapisan tanah untuk sumber gempa  
Megathrust lokasi Plaza Mayestik



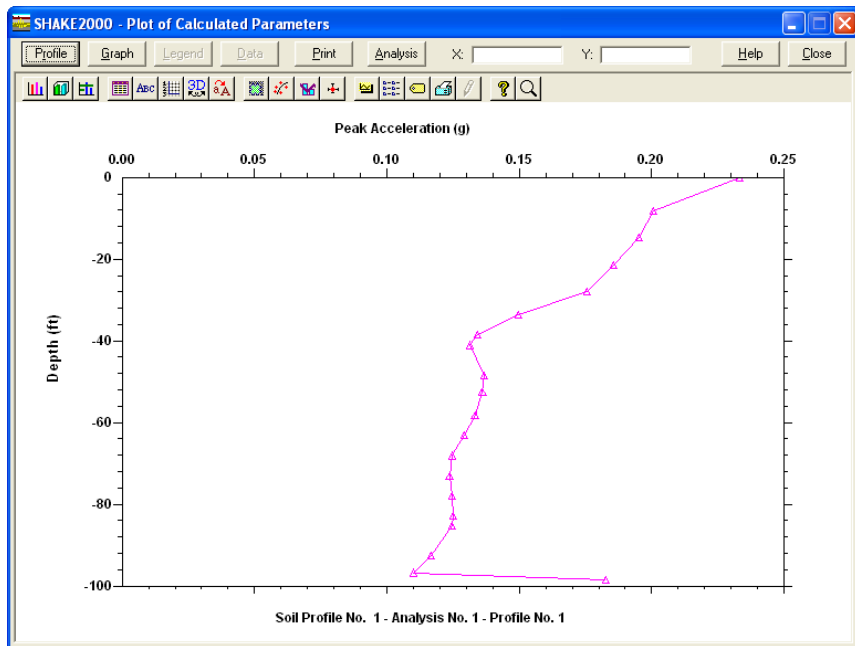
Gambar Percepatan gempa di setiap lapisan tanah untuk sumber gempa Shallow  
Crustal lokasi Plaza Mayestik



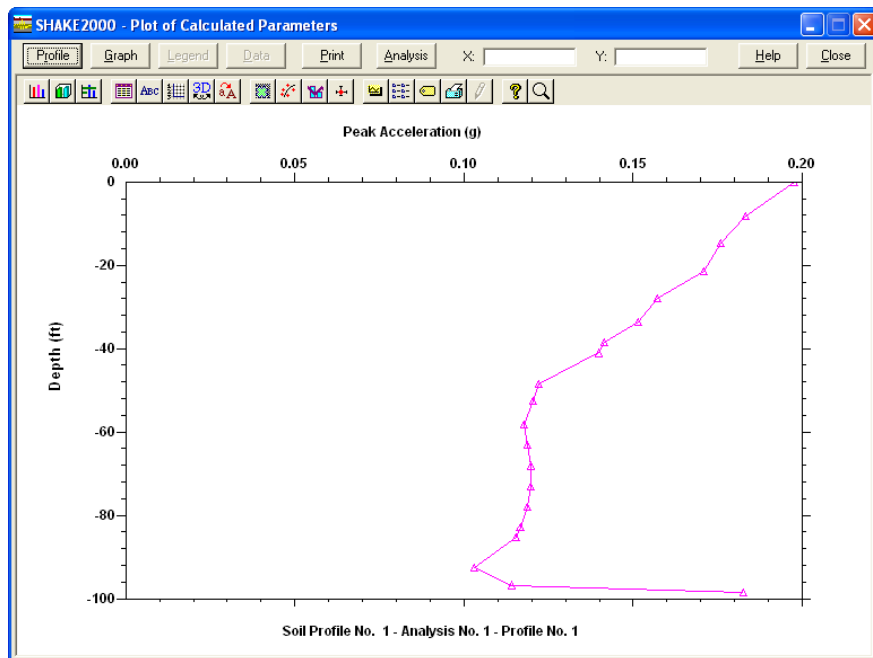
Gambar Percepatan gempa di setiap lapisan tanah untuk sumber gempa  
Megathrust lokasi Kantor Blue Bird (1)



Gambar Percepatan gempa di setiap lapisan tanah untuk sumber gempa  
Megathrust lokasi Kantor Blue Bird (2)



Gambar Percepatan gempa di setiap lapisan tanah untuk sumber gempa Shallow Crustal lokasi Kantor Blue Bird (1)



Gambar Percepatan gempa di setiap lapisan tanah untuk sumber gempa Shallow Crustal lokasi Kantor Blue Bird (2)